



Centro de Investigación de los Reglamentos Nacionales
de Seguridad para las Obras Civiles del Sistema INTI

BIBLIOTECA DE APOYO

UNIVERSIDAD NACIONAL
DE ROSARIO
FACULTAD DE CIENCIAS EXACTAS,
INGENIERIA Y AGRIMENSURA

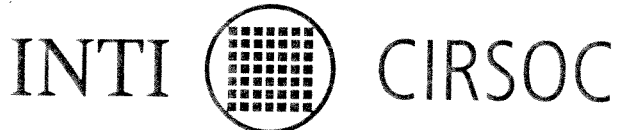
PANDEO EN EL CAMPO
REAL DE BARRAS
DE ACERO

NUEVAS NORMAS DE LA CONSTRUCCION
METALICA SEGUN DIN 18.800, AISC
Y LA CONVENCION EUROPEA

Ing. Omar Miño

Febrero 1992

CIRSOC



Av. Cabildo 65 Subsuelo - Ala Savio
(C1426AAA) Ciudad Autónoma de Buenos Aires
República Argentina

Tel./Fax: (54 11) 4779-5271/5273
Web: www.inti.gob.ar/cirsoc
E-mail: cirsoc@ffmm.gov.ar
cirsoc@inti.gob.ar

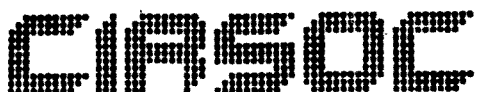
Primer Director Técnico († 1980): Ing. Luis María Machado

Directora Técnica: Inga. Marta S. Parmigiani
Subdirector Técnico: Ing. Gustavo E. Darín

© 1993

Editado por INTI
INSTITUTO NACIONAL DE TECNOLOGIA INDUSTRIAL
Av. Leandro N. Alem 1067 - 7º piso Buenos Aires

Queda hecho el depósito que fija la ley 11.723. Todos los derechos, reservados. Prohibida la reproducción parcial o total sin autorización escrita del editor. Impreso en la Argentina.
Printed in Argentina.



ORGANISMOS PROMOTORES

Secretaría de Obras Públicas y Comunicaciones

Instituto Nacional de Tecnología Industrial

Secretaría de Estado de Desarrollo Urbano y Vivienda

Municipalidad de la Ciudad de Buenos Aires

Comisión Nacional de Energía Atómica

MIEMBROS ADHERENTES

Consejo Interprovincial de Ministros de Obras Públicas

Empresa del Estado Agua y Energía Eléctrica

AUTOR :

ING. OMAR MINO

- Profesor titular de Construcciones Metálicas I de la Facultad de Ciencias Exactas, Ingeniería y Agrimensura de la Universidad Nacional de Rosario.
- Profesor titular de Construcciones Metálicas y de Madera de la Facultad Regional Venado Tuerto de la Universidad Tecnológica Nacional (U.T.N.).
- Ex-Profesor Asociado de Construcciones Metálicas y de Madera de la Facultad de Ingeniería de la Universidad Nacional de Buenos Aires (U.B.A.).

PROLOGO :

La publicación del presente trabajo realizado por el Ing. Omar Miño tiene por objeto contribuir al conocimiento de los criterios y conceptos actuales relacionados con la inestabilidad del equilibrio de barras de acero según las normas de construcción metálica más modernas.

Se tratan en profundidad los conceptos básicos elaborados por la Convención Europea de la Construcción Metálica (CECM) incluidos en el EUROCODE 3 y en la Norma DIN 18800 y se presentan también los fundamentos del tema según la Norma del American Institute of Steel Construction (AISC) "Load and Resistance Factor Design". Se incluyen comparaciones de los resultados entre las normas analizadas y ejemplos de cálculo aclaratorios.

El CIRSOC agradece al autor y a la Facultad de Ciencias Exactas, Ingeniería y Agrimensura de la Universidad Nacional de Rosario la autorización para publicar este trabajo que será un valioso antecedente para el estudio de las alternativas que pueden servir de base a la actualización de nuestros Reglamentos de Seguridad para las Obras Civiles.

Dirección Técnica
CIRSOC

PROLOGO DEL AUTOR

Los países Europeos en 1955 resuelven reunirse, a fin de aunar criterios y terminar con las discrepancias que tienen los diversos reglamentos.

Sabían de antemano que no sería una tarea fácil, por eso decidieron enfrentar el problema y en 1960 siguiendo una proposición, la C.E.C.M. (Convención Europea de la Construcción Metálica) decide organizar una gran campaña de ensayos de laboratorio y establecer además un estudio teórico del fenómeno "Pandeo", basado en una simulación numérica. Dicha simulación consiste en encontrar la solución numérica de las ecuaciones que formula el Pandeo, en una barra que no es perfecta.

No solamente se realizaron ensayos para la determinación de cargas críticas estadísticas probabilísticas, sino también para determinar las tensiones previas del material y las tensiones de fluencia, también con criterios estadísticos probabilísticos, evaluando asimismo la homogeneidad e isotropía del acero.

Antes de ser ensayadas las barras, se determina la deformación previa de las mismas y cual sería su posible excentricidad.

Los ensayos de laboratorio y los trabajos teóricos permiten que en 1970 la Comisión N° 8 de la C.E.C.M. proponga tres curvas adimensionales, establecidas en función de diferentes tipos de perfiles, teniendo en cuenta sus heterogeneidades tanto estructurales como geométricas.

Esta primera presentación tuvo sus críticas, que fueron corregidas en 1976, siguiéndose además con los ensayos de laboratorio y los estudios teóricos.

En 1978 se realiza una nueva presentación y en 1979 Alemania presenta un proyecto de norma DIN 18800. Posteriormente estos proyectos sufren nuevas modificaciones que pueden verse en EUROCODE de 1984 y posteriormente en EUROCODE de 1990 por parte de la C.E.C.M. y la DIN sufre modificaciones en 1987 y 1990, siendo esta última una norma y no un proyecto.

Cabe destacar que desde 1960, nunca se dejaron de realizar ensayos de laboratorio y estudios teóricos, actualmente continúan realizándose con el objeto de afinar valores y algunas posibles discrepancias, contándose con experiencias de laboratorio de más de 30 años.

Basándome en publicaciones y textos, que figuran en la parte bibliográfica he tratado de resumir los diferentes estudios, comenzando con un breve repaso histórico de trabajos realizados en el campo teórico, para terminar con un acercamiento físico del problema de Pandeo, ya que no se habían realizado ensayos de laboratorio estadísticos probabilísticos, que son los que nos aproximan a la realidad.

Por último agradezco la colaboración prestada por los Ingenieros Horacio J. Favarel y Sergio Grossman, como asimismo al alumno Marcelo G. Vega.

I N D I C E

| | Pág. |
|---|-------|
| Prólogo | |
| CAPITULO I : Introducción | |
| 1.1. Reseña histórica..... | 1 |
| CAPITULO II : NUEVO ESTUDIO DEL PANDEO EN EL CAMPO REAL | |
| 2.1. La barra articulada..... | 29 |
| 2.2. ESTUDIO DE LAS DIVERSAS INFLUENCIAS EJERCIDAS POR LAS IMPERFECCIONES. | |
| 2.2.1. Tensiones residuales..... | 34 |
| 2.2.2. Excentricidad por Aplicación de Cargas..... | 40 |
| 2.2.3. Influencia de las cargas laterales..... | 41 |
| 2.2.4. Las curvas de pandeo. Conclusiones finales.. | 42 |
| 2.2.5. Las curvas de influencia. Espesor de pared.. | 43 |
| CAPITULO III: LAS CURVAS EUROPEAS DE PANDEO Y SUS LIMITES | |
| 3.1. Origen de las Curvas..... | 45 |
| 3.2. Mecanismo de verificación de secciones..... | 73 |
| 3.3. Modificaciones recientes..... | 82 |
| 3.4. Limites de las curvas de pandeo..... | 91 |
| CAPITULO IV : FORMULACION ANALITICA SIMPLE DE LAS CURVAS DE PANDEO | |
| 4.1. Comentarios..... | 94 |
| 4.2. Ajuste de las curvas..... | 96 |
| CAPITULO V : CRITERIO AMERICANO | |
| 5.1. Reglamentación americana de 1986..... | 104 |
| CAPITULO VI : PANDEO EN BARRAS COMPUESTAS | |
| 6.1. Influencia del esfuerzo de corte sobre la carga crítica..... | 109 |
| 6.2. Barras con diagonales..... | 111 |
| 6.3. Barras con presillas..... | 113 |
| 6.4. Proceso de verificación de secciones..... | 116 |
| 6.5. Procedimiento de Domke..... | 124 |
| BIBLIOGRAFIA..... | 129 |
| APLICACIONES PRACTICAS..... | 133 |

CONVENTION EUROPEA DE LA CONSTRUCCION METALICA \ DIN 18800

CAPITULO 1: Introducción.-

1.1.- Breve Historia:

Pandeo en el campo real: Nueva Norma de la Convención Europea de la Construcción Metálica.-

El comportamiento de una barra cargada axialmente ha sido siempre un problema complejo. Los primeros estudios respecto a este tema han sido sobre la estabilidad de soportes de piedra y de madera, que se le atribuyen a Herón de Alejandría alrededor del año 75 AC.-

En el siglo XV, Leonardo Da Vinci (1452- 1519) escribió varias notas sobre la descripción de este fenómeno, pero recién en 1729 el físico holandés Petrus Van Musschenbroek (1629- 1761), propone por primera vez una fórmula empírica resultado de una serie de experimentos sistemáticos diciendo que la carga crítica de una columna biarticulada, es inversamente proporcional al cuadrado de su longitud.-

Algunos años más tarde el matemático Leonard Euler (1707- 1783), inspirado en los trabajos de Jacob Bernoulli (1654- 1703) establece la primera fórmula general para una barra inelástica ideal:

$$(1) N = \frac{\pi^2 R}{l^2} \quad R = \text{Memento de rigidez}$$

Recién en 1778 Euler propone una fórmula para el caso elástico:

$$(2) N_k = \frac{\pi^2 EI}{l^2}$$

que corresponde al valor mínimo no nulo de la siguiente ecuación diferencial:

$$(3) W'' + k^2 W = 0 \quad k = \frac{N}{EI}$$

pero esta ecuación posee infinitas soluciones y son del tipo:

$$(4) N_k = \frac{n^2 \pi^2 EI}{l^2}$$

donde n es un número entero y representa la cantidad de semiondas respecto de la forma de pandeo indeterminada y su ecuación es de forma senoidal (Figura A):

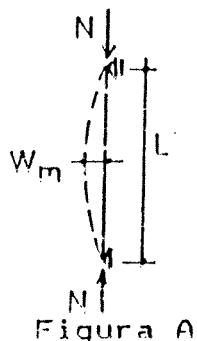


Figura A

y corresponde al problema de una barra ideal perfecta, con carga N perfectamente centrada que la lleva a una bifurcación del equilibrio pues no tiene en cuenta las imperfecciones inevitables de la barra.-

CONVENCION EUROPEA DE LA CONSTRUCCION METALICA \ DIN 18800

y esto conduce a la siguiente ecuación:

(10)

$$\frac{1}{\lambda_k} = \frac{1}{\pi} \sqrt{\frac{G_k}{E}} \left[\frac{G_F - G_P}{\sqrt{(G_F - G_P)^2 - (G - G_P)^2}} \right] = \frac{1}{\pi} \sqrt{\frac{G_k}{E}} \left[\frac{0,2 G_F}{\sqrt{(0,2 G_F)^2 - (\bar{G}_K - 0,8 G_F)^2}} \right]$$

Otros investigadores como Considere y Jasinski introdujeron un módulo también reducido, de valor intermedio entre E y E_t. -

Como la primer teoría de Engesser fue duramente criticada, en 1895 presenta una segunda teoría modificada, comprobada en forma experimental por Von Karman (1898), por eso a esta segunda teoría se la suele llamar como Engesser-Von Karman o teoría del Doble Módulo:

$$(11) E_R = \frac{4 E E_t}{(\sqrt{E} + \sqrt{E_t})^2} = T$$

$$(12) \bar{G}_k = \frac{\pi^2 T}{\lambda_k^2}$$

y esto conduce a la siguiente ecuación:

$$(13) \frac{1}{\lambda_k} = \frac{1}{\pi} \sqrt{\frac{G_k}{E}} \left[0,5 + \frac{0,1 G_F}{\sqrt{(0,2 G_F)^2 - (\bar{G}_k - 0,8 G_F)^2}} \right]$$

expresión que relaciona λ_k con \bar{G}_k . -

TABLA - ACERO ST52

| λ | EULER kg/cm ² | ENGESSER 1 ^o teoría \bar{G}_k [kg/cm ²] | ENGESSER Von Karman 2 ^o teoría \bar{G}_k [kg/cm ²] | DIFERENCIAS $\Delta \bar{G}$ [kg/cm ²] | DIFERENCIAS relativas a la teoría (%). |
|-----------|-----------------------------|--|--|---|---|
| 15 | 92116 | 3586 | 3596 | 10 | 0,279 |
| 20 | 51815 | 3575 | 3592 | 17 | 0,478 |
| 25 | 33182 | 3580 | 3580 | 20 | 0,582 |
| 30 | 23029 | 3542 | 3578 | 36 | 1,018 |
| 35 | 16919 | 3521 | 3587 | 46 | 1,306 |
| 40 | 12954 | 3495 | 3553 | 58 | 1,680 |
| 45 | 10235 | 3466 | 3535 | 69 | 1,991 |
| 50 | 8290 | 3431 | 3511 | 80 | 2,332 |
| 55 | 6852 | 3392 | 3479 | 87 | 2,585 |
| 60 | 5757 | 3348 | 3439 | 93 | 2,779 |
| 65 | 4908 | 3293 | 3388 | 93 | 2,824 |
| 70 | 4230 | 3230 | 3317 | 87 | 2,693 |
| 75 | 3685 | 3153 | 3224 | 71 | 2,252 |
| 80 | 3238 | 3053 | 3093 | 40 | 1,310 |
| 84,833 | 2880 | 2880 | 2880 | 0 | 0 |
| 90 | 2559 | | | | |
| 95 | 2297 | | | | |
| 100 | 2073 | | | | |

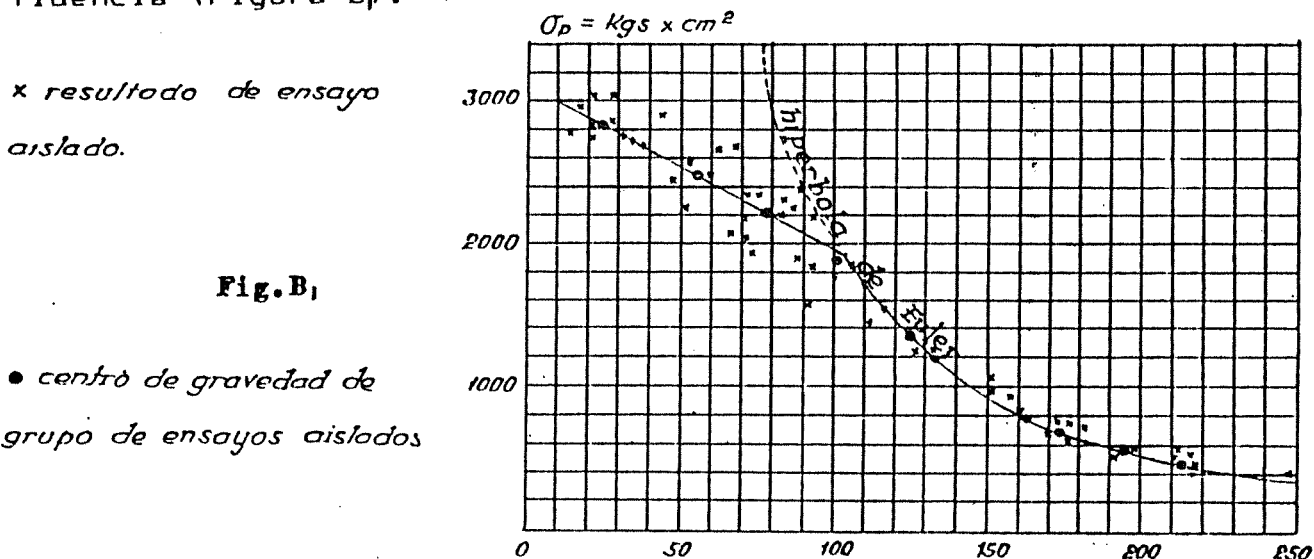
En 1826, Lucien Navier (1785- 1836), basado sobre análisis matemáticos de los resultados experimentales de aquella época, demuestra que la fórmula de Euler da un límite superior de la carga crítica de barras y que ella no es ilimitadamente cierta y solamente es válida hasta la tensión de proporcionalidad $\sigma_p = 1903 \text{ kg/cm}^2$ (Tensión de proporcionalidad de aquella época), pasada ésta, se penetra en el campo elastoplástico. Navier logró llegar a enunciar una fórmula para fundiciones en este campo:

$$(6) \quad G_k = 3 - 0,012 \lambda$$

y posteriormente Tetmajer, luego de decenas de ensayos en 1896 llegó a esta otra:

$$(7) \quad G_k = 3,03 - 0,0129 \lambda$$

para fundición y en campo plástico, la cual para su aplicación en aceros comunes posee un techo cuyo valor es el de la tensión de fluencia (Figura B). -



• centro de gravedad de grupo de ensayos aislados

Posterior a Euler se desarrollan dos grandes caminos en el fenómeno del pandeo: algunos investigadores, por un lado tratan de franquear el límite que separa la barra ideal de la real, mientras otros se encaminan hacia un estudio lógico de los trabajos de Euler, sobre el comportamiento inelástico de barras en el campo ideal.-

Surge en este camino ideal, la primera teoría de Engesser (1889), utilizando en la fórmula de Euler un módulo tangente E_t :

$$(8) \quad E_t = E \left[1 - \left(\frac{\sigma - \sigma_p}{\sigma_f - \sigma_p} \right)^2 \right]$$

válida para el campo elastoplástico

σ_p = Tensión de proporcionalidad

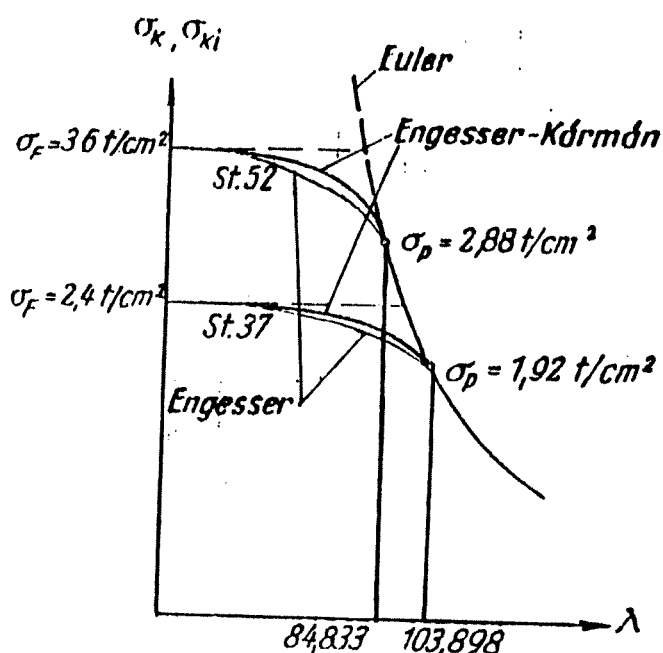
σ_f = Tensión de fluencia

E = Módulo de Elasticidad de Hooke

$$(9) \quad G_k = \frac{\pi^2 E_t}{\lambda_k^2}$$

TABLA - ACERO ST37

| λ | EULER σ_K kg/cm^2 | ENGESSER 1 ^a teoría σ_K kg/cm^2 | ENGESSER Von Karman 2 ^a teoría σ_K kg/cm^2 | DIFERENCIAS $\Delta \sigma$ kg/cm^2 | DIFERENCIAS relativas a la 1 ^a teoría (%). |
|-----------|---|---|---|--|--|
| 15 | 92116 | 2394 | 2398 | 4 | 0,167 |
| 20 | 51815 | 2389 | 2397 | 8 | 0,335 |
| 25 | 33162 | 2382 | 2394 | 12 | 0,504 |
| 30 | 23029 | 2375 | 2391 | 16 | 0,674 |
| 35 | 18919 | 2365 | 2387 | 22 | 0,930 |
| 40 | 12954 | 2354 | 2382 | 28 | 1,189 |
| 45 | 10235 | 2342 | 2375 | 33 | 1,409 |
| 50 | 8290 | 2327 | 2367 | 40 | 1,719 |
| 55 | 6852 | 2311 | 2357 | 46 | 1,990 |
| 60 | 5757 | 2292 | 2344 | 52 | 2,269 |
| 65 | 4906 | 2272 | 2328 | 58 | 2,465 |
| 70 | 4230 | 2249 | 2309 | 60 | 2,668 |
| 75 | 3685 | 2222 | 2285 | 63 | 2,835 |
| 80 | 3238 | 2193 | 2255 | 62 | 2,827 |
| 85 | 2869 | 2159 | 2217 | 58 | 2,686 |
| 90 | 2559 | 2119 | 2170 | 51 | 2,407 |
| 95 | 2297 | 2071 | 2108 | 37 | 1,787 |
| 100 | 2073 | 2006 | 2024 | 18 | 0,897 |
| 103,898 | 1920 | 1920 | 1920 | 0 | 0 |
| 105 | 1880 | | | | |
| 110 | 1713 | | | | |
| 115 | 1567 | | | | |
| 120 | 1439 | | | | |
| 125 | 1328 | | | | |
| 130 | 1226 | | | | |

Fig. B₂ Gráfico de ambas teorías

CONVENCION EUROPEA DE LA CONSTRUCCION METALICA \ DIN 18800

Östenfeld propone en lugar de la recta de Tetmajer, en campo plástico, una parábola tangente para esbeltez $\lambda = 0$ y $\bar{U} = \bar{U}_F$ respecto de la horizontal, y que corta a la hipérbola de Euler en λ límite ($\lambda_{\text{límite}} = 105$), siguiendo luego con la hipérbola para $\lambda > 105$; y esta parábola no es tangente a la curva clásica de Euler, y la ecuación que plantea es la siguiente:

$$\bar{U}_K = a - b\lambda^2 \quad (\text{Fig. B}_3)$$

b depende del punto de encuentro y $a = \bar{U}_F$
En cambio Vianello propone la curva:

$$\bar{U}_K = \frac{c}{d + \lambda^2}$$

dependiendo los coeficientes, de la tensión de fluencia y del punto donde corta a la hipérbola ($\lambda_{\text{límite}}$) y en ambos casos las proposiciones de Östenfeld y Vianello no son tangentes a la hipérbola, siendo sus valores levemente inferiores a los de la primera teoría de Engesser.

En cambio planteando la ecuación:

$$\bar{U}_K = a - b\lambda^3 \quad a = \bar{U}_F$$

y b depende de la esbeltez límite, se obtienen valores intermedios entre la primera y segunda teoría de Engesser en la mayor parte de la curva, únicamente en lugares cercanos al $\lambda_{\text{límite}}$, se obtienen valores inferiores a la primera teoría.

A estas ecuaciones, con el fin de no violar el principio de continuidad, se les puede buscar el punto de tangencia con la hipérbola, siendo su expresión para acero ST 37:

$$\bar{U}_K = a - b\lambda^2 = 2.400 - 0,0694774\lambda^2$$

estando el punto de tangencia en $\lambda = 131,422$
y para acero ST 52:

$$\bar{U}_K = a - b\lambda^2 = 3.600 - 0,1563241\lambda^2$$

y el punto de tangencia está en $\lambda = 107,30582$

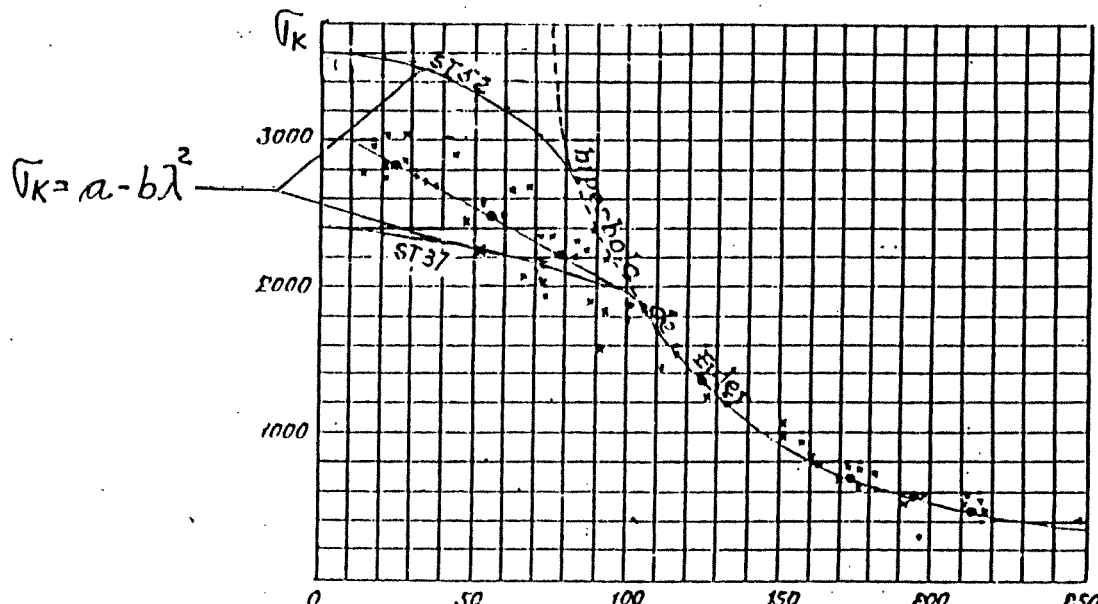


Fig. B₃ Representación gráfica de la ecuación de Östenfeld

Recien en 1947, Shanley demuestra que ninguna de las dos suposiciones de Engesser son ciertas, y no se produce bifurcación del equilibrio, sino que el proceso es de desviación del equilibrio.

La primer teoría de Engesser o del modulo tangente, conduce a una tensión crítica o carga crítica, que es el último valor que mantiene a la barra recta y no es verdad que el estudio se realice a carga constante, por el contrario, la carga actuante sobre la barra varía.

Entonces para llegar a la bifurcación, es necesario un incremento de carga ΔP , respecto de P_k^I , siendo la carga de bifurcación:

$$P_k^S = P_k^I + \Delta P$$

P_k^S = carga crítica de Shanley,

P_k^I = carga crítica de la primera teoría de Engesser.

La carga crítica de Shanley, se situa entre los valores de la primera y segunda teoría de Engesser, y puede concluirse diciendo que la primera nos da un límite inferior y la segunda un límite superior, siendo este un valor inalcanzable, pues las imperfecciones inevitables de la barra impiden alcanzarlo y es así que antes se llega a la carga P_k^S y posteriormente a una desviación del equilibrio (Fig. B₄ y B₅).

Se debe a Stussi la proposición de denominar a este método combinado "Teoría de Engesser-Shanley", siendo esta teoría corroborada en el famoso modelo mecánico-matemático de Ryder.

Puede verse en las tablas anteriores, que las diferencias entre las dos teorías de Engesser son mínimas y en ningún caso sobrepasan el 2,83%; las diferencias se achican aun más al considerar la teoría de Shanley, concluyendo que las diferencias son conceptuales y no de valores.

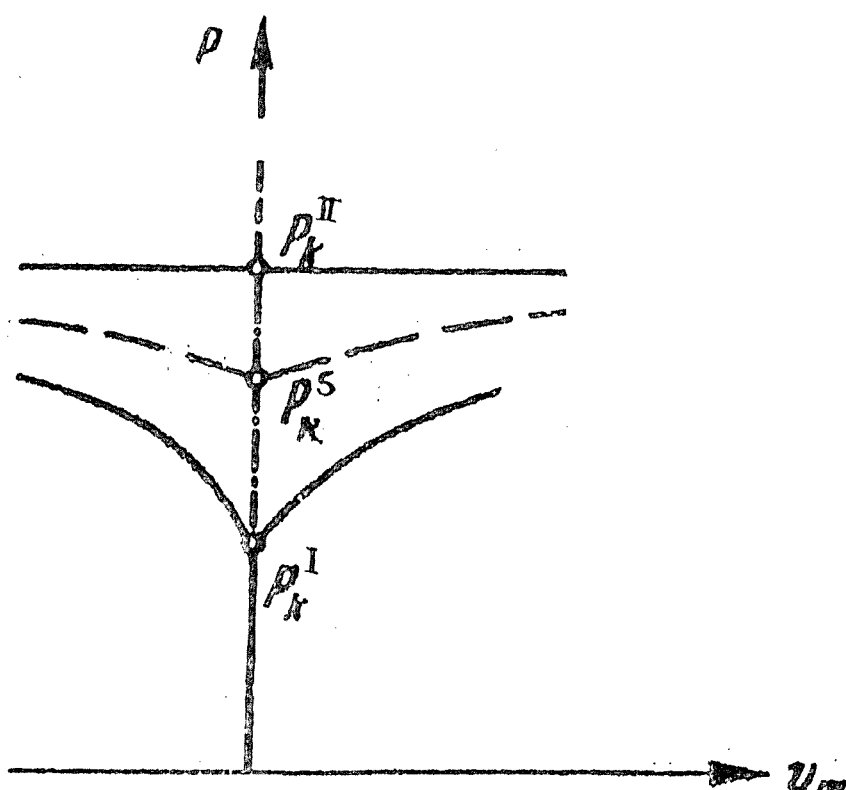


Fig. B₄ La carga crítica segun las tres teorías

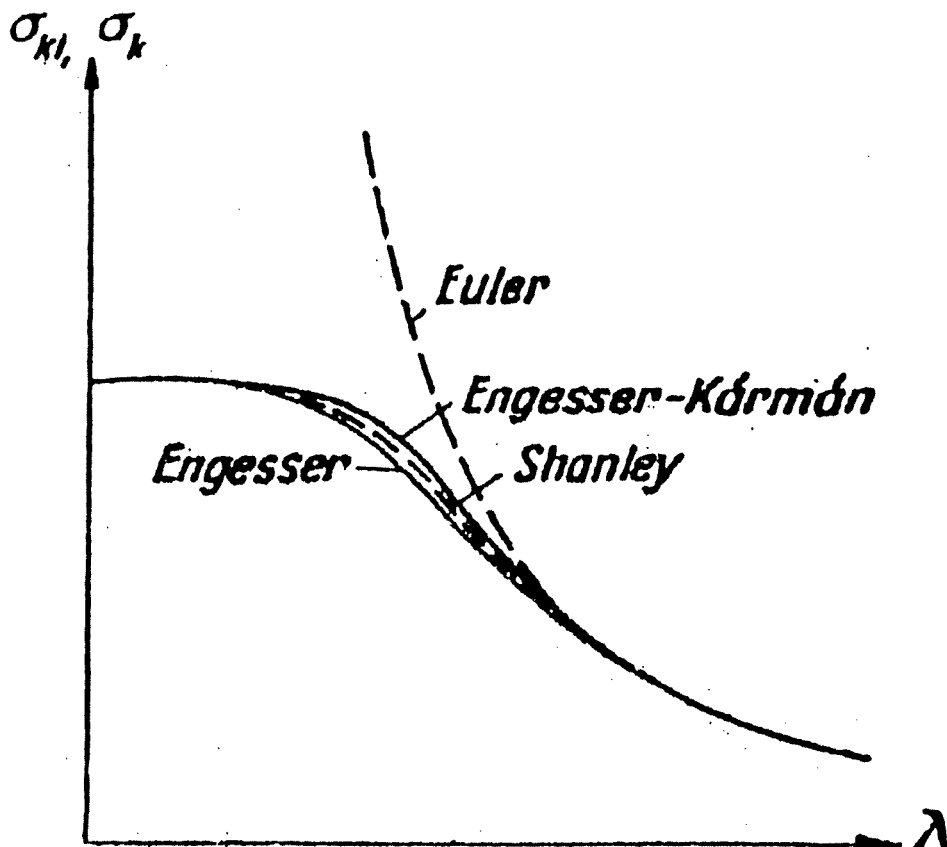
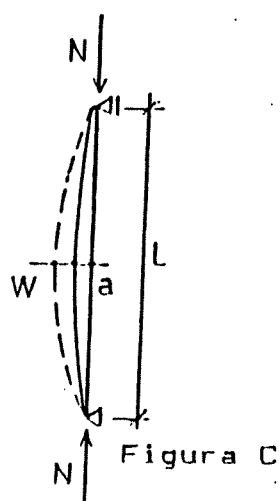


Fig. B₅ Representación gráfica de las tres teorías

En el campo real, es el físico inglés Thomas Young (1773-1829) el primero en demostrar en 1807, que el comportamiento de las barras reales está afectado por: las imperfecciones geométricas, excentricidad de las cargas, curvatura inicial de las barras; haciendo notar además que la falta de homogeneidad e isotropía afecta el fenómeno del pandeo. Este investigador introduce por primera vez el concepto de momentos flectores de segundo orden.-

Para ello, estudia una barra que tiene curvatura inicial de forma senoidal haciendo actuar una carga N que provoca una nueva deformación (Figura C), y la elástica será:



$$(14) \quad (w + a_x) = w + a \cdot \sin \frac{\pi}{L} x$$

a = curvatura inicial en el centro

$$a_x = a \cdot \sin \frac{\pi}{L} x$$

y el momento flector será:

$$(15) \quad M = N(w + a \cdot \sin \frac{\pi}{L} x)$$

y la ecuación diferencial a plantearse es:

$$(16) w'' = -\frac{M}{EI} = -\frac{N}{EI} (w + a \operatorname{sen} \frac{\pi}{L} x)$$

quedando finalmente:

$$(17) w'' + k^2 w = -k^2 a \operatorname{sen} \frac{\pi}{L} x \quad k^2 = \frac{N}{EI}$$

y la solución de esta ecuación es como sigue:

$$(18) w = C_1 \operatorname{sen} kx + C_2 \cos kx + \frac{a}{\frac{\pi^2 EI}{NL^2} - 1} \operatorname{sen} \frac{\pi}{L} x$$

si imponemos las siguientes condiciones de borde:

$$\begin{aligned} x &= 0 \rightarrow w = 0 \\ x &= L/2 \rightarrow w' = 0 \end{aligned}$$

los coeficientes C_1 y C_2 resultan nulos y la solución final queda:

$$(19) w = \frac{a}{\frac{\pi^2 EI}{NL^2} - 1} \operatorname{sen} \frac{\pi}{L} x = \frac{a}{\frac{N_E}{N} - 1} \operatorname{sen} \frac{\pi}{L} x$$

y la flecha total de la barra en su punto medio es:

$$(20) W_0 = (w_m + a) = a + \frac{a}{\frac{N_E}{N} - 1} = \frac{a}{1 - \frac{N}{N_E}}$$

N_E = Carga crítica de Euler o también N_{Ki}

Denominamos momento flector de primer orden M^I a:

$$(21) M_{max}^I = N_a$$

y el momento flector de segundo orden es:

$$(22) M_{max}^{II} = N \frac{a}{1 - \frac{N}{N_{Ki}}} = N a K_1$$

$$(23) K_1 = \frac{1}{1 - \frac{N}{N_{Ki}}}$$

Si la columna estuviese comprimida por una carga N y presenta una excentricidad e , se tendría (Figura D):

$$(24) M^I = N \cdot e$$

$$(25) M^{II} = N \frac{e}{\cos \frac{\pi}{2} \sqrt{\frac{N}{N_{Ki}}}} = N e K_2$$

$$(26) K_2 = \frac{1}{\cos \frac{\pi}{2} \sqrt{\frac{N}{N_{Ki}}}}$$



Figura D

CONVENTION EUROPEA DE LA CONSTRUCCION METALICA \ DIN 18800

Recién 80 años más tarde, los investigadores ingleses Ayrton y Perry demuestran que en el dominio de valores prácticos de la relación N/N_{ki} , los valores de k de las ecuaciones (23) y (26) dan resultados muy cercanos, y es por ello que la curvatura inicial puede ser considerada como una imperfección geométrica general.-

Representando en un sistema de ejes coordenados en función de k (23) y (26), N/N_{ki} se obtiene el gráfico siguiente (Figura E):

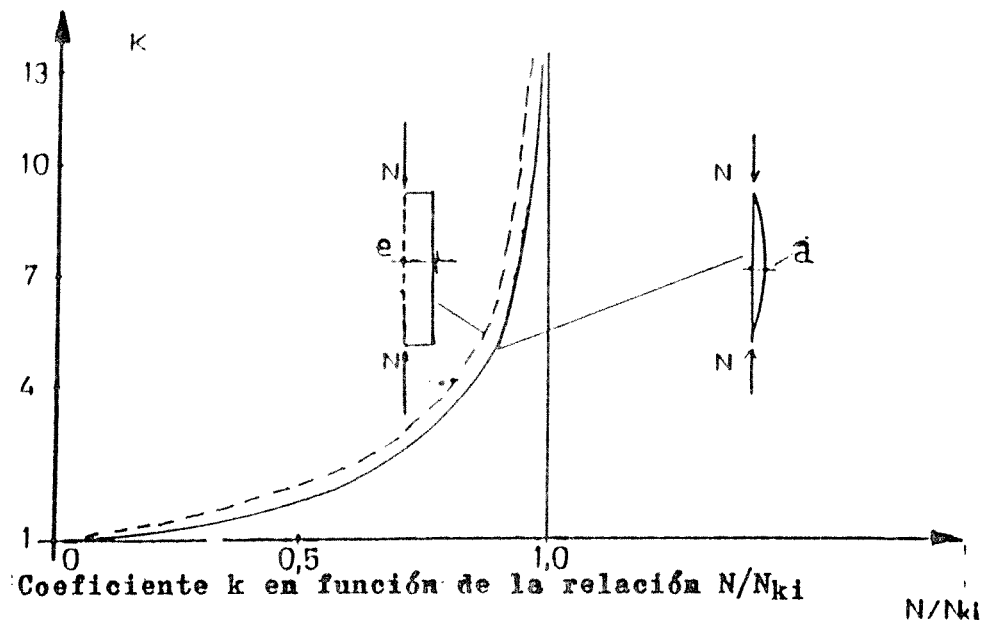


Figura E

Adoptando como criterio de ruina o de destrucción de la barra la tensión de fluencia σ_F , se obtiene la fórmula de flexión compuesta: (Ayrton y Perry 1887)

$$(27) \frac{N}{A} + \frac{M^2}{W} = \sigma_F \quad A = \text{Área de la sección} \\ \quad W = \text{Módulo Resistente}$$

que puede transformarse en la siguiente relación:

$$(28) \sigma_K + \frac{\sigma_K \cdot a}{(1 - \frac{\sigma_K}{\sigma_{Ki}})} \cdot \frac{A}{W} = \sigma_F$$

Llegándose a la expresión:

$$(29) (\sigma_{Ki} - \sigma_K)(\sigma_F - \sigma_K) = \frac{a \cdot A}{W} \cdot \sigma_{Ki} \cdot \sigma_K = \eta \sigma_{Ki} \sigma_K$$

$$(30) \eta = a \frac{A}{W}$$

$$\text{y haciendo (31) } a = \frac{L}{j}$$

$$(32) j^2 = \frac{I}{A}$$

(33)

$$\eta = \frac{L \cdot A}{j \cdot W} = \frac{\frac{L \cdot A}{j}}{\frac{j \cdot W}{j}} = \frac{\lambda \cdot A}{\frac{j \cdot I}{j \cdot h}} = \frac{\lambda}{\frac{j \cdot I \cdot 1}{j \cdot A \cdot v}} = \frac{\lambda}{\frac{j}{v}}$$

en la que v es la distancia del baricentro al borde de la sección; i/v es el diámetro relativo de la elipse de inercia de la sección para la dirección de pandeo considerada. Puede verse que cada tipo de perfil está caracterizado por el valor de la relación i/v .

A continuación se expone la tabla A donde puede notarse un efecto diferente de las imperfecciones geométricas, según los dos planos principales de pandeo.-

TABLA A:

Valor de (i/v) Para series de perfiles laminados

| PERFIL | | Eje de Inercia Mayor | | Eje de Inercia Menor | |
|--------|----------------|----------------------|------------|----------------------|------------|
| | | Media | Desviación | Media | Desviación |
| IPE | | 0.822 | 0.008 | 0.444 | 0.010 |
| HEA | $h/b \leq 1.2$ | 0.870 | 0.010 | 0.500 | 0.002 |
| | $h/b > 1.2$ | 0.840 | 0.019 | 0.463 | 0.023 |
| HEB | $h/b \leq 1.2$ | 0.853 | 0.010 | 0.506 | 0.003 |
| | $h/b > 1.2$ | 0.833 | 0.017 | 0.465 | 0.023 |
| HEM | $h/b \leq 1.2$ | 0.811 | 0.017 | 0.515 | 0.002 |
| | $h/b > 1.2$ | 0.821 | 0.010 | 0.475 | 0.028 |

La tabla B muestra que la relación i/v , en la familia de perfiles, varía muy poco dentro de ella y por lo tanto según el valor de γ , son necesarias varias curvas de pandeo donde se agrupan familias de perfiles de propiedades similares:

TABLA B:

Valor de (i/v) para diferentes series de perfiles

| SECCION: | |
|-------------------------|-------------|
| Tubo rectangular | 0.71 a 0.81 |
| Tubo redondo | 0.67 a 0.69 |
| Barra rectangular | 0.58 |
| Redondo | 0.50 |
| Angular de alas iguales | 0.43 a 0.50 |
| Perfiles T | 0.34 a 0.42 |

CONVENTION EUROPEA DE LA CONSTRUCCION METALICA \ DIN 18800

TABLA C

Valor de las imperfecciones equivalentes según Roberston x-x :Inercia mayor; y-y :Inercia menor [11]

| SECCION: | = 1/w ₀ |
|--------------------------------|--------------------|
| IPE eje x-x | 406 |
| IPE eje y-y | 751 |
| HEA ($h/b \leq 1.2$) eje x-x | 383 |
| HEA ($h/b \leq 1.2$) eje y-y | 667 |
| HEA ($h/b > 1.2$) eje x-x | 397 |
| HEA ($h/b > 1.2$) eje y-y | 720 |
| HEB ($h/b \leq 1.2$) eje x-x | 390 |
| HEB ($h/b \leq 1.2$) eje y-y | 659 |
| HEB ($h/b > 1.2$) eje x-x | 400 |
| HEB ($h/b > 1.2$) eje y-y | 717 |
| HEM ($h/b \leq 1.2$) eje x-x | 411 |
| HEM ($h/b \leq 1.2$) eje y-y | 647 |
| HEM ($h/b > 1.2$) eje x-x | 406 |
| HEM ($h/b > 1.2$) eje y-y | 702 |
| Tubo Rectangular | 412 a 469 |
| Tubo Cilindrico | 483 a 498 |
| Barra Rectangular | 575 |
| Redondo | 667 |
| Angular de Alas Iguales | 667 a 775 |
| Perfil T | 794 a 980 |

En 1925 A. Roberston observa que la fórmula de Ayrton y Perry constituye una buena representación de los resultados experimentales disponibles si se da al parámetro η el valor:

$$(34) \quad \eta_R = 0,003 \lambda$$

y esto equivale a considerar una imperfección proporcional a la longitud de la barra:

$$(35) \quad \eta \frac{\left(\frac{1}{v}\right)}{\lambda} = \frac{1}{\delta} = \frac{a}{l} \quad \delta = \frac{l}{a}$$

$$(36) \quad \eta = \frac{\lambda}{\delta \left(\frac{1}{v}\right)} = 0,003 \lambda$$

$$(37) \quad \frac{1}{\frac{l}{a} \left(\frac{1}{v}\right)} = 0,003 = \frac{a}{l \left(\frac{1}{v}\right)} = 0,003$$

$$(38) \quad \frac{a}{l} = 0,003 \left(\frac{1}{v}\right)$$

En la Tabla C se demuestra que la imperfección varía en la relación de 1/2.6 y favorece el pandeo de un perfil laminado según el eje de menor inercia en relación con el de mayor inercia.-

Roberston sin justificar en forma teórica, exagera la imperfección geométrica observada con la finalidad de tener en cuenta el efecto de las tensiones residuales.-

Estas tensiones residuales fueron puestas de manifiesto en 1888 por Kalakoutsky, con motivo de mediciones sobre cilindros de acero y la dispersión del límite de fluencia por R.H.Smith en 1878. Si bien la proporción de Robertson es un poco arbitraria, pues no tiene en cuenta la variación de las tensiones residuales, ni tampoco su intensidad y su distribución en las diversas secciones, contiene toda la esencia de la aproximación actual al problema de pandeo.-

A partir de 1925 la fórmula de Ayrton y Perry es utilizada en muchos países europeos con el η dado por Robertson, especialmente los ingleses, que incluso en 1962, el investigador Godfrey propone reemplazar en la norma inglesa (Uso de Aceros en Edificios) el valor del parámetro η de Robertson por:

$$(39) \quad \eta_6 = 0,3 \left(\frac{\lambda}{100}\right)^2$$

Con esto se pretende aproximarse a la idea de Dutheil que basándose en la teoría de Young, en donde el momento flector de 2º orden viene dado por:

$$(40) \quad M^{\text{II}} = \frac{1}{1 - \frac{N}{N_{K_i}}} \cdot W_0 N$$

en la que W_0 es una "flecha complementaria de falta de homogeneidad", ligada en flexión senoidal al momento máximo en el soporte por la relación:

$$(41) \quad W_0 = C \cdot \frac{M_0 L^2}{\pi^2 EI}$$

CONVENCION EUROPEA DE LA CONSTRUCCION METALICA \ DIN 18800

aceptando que $M = \sigma_f W$ puede obtenerse la imperfección de Ayrton y Perry:

$$(42) \eta_0 = \frac{W_0 A}{W} = C \cdot \frac{M_0 L^2}{\pi^2 EI} \cdot \frac{A}{W} = C \cdot \frac{\sigma_f}{\sigma_{K_i}} = \frac{C}{\pi^2 E} \cdot \sigma_f \cdot \lambda^2$$

El valor de C lo determina en base a los resultados experimentales y propone para el valor de $C = 1/12$.

La reglamentación francesa en 1956, acepta esta aproximación, pero la modifica un poco y con el objeto de no tener una fórmula tan compleja de preflecha, llama irregularidades de la estructura al cálculo de imperfecciones inevitables, sin distinguir su procedencia y toma como preflecha:

$$(43) f = \frac{a \sqrt{\sigma_{K_i}} I}{\sigma_{K_i} - \sigma(1+b) V N_k}$$

V = distancia desde la línea neutra al borde

donde a y b son valores que salen de la experiencia, y haciendo $a+b=0.3$ se obtiene para f un valor límite que no es posible superar, según resultados experimentales, quedando:

$$(44) f = 0,3 \sigma \cdot \frac{\sigma_{K_i}}{\sigma_{K_i} - 1,3 \sigma} \cdot \frac{I}{V N_k}$$

$$(45) M = N \cdot f = \sigma A f = \frac{0,3 \sigma^2}{\sigma_{K_i} - 1,3 \sigma} \cdot W$$

Siguiendo el procedimiento matemático se llega a:

$$(46) \sigma_s = \frac{1}{2} (\sigma_{K_i} + 1,3 \sigma_f) - \sqrt{\frac{1}{4} (\sigma_{K_i} + 1,3 \sigma_f)^2 - \sigma_f \sigma_{K_i}}$$

$$(47) \sigma_s = \frac{N_s}{A}$$

siendo N_s la carga que al aplicarse a una barra real con imperfecciones provoca en algún punto de la sección más desfavorable la tensión de fluencia σ_f .

En síntesis, lo que se hizo fue igualar la máxima tensión de flexocompresión a la de fluencia σ_f , y a la carga N_s que la provoca se la toma como la de pandeo.

Esta carga crítica debe estar afectada por un coeficiente de seguridad, y que poseen los siguientes valores:

$\gamma = 1,50$ cuando la barra está solicitada por cargas principales (Estado H).

$\gamma = 1,33$ cuando la barra está solicitada por cargas principales y adicionales (accidentales) (Estado H2).

Entonces en la verificación a realizar, se debe utilizar la carga de dimensionamiento, siendo esta la carga de servicio multiplicada por el coeficiente de seguridad γ , obteniéndose:

$$(63) \omega = \frac{\sigma_f}{\sigma_K}$$

$$(62) \frac{\gamma N}{A} \omega \leq \sigma_f$$

TABLA - TENSIONES CRITICAS EN Kg/cm² - REGLAMENTO FRANCES DE 1956 $\bar{V}_F = 2400$

| λ | 0 | 1 | 2 | 3 | 4 | 5 | 6 | 7 | 8 | 9 |
|-----------|------|------|------|------|------|------|------|------|------|------|
| 10 | 2392 | 2390 | 2388 | 2386 | 2383 | 2381 | 2378 | 2375 | 2372 | 2369 |
| 20 | 2366 | 2362 | 2358 | 2354 | 2350 | 2345 | 2340 | 2336 | 2330 | 2325 |
| 30 | 2319 | 2313 | 2307 | 2301 | 2294 | 2287 | 2280 | 2273 | 2265 | 2257 |
| 40 | 2249 | 2240 | 2231 | 2222 | 2212 | 2203 | 2192 | 2182 | 2171 | 2160 |
| 50 | 2148 | 2136 | 2124 | 2111 | 2098 | 2085 | 2071 | 2057 | 2043 | 2028 |
| 60 | 2013 | 1997 | 1982 | 1965 | 1949 | 1932 | 1915 | 1898 | 1890 | 1862 |
| 70 | 1844 | 1825 | 1807 | 1788 | 1769 | 1749 | 1730 | 1710 | 1691 | 1671 |
| 80 | 1651 | 1631 | 1611 | 1591 | 1572 | 1552 | 1532 | 1512 | 1492 | 1473 |
| 90 | 1453 | 1434 | 1415 | 1396 | 1377 | 1358 | 1340 | 1321 | 1303 | 1285 |
| 100 | 1267 | 1250 | 1232 | 1215 | 1198 | 1182 | 1165 | 1149 | 1133 | 1117 |
| 110 | 1102 | 1087 | 1072 | 1057 | 1042 | 1028 | 1014 | 1000 | 986 | 973 |
| 120 | 960 | 947 | 934 | 921 | 909 | 897 | 885 | 873 | 862 | 850 |
| 130 | 839 | 828 | 818 | 807 | 795 | 786 | 776 | 766 | 757 | 747 |
| 140 | 738 | 729 | 720 | 711 | 702 | 693 | 685 | 677 | 668 | 660 |
| 150 | 652 | 645 | 637 | 629 | 622 | 615 | 608 | 601 | 594 | 587 |
| 160 | 580 | 574 | 567 | 561 | 554 | 548 | 542 | 536 | 530 | 524 |
| 170 | 519 | 513 | 508 | 502 | 497 | 491 | 486 | 481 | 476 | 471 |
| 180 | 466 | 461 | 457 | 452 | 447 | 443 | 438 | 434 | 430 | 425 |
| 190 | 421 | 417 | 413 | 409 | 405 | 401 | 397 | 393 | 389 | 386 |
| 200 | 382 | 378 | 375 | 371 | 368 | 364 | 361 | 358 | 354 | 351 |
| 210 | 348 | 345 | 342 | 339 | 336 | 333 | 330 | 327 | 324 | 321 |
| 220 | 318 | 315 | 313 | 310 | 307 | 305 | 302 | 300 | 297 | 295 |
| 230 | 292 | 290 | 287 | 285 | 282 | 280 | 278 | 276 | 273 | 271 |
| 240 | 269 | 267 | 265 | 263 | 260 | 258 | 256 | 254 | 252 | 250 |
| 250 | 248 | | | | | | | | | |

 COEFICIENTES α PARA ACEROS A-37

| λ | 0 | 1 | 2 | 3 | 4 | 5 | 6 | 7 | 8 | 9 | λ |
|-----------|------|------|------|------|------|------|------|------|------|------|-----------|
| 20 | 1,01 | 1,02 | 1,02 | 1,02 | 1,02 | 1,02 | 1,02 | 1,03 | 1,03 | 1,03 | 20 |
| 30 | 1,03 | 1,04 | 1,04 | 1,04 | 1,05 | 1,05 | 1,05 | 1,06 | 1,06 | 1,06 | 30 |
| 40 | 1,07 | 1,07 | 1,08 | 1,08 | 1,08 | 1,09 | 1,09 | 1,10 | 1,10 | 1,11 | 40 |
| 50 | 1,12 | 1,12 | 1,13 | 1,14 | 1,14 | 1,15 | 1,16 | 1,17 | 1,17 | 1,18 | 50 |
| 60 | 1,19 | 1,20 | 1,21 | 1,22 | 1,23 | 1,24 | 1,25 | 1,26 | 1,28 | 1,29 | 60 |
| 70 | 1,30 | 1,31 | 1,33 | 1,34 | 1,36 | 1,37 | 1,39 | 1,40 | 1,42 | 1,44 | 70 |
| 80 | 1,45 | 1,47 | 1,49 | 1,51 | 1,53 | 1,55 | 1,57 | 1,59 | 1,61 | 1,63 | 80 |
| 90 | 1,65 | 1,67 | 1,70 | 1,72 | 1,74 | 1,77 | 1,79 | 1,82 | 1,84 | 1,87 | 90 |
| 100 | 1,89 | 1,92 | 1,95 | 1,97 | 2,00 | 2,03 | 2,06 | 2,09 | 2,12 | 2,15 | 100 |
| 110 | 2,18 | 2,21 | 2,24 | 2,27 | 2,30 | 2,33 | 2,37 | 2,40 | 2,43 | 2,47 | 110 |
| 120 | 2,50 | 2,53 | 2,57 | 2,60 | 2,64 | 2,68 | 2,71 | 2,75 | 2,78 | 2,82 | 120 |
| 130 | 2,86 | 2,90 | 2,94 | 2,97 | 3,01 | 3,05 | 3,09 | 3,13 | 3,17 | 3,21 | 130 |
| 140 | 3,25 | 3,29 | 3,33 | 3,38 | 3,42 | 3,46 | 3,50 | 3,55 | 3,59 | 3,63 | 140 |
| 150 | 3,68 | 3,72 | 3,77 | 3,81 | 3,86 | 3,90 | 3,95 | 4,00 | 4,04 | 4,09 | 150 |
| 160 | 4,14 | 4,18 | 4,23 | 4,28 | 4,33 | 4,38 | 4,43 | 4,48 | 4,53 | 4,58 | 160 |
| 170 | 4,63 | 4,68 | 4,73 | 4,78 | 4,83 | 4,88 | 4,94 | 4,99 | 5,04 | 5,09 | 170 |
| 180 | 5,15 | 5,20 | 5,26 | 5,31 | 5,36 | 5,42 | 5,48 | 5,53 | 5,59 | 5,64 | 180 |
| 190 | 5,70 | 5,76 | 5,81 | 5,87 | 5,93 | 5,99 | 6,05 | 6,11 | 6,16 | 6,22 | 190 |
| 200 | 6,28 | 6,34 | 6,40 | 6,46 | 6,53 | 6,59 | 6,65 | 6,71 | 6,77 | 6,84 | 200 |
| 210 | 6,90 | 6,96 | 7,03 | 7,09 | 7,15 | 7,22 | 7,28 | 7,35 | 7,41 | 7,48 | 210 |
| 220 | 7,54 | 7,61 | 7,67 | 7,74 | 7,81 | 7,88 | 7,94 | 8,01 | 8,08 | 8,15 | 220 |
| 230 | 8,22 | 8,29 | 8,36 | 8,43 | 8,49 | 8,57 | 8,64 | 8,71 | 8,78 | 8,85 | 230 |
| 240 | 8,92 | 8,99 | 9,07 | 9,14 | 9,21 | 9,29 | 9,36 | 9,43 | 9,51 | 9,58 | 240 |
| 250 | 9,66 | | | | | | | | | | |

CONVENTION EUROPEA DE LA CONSTRUCCION METALICA / DIN 18800

 TABLA - TENSIONES CRITICAS EN KG/cm² - REGLAMENTO FRANCES DE 1956 $F_u = 2600$

| λ | 0 | 1 | 2 | 3 | 4 | 5 | 6 | 7 | 8 | 9 |
|-----------|------|------|------|------|------|------|------|------|------|------|
| 10 | 2390 | 2388 | 2386 | 2383 | 2380 | 2378 | 2374 | 2371 | 2367 | 2364 |
| 20 | 2359 | 2355 | 2351 | 2346 | 2341 | 2335 | 2330 | 2324 | 2318 | 2311 |
| 30 | 2303 | 2498 | 2491 | 2483 | 2475 | 2467 | 2458 | 2449 | 2440 | 2431 |
| 40 | 2421 | 2410 | 2400 | 2389 | 2377 | 2366 | 2353 | 2341 | 2328 | 2314 |
| 50 | 2300 | 2286 | 2272 | 2256 | 2241 | 2225 | 2209 | 2192 | 2175 | 2157 |
| 60 | 2139 | 2121 | 2102 | 2083 | 2063 | 2043 | 2023 | 2003 | 1988 | 1961 |
| 70 | 1940 | 1918 | 1896 | 1874 | 1852 | 1830 | 1808 | 1786 | 1763 | 1741 |
| 80 | 1718 | 1696 | 1674 | 1651 | 1629 | 1607 | 1585 | 1563 | 1541 | 1520 |
| 90 | 1598 | 1477 | 1456 | 1433 | 1413 | 1394 | 1374 | 1355 | 1335 | 1316 |
| 100 | 1297 | 1278 | 1259 | 1241 | 1223 | 1206 | 1188 | 1171 | 1154 | 1138 |
| 110 | 1121 | 1103 | 1090 | 1074 | 1059 | 1045 | 1029 | 1015 | 1001 | 987 |
| 120 | 973 | 959 | 946 | 933 | 921 | 908 | 896 | 884 | 872 | 860 |
| 130 | 849 | 837 | 826 | 815 | 803 | 794 | 784 | 774 | 764 | 754 |
| 140 | 745 | 735 | 726 | 717 | 708 | 699 | 690 | 682 | 674 | 665 |
| 150 | 657 | 649 | 642 | 634 | 626 | 619 | 612 | 605 | 598 | 591 |
| 160 | 584 | 577 | 571 | 564 | 558 | 551 | 545 | 539 | 533 | 527 |
| 170 | 521 | 516 | 510 | 505 | 499 | 494 | 489 | 483 | 478 | 473 |
| 180 | 468 | 463 | 459 | 454 | 449 | 443 | 440 | 436 | 431 | 427 |
| 190 | 423 | 419 | 414 | 410 | 406 | 402 | 398 | 393 | 391 | 387 |
| 200 | 383 | 380 | 376 | 373 | 369 | 366 | 362 | 359 | 356 | 352 |
| 210 | 349 | 346 | 343 | 340 | 337 | 334 | 331 | 328 | 325 | 322 |
| 220 | 319 | 316 | 314 | 311 | 308 | 306 | 303 | 300 | 298 | 295 |
| 230 | 293 | 290 | 288 | 286 | 283 | 281 | 279 | 276 | 274 | 272 |
| 240 | 270 | 267 | 263 | 263 | 261 | 259 | 257 | 255 | 253 | 251 |
| 250 | 249 | | | | | | | | | |

 COEFICIENTES α PARA ACEROS A-42

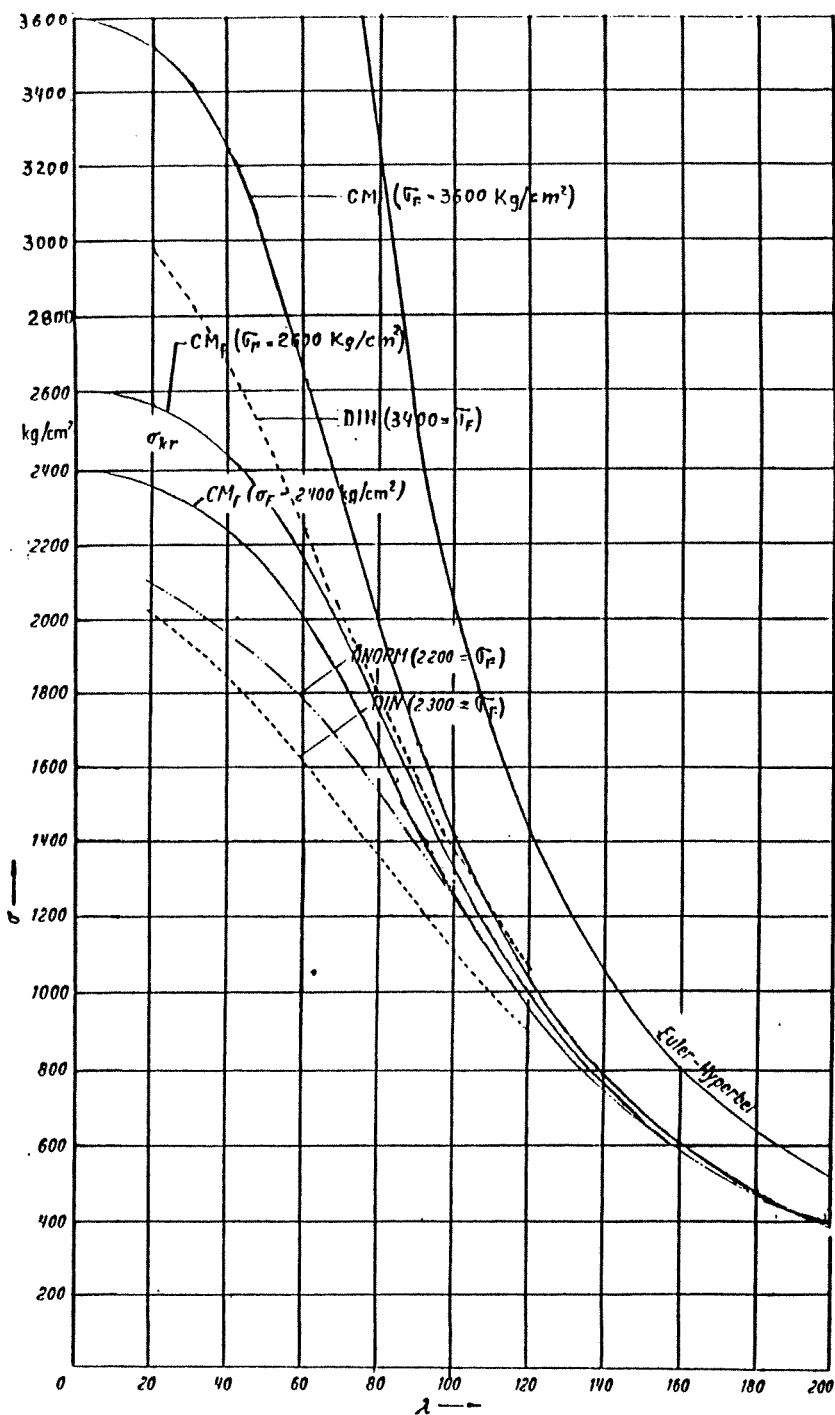
| λ | 0 | 1 | 2 | 3 | 4 | 5 | 6 | 7 | 8 | 9 | 10 |
|-----------|-------|------|------|------|------|-------|-------|-------|-------|-------|-----|
| 20 | 1,02 | 1,02 | 1,02 | 1,02 | 1,02 | 1,03 | 1,03 | 1,03 | 1,03 | 1,04 | 20 |
| 30 | 1,04 | 1,04 | 1,04 | 1,05 | 1,05 | 1,05 | 1,06 | 1,06 | 1,07 | 1,07 | 30 |
| 40 | 1,07 | 1,08 | 1,08 | 1,09 | 1,09 | 1,10 | 1,10 | 1,11 | 1,12 | 1,12 | 40 |
| 50 | 1,13 | 1,14 | 1,14 | 1,15 | 1,16 | 1,17 | 1,18 | 1,19 | 1,20 | 1,21 | 50 |
| 60 | 1,22 | 1,23 | 1,24 | 1,25 | 1,26 | 1,27 | 1,29 | 1,30 | 1,31 | 1,33 | 60 |
| 70 | 1,34 | 1,36 | 1,37 | 1,39 | 1,40 | 1,42 | 1,44 | 1,46 | 1,47 | 1,49 | 70 |
| 80 | 1,51 | 1,53 | 1,55 | 1,57 | 1,60 | 1,62 | 1,64 | 1,66 | 1,69 | 1,71 | 80 |
| 90 | 1,74 | 1,76 | 1,79 | 1,81 | 1,84 | 1,86 | 1,89 | 1,92 | 1,95 | 1,98 | 90 |
| 100 | 2,01 | 2,03 | 2,06 | 2,09 | 2,11 | 2,16 | 2,19 | 2,22 | 2,25 | 2,29 | 100 |
| 110 | 2,32 | 2,35 | 2,39 | 2,42 | 2,46 | 2,49 | 2,53 | 2,56 | 2,60 | 2,64 | 110 |
| 120 | 2,67 | 2,71 | 2,75 | 2,79 | 2,82 | 2,06 | 2,90 | 2,94 | 2,98 | 3,02 | 120 |
| 130 | 3,06 | 3,11 | 3,15 | 3,19 | 3,23 | 3,27 | 3,32 | 3,36 | 3,40 | 3,45 | 130 |
| 140 | 3,49 | 3,54 | 3,58 | 3,63 | 3,67 | 3,72 | 3,77 | 3,81 | 3,86 | 3,91 | 140 |
| 150 | 3,96 | 4,00 | 4,05 | 4,10 | 4,15 | 4,20 | 4,25 | 4,30 | 4,35 | 4,40 | 150 |
| 160 | 4,45 | 4,51 | 4,56 | 4,61 | 4,66 | 4,72 | 4,77 | 4,82 | 4,88 | 4,93 | 160 |
| 170 | 4,99 | 5,04 | 5,10 | 5,15 | 5,21 | 5,26 | 5,32 | 5,38 | 5,44 | 5,49 | 170 |
| 180 | 5,55 | 5,61 | 5,67 | 5,73 | 5,79 | 5,85 | 5,91 | 5,97 | 6,03 | 6,09 | 180 |
| 190 | 6,15 | 6,21 | 6,27 | 6,34 | 6,40 | 6,46 | 6,53 | 6,59 | 6,65 | 6,72 | 190 |
| 200 | 6,78 | 6,85 | 6,91 | 6,98 | 7,05 | 7,11 | 7,18 | 7,25 | 7,31 | 7,38 | 200 |
| 210 | 7,45 | 7,52 | 7,59 | 7,66 | 7,72 | 7,79 | 7,86 | 7,93 | 8,01 | 8,08 | 210 |
| 220 | 8,15 | 8,22 | 8,29 | 8,36 | 8,44 | 8,51 | 8,58 | 8,66 | 8,73 | 8,80 | 220 |
| 230 | 8,88 | 8,95 | 9,03 | 9,11 | 9,18 | 9,26 | 9,33 | 9,41 | 9,49 | 9,57 | 230 |
| 240 | 9,64 | 9,72 | 9,80 | 9,88 | 9,96 | 10,04 | 10,12 | 10,20 | 10,28 | 10,36 | 240 |
| 250 | 10,44 | | | | | | | | | | |

TABLA - TENSIONES CRITICAS EN KG/cm² - REGLAMENTO FRANCES DE 1956 $\sigma_F = 3600$

| | 0 | 1 | 2 | 3 | 4 | 5 | 6 | 7 | 8 | 9 |
|-----|------|------|------|------|------|------|------|------|------|------|
| 10 | 3381 | 3377 | 3373 | 3368 | 3362 | 3357 | 3350 | 3344 | 3337 | 3329 |
| 20 | 3521 | 3513 | 3504 | 3494 | 3484 | 3474 | 3463 | 3451 | 3439 | 3426 |
| 30 | 3412 | 3398 | 3383 | 3368 | 3352 | 3335 | 3317 | 3299 | 3280 | 3260 |
| 40 | 3240 | 3219 | 3196 | 3174 | 3150 | 3125 | 3100 | 3074 | 3047 | 3019 |
| 50 | 2991 | 2961 | 2931 | 2901 | 2869 | 2837 | 2804 | 2771 | 2737 | 2702 |
| 60 | 2668 | 2632 | 2597 | 2561 | 2525 | 2488 | 2452 | 2415 | 2379 | 2342 |
| 70 | 2306 | 2269 | 2233 | 2197 | 2162 | 2126 | 2091 | 2057 | 2022 | 1988 |
| 80 | 1955 | 1922 | 1890 | 1857 | 1826 | 1795 | 1764 | 1734 | 1705 | 1676 |
| 90 | 1648 | 1620 | 1592 | 1563 | 1539 | 1513 | 1488 | 1463 | 1439 | 1415 |
| 100 | 1392 | 1369 | 1347 | 1325 | 1303 | 1282 | 1262 | 1242 | 1222 | 1203 |
| 110 | 1184 | 1163 | 1147 | 1129 | 1112 | 1093 | 1078 | 1062 | 1046 | 1031 |
| 120 | 1015 | 1000 | 985 | 971 | 957 | 943 | 930 | 916 | 903 | 891 |
| 130 | 878 | 866 | 854 | 842 | 830 | 819 | 808 | 797 | 786 | 776 |
| 140 | 766 | 756 | 746 | 736 | 727 | 717 | 708 | 699 | 690 | 681 |
| 150 | 673 | 665 | 656 | 648 | 640 | 633 | 625 | 617 | 610 | 603 |
| 160 | 596 | 589 | 582 | 575 | 568 | 562 | 555 | 549 | 543 | 537 |
| 170 | 531 | 525 | 519 | 513 | 507 | 502 | 496 | 491 | 486 | 481 |
| 180 | 475 | 470 | 465 | 461 | 456 | 451 | 446 | 442 | 437 | 433 |
| 190 | 428 | 424 | 420 | 416 | 411 | 407 | 403 | 399 | 395 | 392 |
| 200 | 388 | 384 | 380 | 377 | 373 | 370 | 366 | 363 | 359 | 356 |
| 210 | 353 | 349 | 346 | 343 | 340 | 337 | 334 | 331 | 328 | 325 |
| 220 | 322 | 319 | 316 | 314 | 311 | 308 | 306 | 303 | 300 | 298 |
| 230 | 295 | 293 | 290 | 288 | 286 | 283 | 281 | 278 | 276 | 274 |
| 240 | 272 | 269 | 267 | 265 | 263 | 261 | 259 | 257 | 255 | 253 |
| 250 | 251 | | | | | | | | | |

COEFICIENTES α PARA ACEROS A-52

| λ | 0 | 1 | 2 | 3 | 4 | 5 | 6 | 7 | 8 | 9 | λ |
|-----------|-------|-------|-------|-------|-------|-------|-------|-------|-------|-------|-----------|
| 20 | 1,02 | 1,02 | 1,03 | 1,03 | 1,03 | 1,04 | 1,04 | 1,04 | 1,05 | 1,05 | 20 |
| 30 | 1,05 | 1,06 | 1,06 | 1,07 | 1,07 | 1,08 | 1,08 | 1,09 | 1,10 | 1,10 | 30 |
| 40 | 1,11 | 1,12 | 1,13 | 1,13 | 1,14 | 1,15 | 1,16 | 1,17 | 1,18 | 1,19 | 40 |
| 50 | 1,20 | 1,22 | 1,23 | 1,24 | 1,25 | 1,27 | 1,28 | 1,30 | 1,31 | 1,33 | 50 |
| 60 | 1,35 | 1,37 | 1,39 | 1,41 | 1,43 | 1,45 | 1,47 | 1,49 | 1,51 | 1,54 | 60 |
| 70 | 1,56 | 1,59 | 1,61 | 1,64 | 1,66 | 1,69 | 1,72 | 1,75 | 1,78 | 1,81 | 70 |
| 80 | 1,84 | 1,87 | 1,90 | 1,94 | 1,97 | 2,01 | 2,04 | 2,08 | 2,11 | 2,15 | 80 |
| 90 | 2,18 | 2,22 | 2,26 | 2,30 | 2,34 | 2,38 | 2,42 | 2,46 | 2,50 | 2,54 | 90 |
| 100 | 2,59 | 2,63 | 2,67 | 2,72 | 2,76 | 2,81 | 2,85 | 2,90 | 2,95 | 2,99 | 100 |
| 110 | 3,04 | 3,09 | 3,14 | 3,19 | 3,24 | 3,29 | 3,34 | 3,39 | 3,44 | 3,49 | 110 |
| 120 | 3,55 | 3,60 | 3,65 | 3,71 | 3,76 | 3,82 | 3,87 | 3,93 | 3,98 | 4,04 | 120 |
| 130 | 4,10 | 4,16 | 4,22 | 4,27 | 4,33 | 4,39 | 4,45 | 4,52 | 4,58 | 4,64 | 130 |
| 140 | 4,70 | 4,76 | 4,83 | 4,89 | 4,95 | 5,02 | 5,08 | 5,15 | 5,22 | 5,28 | 140 |
| 150 | 5,35 | 5,42 | 5,48 | 5,55 | 5,62 | 5,69 | 5,76 | 5,83 | 5,90 | 5,97 | 150 |
| 160 | 6,04 | 6,12 | 6,19 | 6,26 | 6,34 | 6,41 | 6,48 | 6,56 | 6,63 | 6,71 | 160 |
| 170 | 6,79 | 6,86 | 6,94 | 7,02 | 7,09 | 7,17 | 7,25 | 7,33 | 7,41 | 7,49 | 170 |
| 180 | 7,57 | 7,65 | 7,73 | 7,82 | 7,90 | 7,98 | 8,07 | 8,15 | 8,24 | 8,32 | 180 |
| 190 | 8,40 | 8,49 | 8,58 | 8,66 | 8,75 | 8,84 | 8,93 | 9,02 | 9,10 | 9,19 | 190 |
| 200 | 9,28 | 9,37 | 9,47 | 9,56 | 9,65 | 9,74 | 9,83 | 9,92 | 10,02 | 10,11 | 200 |
| 210 | 10,21 | 10,30 | 10,40 | 10,49 | 10,59 | 10,69 | 10,78 | 10,88 | 10,98 | 11,08 | 210 |
| 220 | 11,18 | 11,27 | 11,38 | 11,48 | 11,57 | 11,68 | 11,78 | 11,88 | 11,98 | 12,09 | 220 |
| 230 | 12,19 | 12,27 | 12,40 | 12,50 | 12,61 | 12,73 | 12,82 | 12,93 | 13,03 | 13,14 | 230 |
| 240 | 13,25 | 13,26 | 13,47 | 13,52 | 13,59 | 13,60 | 13,71 | 14,02 | 14,13 | 14,25 | 240 |
| 250 | 14,35 | | | | | | | | | | |



Tensiones críticas del Regl. Francés (1956), DIN (1952) y Austriaco (1953).

Otro Investigador, que también trabajó en el campo real, fue Kari József, quien en 1937 presenta una teoría a fin de calcular la carga crítica en barras metálicas, que se funda en una serie de hipótesis simplificativas: adopta el diagrama de tensión-deformación de Prandtl, la deformada de la barra recta y excéntricamente cargada es una sinusoide, se admite como válida la teoría de Bernoulli y válida la ley de Hooke hasta la tensión de fluencia. Conduciendo el desarrollo de la teoría se llega a la siguiente expresión:

$$(14B) \lambda^2 = \frac{\pi^2 E}{\sigma_m} \left[1 - \frac{J_{sc}}{J_y} \frac{m \sigma_m}{G_F - \sigma_m} + \frac{m \sigma_m W_c C}{(G_F - \sigma_m) J_y} - S_{sc} \frac{(h_i - c)}{J_y} - \frac{m \sigma_m}{G_F - \sigma_m} \cdot \frac{W_c S_{sc}}{J_y F} \right]$$

dónde: σ_m = Tensión media.-

J_{sc} = Momento de Inercia de la zona plastificada.-

J_y = Momento de Inercia de la sección.-

c = Longitud de la zona plastificada.-

S_{sc} = Momento estático de la zona plastificada.-

G_F = Tensión de fluencia.-

h = Distancia del borde plastificado al baricentro.-

W_c = Momento resistente de compresión.-

e = Excentricidad.-

F = Superficie de la sección.-

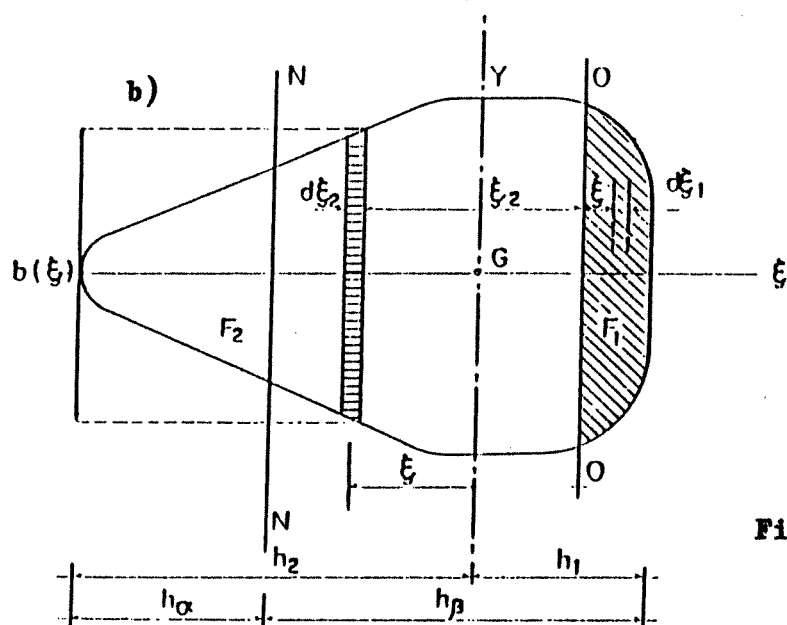
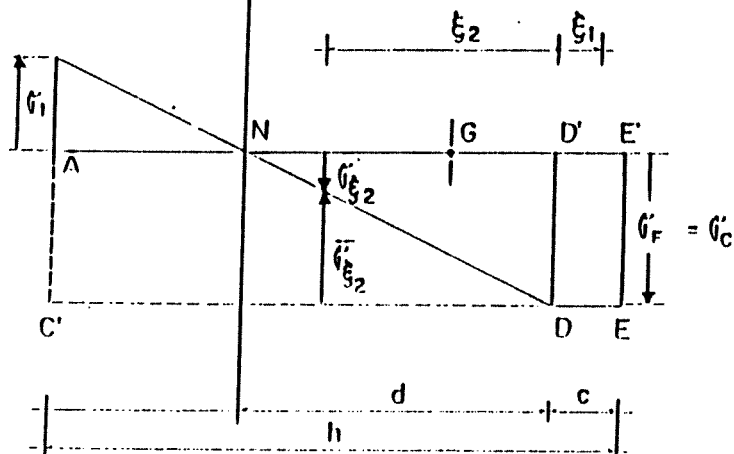
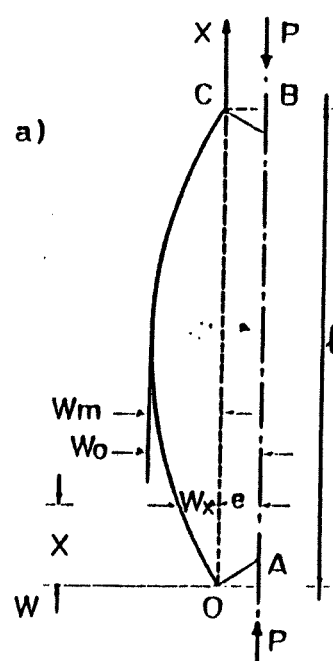


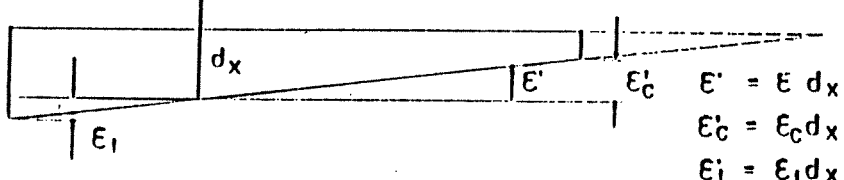
Fig. F₁



Esquema de carga de K. Jenek



$$P_H = f_G = P$$

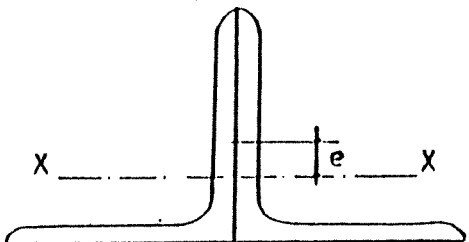


$$\begin{aligned} \epsilon'_c &= \epsilon dx \\ \epsilon'_c &= \epsilon_c dx \\ \epsilon_1 &= \epsilon_1 dx \end{aligned}$$

CONVENCIÓN EUROPEA DE LA CONSTRUCCIÓN METÁLICA / DIN 18800

y esta fórmula es válida para cualquier tipo de sección. El reglamento alemán (1952) aplica esta teoría a una sección compuesta por dos angulares de alas iguales (Figura F) con una excentricidad e igual a:

$$(49) e = \frac{i_x}{20} + \frac{l}{500} = i_x \left(\frac{1}{20} + \frac{\lambda}{500} \right)$$



y esto conduce a la expresión conocida:

Fig. F

$$(50) \lambda^2 = \frac{\pi^2 E}{\sigma_K} \left[1 - \frac{m \sigma_K}{\sigma_F - \sigma_K} + 0,25 \left(\frac{m \sigma_K}{\sigma_F - \sigma_K} \right)^2 - 0,005 \left(\frac{m \sigma_K}{\sigma_F - \sigma_K} \right)^3 \right]$$

y esta tensión crítica la toma como válida para cualquier tipo de sección, lo cual es muy desfavorable y corresponde a la a la norma DIN de 1952.-

En 1953 Klöppell realiza una serie de ensayos en Múnich constatando que la norma mencionada sobredimensiona la sección, pues la carga que destruye la barra son mayores que las que se determina en la fórmula anterior (50).-

Posteriormente Dutheil y Massonnet, también constatan mediante ensayos que las cargas críticas son mayores que las que se dan en los diversos reglamentos europeos. Debido a todo esto es que deciden los investigadores europeos organizar una reunión para cambiar opiniones y aunar criterios. En las primeras de ellas se dan cuenta que es muchísimo en lo que tienen que ponerse de acuerdo y debían por lo tanto reunirse en varias ocasiones más, en una palabra se va gestando el nacimiento de la Convención Europea de la Construcción Metálica.-

TABLA - ACERO ST 37

| λ | EULER σ_{K_i} Kg/cm^2 | ENGESSER Von Karman σ_K Kg/cm^2 | JEZEK σ_K Kg/cm^2 |
|-----------|---|--|---|
| 20 | 51815 | 2397 | 2023 |
| 25 | 33162 | 2394 | 1983 |
| 30 | 23029 | 2391 | 1941 |
| 35 | 16919 | 2387 | 1894 |
| 40 | 12954 | 2382 | 1845 |
| 45 | 10235 | 2375 | 1792 |
| 50 | 8290 | 2367 | 1737 |
| 55 | 6852 | 2357 | 1678 |

TABLA - ACERO ST 52

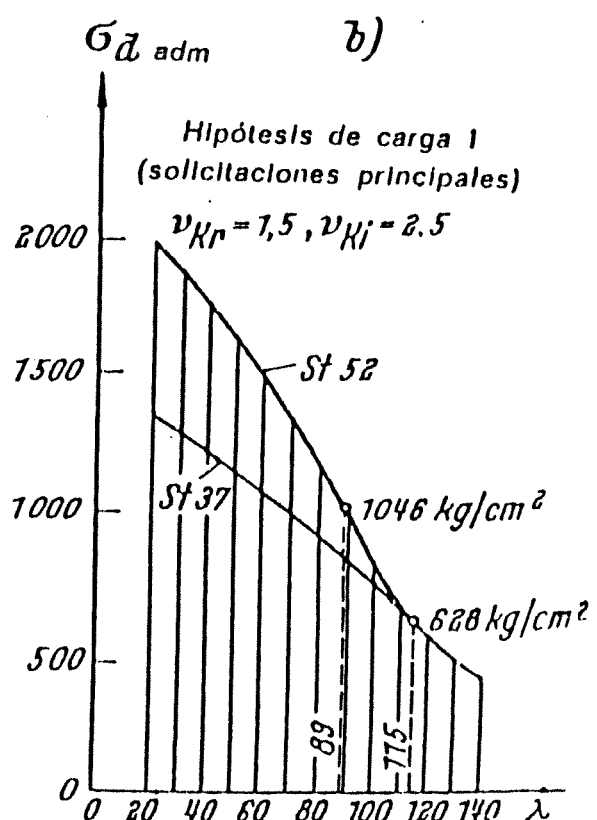
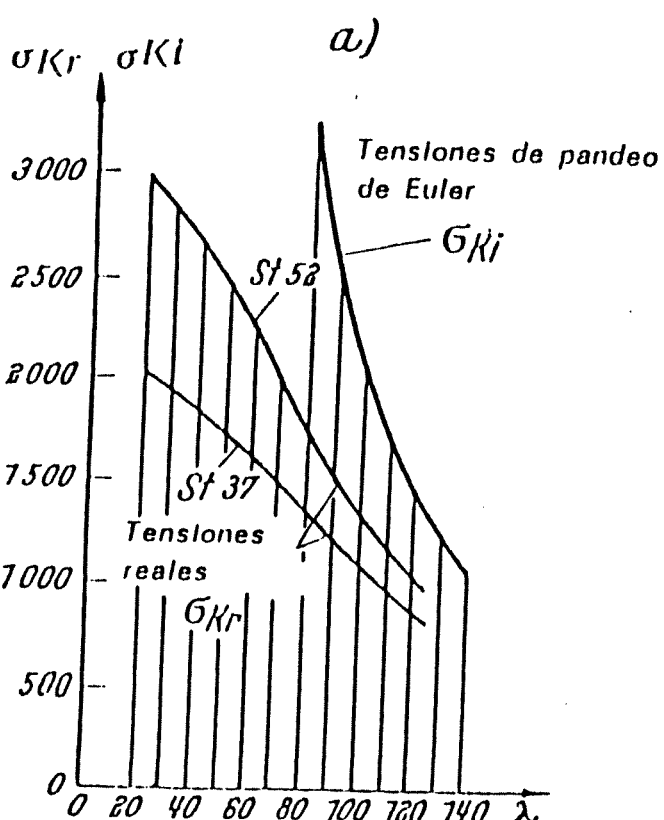
| λ | EULER σ_{K_i} Kg/cm^2 | ENGESSER Von Karman σ_K Kg/cm^2 | JEZEK σ_K Kg/cm^2 |
|-----------|---|--|---|
| 20 | 51815 | 3592 | 2975 |
| 25 | 33162 | 3580 | 2907 |
| 30 | 23029 | 3578 | 2832 |
| 35 | 16919 | 3567 | 2749 |
| 40 | 12954 | 3553 | 2659 |
| 45 | 10235 | 3535 | 2561 |
| 50 | 8290 | 3511 | 2456 |
| 55 | 6852 | 3479 | 2346 |

TABLA - ACERO ST 37 (cont.)

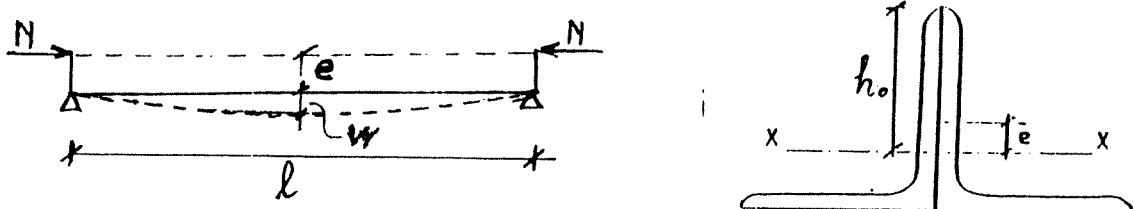
| λ | EULER σ_{K_i} kg/cm^2 | ENGESSER Von Karman σ_K kg/cm^2 | JEZEK σ_K kg/cm^2 |
|-----------|---|--|---|
| 60 | 5757 | 2344 | 1617 |
| 65 | 4906 | 2328 | 1554 |
| 70 | 4230 | 2309 | 1489 |
| 75 | 3685 | 2285 | 1424 |
| 80 | 3238 | 2255 | 1358 |
| 85 | 2869 | 2217 | 1293 |
| 90 | 2559 | 2170 | 1229 |
| 95 | 2297 | 2108 | 1167 |
| 100 | 2073 | 2024 | 1107 |
| 105 | 1880 | - | 1049 |
| 110 | 1713 | - | 994 |
| 114,84 | 1571,57 | - | 942,914 |
| 115 | 1567 | - | 941 |
| 120 | 1439 | - | 892 |
| 125 | 1326 | - | 845 |
| 130 | 1226 | - | 801 |

TABLA - ACERO ST 52 (cont.)

| λ | EULER σ_{K_i} kg/cm^2 | ENGESSER Von Karman σ_K kg/cm^2 | JEZEK σ_K kg/cm^2 |
|-----------|---|--|---|
| 60 | 5757 | 3439 | 2231 |
| 65 | 4906 | 3386 | 2113 |
| 70 | 4230 | 3317 | 1995 |
| 75 | 3685 | 3224 | 1877 |
| 80 | 3238 | 3093 | 1762 |
| 85 | 2869 | - | 1652 |
| 89 | 2617 | - | 1567 |
| 90 | 2559 | - | 1546 |
| 95 | 2297 | - | 1447 |
| 100 | 2073 | - | 1354 |
| 105 | 1880 | - | 1267 |
| 110 | 1713 | - | 1186 |
| 115 | 1567 | - | 1112 |
| 120 | 1439 | - | 1043 |
| 125 | 1326 | - | 979 |
| 130 | 1226 | - | 921 |



La norma austriaca ÖNORM (año 1953), empieza por suponer al igual que la DIN 4114, una barra de sección T, formada por dos angulares de alas iguales, con excentricidad e , que es muy desfavorable por su poca capacidad de carga (ver fig.)



Planteando el problema como una flexocompresión, se llega a:

$$W'' + k^2 W = -k^2 \frac{M_{ox}}{N} \quad k^2 = \frac{N}{EI}$$

siendo M_{ox} el momento de primer orden, y la solución de esta ecuación es:

$$W = A \sin kx + B \cos kx - \frac{M_{ox}}{N} + \frac{M''_{ox}}{Nk^2} - \frac{M^{IV}_{ox}}{Nk^4} + \dots$$

y aplicado esto a nuestro caso, se llega a:

$$W = A \sin kx + B \cos kx - e$$

y con las condiciones de borde, queda finalmente:

$$W = \left\{ \tan \frac{kl}{2} \cdot \sin \frac{kl}{2} + \cos \frac{kl}{2} - 1 \right\} e$$

$$W_{max} = \left\{ \tan \frac{kl}{2} \sin \frac{kl}{2} + \cos \frac{kl}{2} - 1 \right\} e = e \left\{ \frac{1 - \cos \frac{kl}{2}}{\sin \frac{kl}{2}} \right\}$$

y siguiendo a Timoshenko queda:

$$W_t = W_{max} + e = \frac{e}{\cos \frac{kl}{2}} = \frac{e}{\cos \frac{l}{2} \sqrt{\frac{N}{EI}}} = \frac{e}{\cos \frac{\lambda}{2} \sqrt{\frac{G}{E}}}$$

La máxima tensión en el borde será:

$$\sigma_{max} = \frac{N}{A} + \frac{M_{max} \cdot l_0}{I} = \frac{N}{A} + \frac{N \cdot e}{I \cos \frac{\lambda}{2} \sqrt{\frac{G}{E}}} l_0$$

con $I = A \cdot i^2$

$$\Gamma_{max} = \frac{N}{A} + \frac{N \cdot e \cdot h}{A i^2 \cos \frac{\lambda}{2} \sqrt{\frac{G}{E}}} = \frac{N}{A} \left[1 + \frac{e \cdot h}{i^2 \cos \frac{\lambda}{2} \sqrt{\frac{G}{E}}} \right]$$

multiplicando y dividiendo por ℓ y suponiendo

$$\frac{e}{\ell} = \frac{1}{1000}$$

y para el tipo de perfil considerado $h_0/i = 2,65$

$$\therefore \frac{a}{\ell} \cdot \frac{h_0}{i} = 0,00265$$

quedando la ecuación:

$$\Gamma_{max} = \frac{N}{A} \left[1 + 0,00265 \lambda \cdot \frac{1}{\cos \frac{\lambda}{2} \sqrt{\frac{G}{E}}} \right]$$

A esta ecuación se le hace cumplir la condición de que la fibra más exigida alcance la tensión de fluencia

$$\Gamma_F = \frac{N}{A} \left[1 + 0,00265 \lambda \cdot \frac{1}{\cos \frac{\lambda}{2} \sqrt{\frac{N}{EA}}} \right] \quad \text{o} \quad \frac{N}{A} \left[1 + 0,00265 \lambda \cdot \frac{1}{\cos \frac{\lambda}{2} \sqrt{\frac{N}{EA}}} \right] - \Gamma_F = 0$$

A la carga N se la toma como carga de pandeo o también $N/A = \Gamma_k$ tensión crítica. En el gráfico pueden verse las curvas críticas para aceros ST37, ST44 y ST52. Con respecto a la tensión admisible de pandeo, la ÖNORM sigue el mismo camino que la DIN 4114, las tensiones críticas que provienen de la fórmula se la divide por un coeficiente γ de seguridad y las Γ_{ki} ideales de Euler por $\Gamma_{ki} = 2,5$, tomando como tensión crítica la menor de las dos. Para un determinado valor de γ se igualan las tensiones admisibles, quedando dividido el campo en dos partes: zona plástica y zona elástica.

| | | |
|-------------------------|------|--|
| Para cargas principales | ST37 | $\Gamma_F \geq 2.220 \text{ Kg/cm}^2$ |
| | | $\Gamma_{adm} = 1.400 \text{ Kg/cm}^2$ |
| | ST44 | $\gamma = \frac{2.220}{1.400} = 1,586$ |
| | | $\Gamma_F \geq 2.640 \text{ Kg/cm}^2$ |
| | | $\Gamma_{adm} = 1.680 \text{ Kg/cm}^2$ |
| | | $\gamma = \frac{2.640}{1.680} = 1,571$ |

$$\left. \begin{array}{l} \sigma_F \geq 3.300 \text{ Kg/cm}^2 \\ \sigma_{adm} = 2.100 \text{ Kg/cm}^2 \\ \gamma = \frac{3.300}{2.100} = 1,57 \end{array} \right\} ST52$$

$$\left. \begin{array}{l} \sigma_F \geq 2.220 \text{ Kg/cm}^2 \\ \sigma_{adm} = 1,15 \times 1.400 = 1.610 \text{ Kg/cm}^2 \\ \gamma = \frac{1.586}{1,15} = 1,379 \end{array} \right\} ST37$$

$$\left. \begin{array}{l} \sigma_F \geq 2.640 \text{ Kg/cm}^2 \\ \sigma_{adm} = 1,15 \times 1.680 = 1932 \text{ Kg/cm}^2 \\ \gamma = \frac{1.571}{1,15} = 1,366 \end{array} \right\} ST44$$

$$\left. \begin{array}{l} \sigma_F \geq 3.300 \text{ Kg/cm}^2 \\ \sigma_{adm} = 1,15 \times 2.100 = 2.415 \text{ Kg/cm}^2 \\ \gamma = \frac{3.300}{2.415} = 1,366 \end{array} \right\} ST52$$

Para cargas principales
y accidentales

En acero ST37 la división esta dada para un valor de $\lambda = 105,87$, para acero ST44 en $\lambda = 93,585$ y para acero ST52 en $\lambda = 81,261$. A continuación puede verse la tabla con tensiones críticas y admisibles.

$$\omega = \frac{\sigma_{adm}}{\sigma_F}$$

TABLA - ÖNORM (año 1953) - ACERO ST37

| | EULER \bar{U}_K Kg/cm ² | ÖNORM \bar{U}_K Kg/cm ² | \bar{U}_{adm} cargas I | \bar{U}_{adm} cargas II | ω |
|--------|---|---|-----------------------------|------------------------------|----------|
| 10 | 207262 | 2162 | 1363 | 1568 | 1,03 |
| 15 | 92116 | 2133 | 1345 | 1546 | 1,04 |
| 20 | 51815 | 2103 | 1326 | 1525 | 1,06 |
| 25 | 33162 | 2071 | 1306 | 1502 | 1,07 |
| 30 | 23029 | 2038 | 1285 | 1478 | 1,09 |
| 35 | 16919 | 2003 | 1263 | 1453 | 1,11 |
| 40 | 12954 | 1965 | 1239 | 1425 | 1,13 |
| 45 | 10235 | 1925 | 1213 | 1396 | 1,15 |
| 50 | 8290 | 1880 | 1185 | 1363 | 1,18 |
| 55 | 6852 | 1832 | 1155 | 1328 | 1,21 |
| 60 | 5757 | 1780 | 1122 | 1290 | 1,25 |
| 65 | 4906 | 1733 | 1093 | 1257 | 1,28 |
| 70 | 4230 | 1662 | 1048 | 1206 | 1,34 |
| 75 | 3685 | 1598 | 1008 | 1159 | 1,39 |
| 80 | 3238 | 1531 | 965 | 1110 | 1,45 |
| 85 | 2869 | 1462 | 922 | 1060 | 1,52 |
| 90 | 2559 | 1392 | 878 | 1009 | 1,60 |
| 95 | 2297 | 1321 | 833 | 958 | 1,68 |
| 100 | 2073 | 1252 | 789 | 908 | 1,77 |
| 105 | 1880 | 1185 | 747 | 859 | 1,87 |
| 105,87 | 1849 | 1173 | 740 | 850 | 1,89 |
| 110 | 1713 | 1119 | 685 | 788 | 2,04 |
| 115 | 1567 | 1057 | 627 | 721 | 2,23 |
| 120 | 1439 | 998 | 576 | 662 | 2,43 |
| 125 | 1326 | 942 | 531 | 610 | 2,64 |
| 130 | 1226 | 890 | 491 | 564 | 2,85 |
| 135 | 1137 | 841 | 455 | 523 | 3,08 |
| 140 | 1057 | 795 | 423 | 486 | 3,31 |
| 145 | 986 | 753 | 394 | 453 | 3,55 |
| 150 | 921 | 713 | 368 | 424 | 3,80 |

TABLA - ÖNORM (año 1953) - ACERO ST44

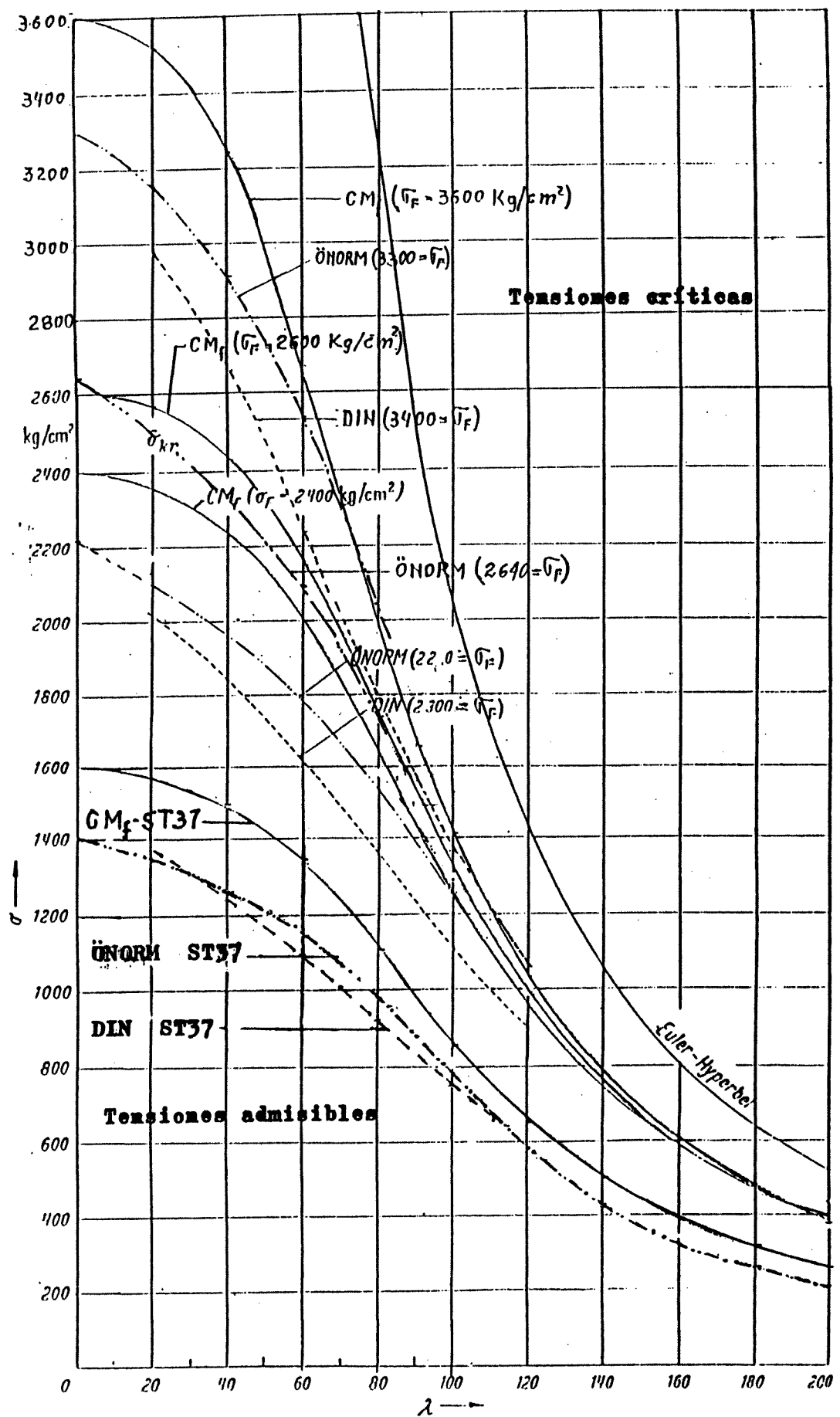
| | EULER \bar{U}_K Kg/cm ² | ÖNORM \bar{U}_K Kg/cm ² | \bar{U}_{adm} cargas I | \bar{U}_{adm} cargas II | ω |
|----|---|---|-----------------------------|------------------------------|----------|
| 10 | 207262 | 2571 | 1636 | 1882 | 1,03 |
| 15 | 92116 | 2536 | 1614 | 1856 | 1,04 |
| 20 | 51815 | 2499 | 1591 | 1829 | 1,06 |
| 25 | 33162 | 2461 | 1566 | 1801 | 1,07 |
| 30 | 23029 | 2420 | 1540 | 1771 | 1,09 |
| 35 | 16919 | 2375 | 1512 | 1739 | 1,11 |
| 40 | 12954 | 2326 | 1481 | 1703 | 1,13 |
| 45 | 10235 | 2273 | 1447 | 1664 | 1,16 |
| 50 | 8290 | 2214 | 1409 | 1621 | 1,19 |
| 55 | 6852 | 2149 | 1368 | 1573 | 1,23 |
| 60 | 5757 | 2077 | 1322 | 1521 | 1,27 |
| 65 | 4906 | 2000 | 1273 | 1464 | 1,32 |
| 70 | 4230 | 1916 | 1220 | 1403 | 1,38 |
| 75 | 3685 | 1828 | 1164 | 1339 | 1,44 |

CONVENCIÓN EUROPEA DE LA CONSTRUCCIÓN METALICA / DIN 18800

| | | | | | |
|--------|--------|--------|------|------|------|
| 80 | 3238 | 1737 | 1106 | 1272 | 1,52 |
| 85 | 2869 | 1645 | 1047 | 1204 | 1,60 |
| 90 | 2559 | 1552 | 988 | 1136 | 1,70 |
| 93,585 | 2366,5 | 1487,1 | 947 | 1089 | 1,77 |
| 95 | 2297 | 1462 | 919 | 1056 | 1,83 |
| 100 | 2073 | 1374 | 829 | 953 | 2,03 |
| 105 | 1880 | 1291 | 752 | 865 | 2,23 |
| 110 | 1713 | 1211 | 685 | 788 | 2,45 |
| 115 | 1567 | 1137 | 627 | 721 | 2,68 |
| 120 | 1439 | 1068 | 576 | 662 | 2,92 |
| 125 | 1326 | 1004 | 531 | 610 | 3,17 |
| 130 | 1226 | 944 | 491 | 564 | 3,45 |
| 135 | 1137 | 888 | 455 | 523 | 3,72 |
| 140 | 1057 | 837 | 423 | 486 | 4,00 |
| 145 | 986 | 790 | 394 | 453 | 4,26 |
| 150 | 921 | 746 | 368 | 424 | 4,56 |

TABLA - ONORM (año 1953) - ACERO ST52

| | EULER Kg/cm | ONORM Kg/cm | cargas I | cargas II | |
|--------|----------------|----------------|----------|-----------|------|
| 10 | 207262 | 3213 | 2045 | 2352 | 1,03 |
| 15 | 92116 | 3169 | 2017 | 2319 | 1,04 |
| 20 | 51819 | 3121 | 1987 | 2285 | 1,06 |
| 25 | 33162 | 3071 | 1955 | 2248 | 1,07 |
| 30 | 23029 | 3016 | 1919 | 2207 | 1,09 |
| 35 | 16919 | 2954 | 1880 | 2162 | 1,12 |
| 40 | 12954 | 2885 | 1837 | 2112 | 1,14 |
| 45 | 10235 | 2808 | 1787 | 2055 | 1,17 |
| 50 | 8290 | 2720 | 1732 | 1991 | 1,21 |
| 55 | 6852 | 2622 | 1669 | 1920 | 1,26 |
| 60 | 5757 | 2513 | 1600 | 1840 | 1,31 |
| 65 | 4906 | 2395 | 1524 | 1753 | 1,38 |
| 70 | 4230 | 2269 | 1444 | 1661 | 1,45 |
| 75 | 3685 | 2138 | 1361 | 1565 | 1,54 |
| 80 | 3238 | 2006 | 1277 | 1468 | 1,65 |
| 81,261 | 3138,735 | 1972,32 | 1255,5 | 1443,86 | 1,67 |
| 85 | 2869 | 1875 | 1147 | 1320 | 1,83 |
| 90 | 2559 | 1749 | 1024 | 1177 | 2,05 |
| 95 | 2297 | 1629 | 919 | 1056 | 2,29 |
| 100 | 2073 | 1516 | 829 | 953 | 2,53 |
| 105 | 1880 | 1412 | 752 | 865 | 2,79 |
| 110 | 1713 | 1315 | 685 | 788 | 3,06 |
| 115 | 1567 | 1226 | 627 | 721 | 3,35 |
| 120 | 1439 | 1145 | 576 | 662 | 3,65 |
| 125 | 1326 | 1070 | 531 | 610 | 3,96 |
| 130 | 1226 | 1002 | 491 | 564 | 4,28 |
| 135 | 1137 | 940 | 455 | 523 | 4,62 |
| 140 | 1057 | 882 | 423 | 486 | 4,96 |
| 145 | 986 | 830 | 394 | 453 | 5,33 |
| 150 | 921 | 782 | 368 | 424 | 5,70 |



CONVENTION EUROPEA DE LA CONSTRUCCION METALICA \ DIN 18800

La reglamentación americana AISC después de analizar el problema, llega a las siguientes consideraciones (año 1961):

$$\text{Pandeo en zona elástica (I)} \quad \sigma_K = \frac{\pi^2 E}{\lambda^2}$$

Pandeo en zona elastoplástica

$$(II) \sigma_K = \sigma_F - \frac{\sigma_{RC}}{\pi^2 E} (\sigma_F - \sigma_{RC}) \lambda^2$$

σ_{RC} = Tensión residual de compresión

σ_F = Tensión de fluencia

Tomando $\sigma_{RC} = \sigma_F/2$, se obtienen buenos resultados en perfiles laminados doble T de alas cortas y anchas, llegándose a la transformación de (II) en:

$$(III) \sigma_K = \sigma_F - \frac{\sigma_F^2}{4\pi^2 E} \lambda^2$$

y esta curva es tangente a la de Euler en un punto determinado.-

La ecuación (I) sólo es aplicable cuando:

$$(IV) \sigma_K = \frac{\pi^2 E}{\lambda^2} \leq \sigma_p$$

$$(V) \lambda \geq \sqrt{\frac{\pi^2 E}{\sigma_p}}$$

σ_p = Tensión de proporcionalidad, es decir donde termina la parte recta en el diagrama tensión deformación.-

La norma americana supone $\sigma_{RC} = \sigma_F/2$ y entonces $\sigma_p = \sigma_F - \sigma_{RC} = \sigma_F/2$, luego la ecuación (I) es aplicable a barras con esbeltez mayor que :

$$(VI) \lambda = \sqrt{\frac{2\pi^2 E}{\sigma_F}} = C_c$$

y la ecuación (III) puede transformarse en :

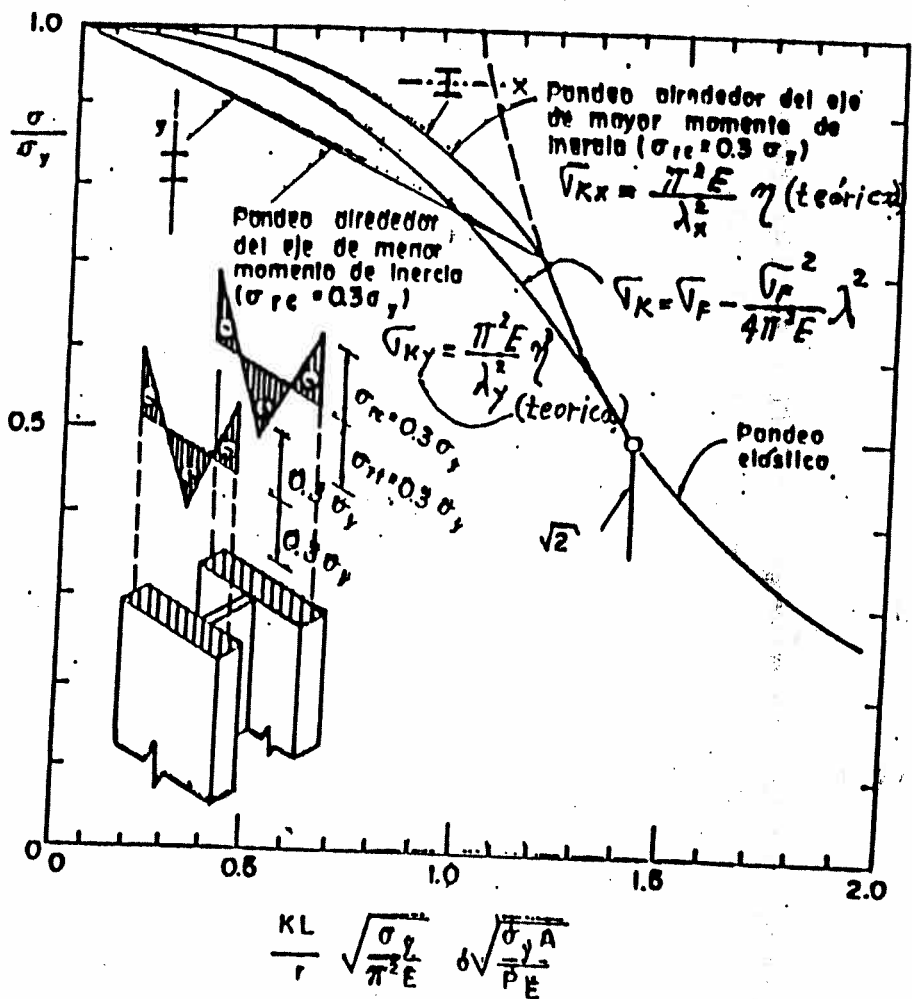
$$(VII) \sigma_K = \sigma_F \left[1 - \frac{\sigma_F}{4\pi^2 E} \lambda^2 \right] = \sigma_F \left[1 - \frac{\lambda^2}{2 \frac{2\pi^2 E}{\sigma_F}} \right] = \sigma_F \left[1 - \frac{\lambda^2}{2 C_c^2} \right]$$

Esta tensión crítica (VII), debe tener un coeficiente de seguridad (c.s.), que en periodo plástico es:

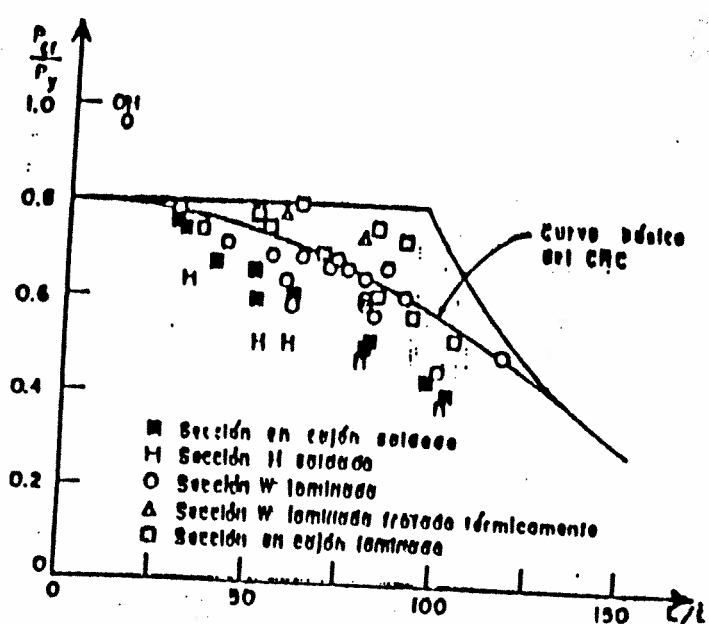
$$C.S. = \frac{5}{3} + \frac{3\lambda}{8C_c} - \frac{\lambda^3}{8C_c^3}$$

la norma lo adopta variable y vale 1,67 para $\lambda=0$ y 1,92 para

$\lambda = C_c$ y en la zona elástica se conserva constante = 1,92.-
 Todo lo que se ha visto anteriormente, no tiene un estudio estadístico de probabilidades de que realmente se produzca.-



Curvas esfuerzo crítico-rección de esbeltez para una columna I con esfuerzos residuales



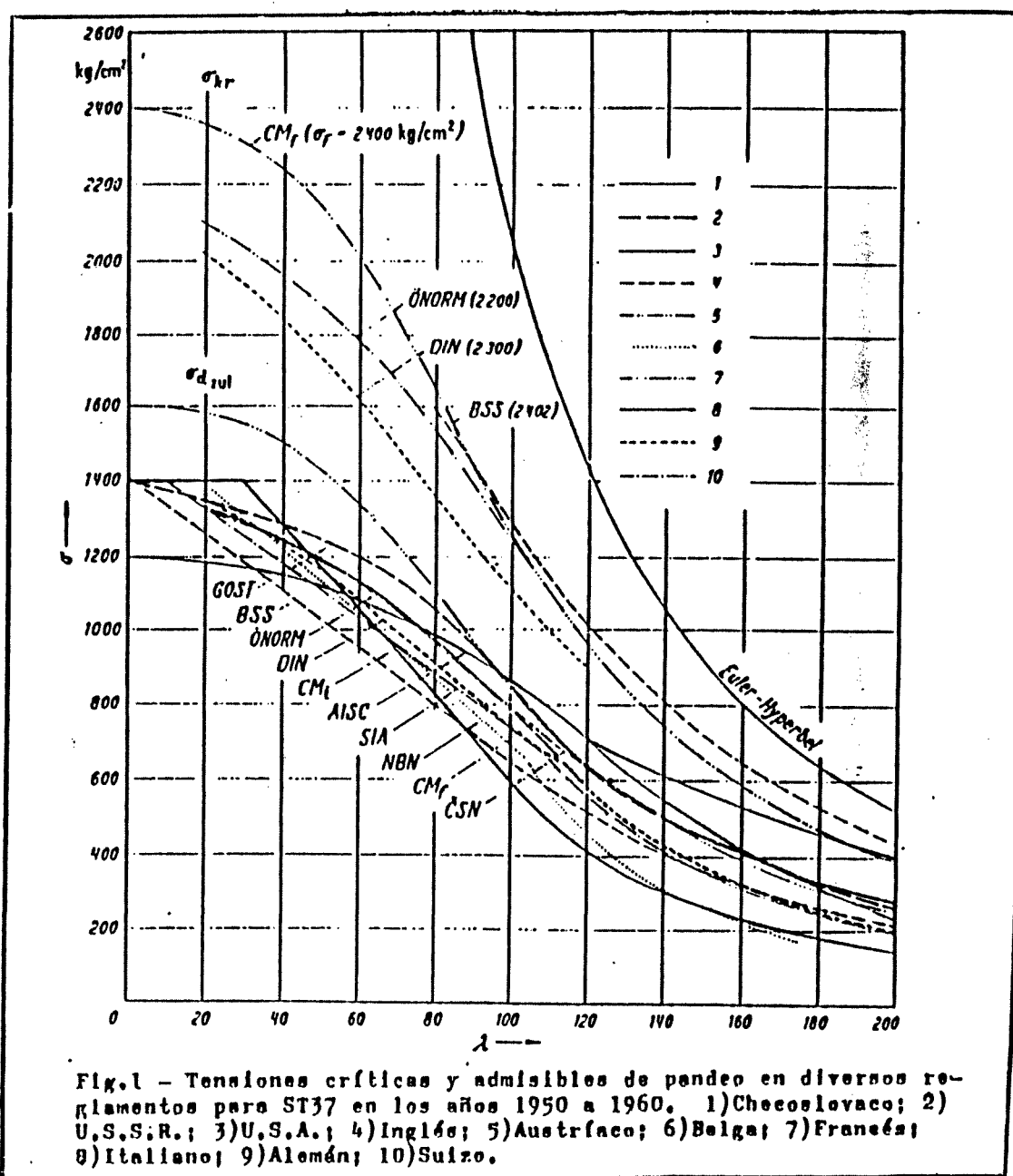
Comparación de resultados experimentales con la ecua.
 clón III o VII

CAPITULO 2: NUEVO ESTUDIO DEL PANDEO EN EL CAMPO REAL.

2.1.-La Barrá Articulada:

Desde su creación en 1955, La Convención Europea de la Construcción Metálica, tiene como meta primordial trabajar para los progresos técnicos de la profesión. Es así que marca su primer objetivo y constituye la Comisión nº1 denominada "Normas y Reglamentos Técnicos", con la misión de elaborar las "Recomendaciones Europeas para el Cálculo y la Realización de Construcciones Metálicas".-

El caso más sencillo como es el de la barra biarticulada, no tenía una solución totalmente satisfactoria, y por otro lado la gran disparidad de criterios utilizadas en las diversas normas de los países europeos (Figura 1 y Tabla 1) hacía imposible uniformar las aproximaciones utilizadas para encontrar una respuesta al problema mencionado.-



Es por ello que la Comisión número 8 "Problemas de Instabilidad", presidida por el profesor Hermann Beer, decide encarar el problema organizando una gran campaña de ensayos de laboratorio y establecer al mismo tiempo un estudio teórico del fenómeno pandeo, basado en modelos matemáticos o de simulación numérica. Nace dentro de la misma, la subcomisión 8.1 "Estudio Experimental de Pandeo" con la dirección del profesor D. Sfintescu.-

Lo que se busca es establecer curvas de pandeo, en función de la esbeltez y la tensión crítica, y para ello se ha tenido en cuenta la influencia de la forma de la sección transversal del perfil y su proceso de fabricación. Miles de ensayos realizados durante 10 años, que luego fueron confrontados con los resultados del programa de simulación numérica, ejecutados en siete países: Alemania Occidental; Bélgica; Francia; Gran Bretaña; Italia; Holanda y Yugoslavia.- Estos ensayos fueron sobre barras cargadas centradalemente, con secciones de formas diferentes con imperfecciones tanto geométricas como estructurales.-

TABLA N°1.-

| | Tensión crítica de pandeo | Tensión admisible kg/cm ² | Seguridad | σ_r kg/cm ² |
|--|---|---|------------------|-------------------------------|
| DIN 4114 (1951) Alemán | $\lambda^2 = \frac{\pi^2 E}{\sigma_{kr}} \left[1 - \frac{m \sigma_{kr}}{\sigma_r - \sigma_{kr}} + 0,26 \left(\frac{m \sigma_{kr}}{\sigma_r - \sigma_{kr}} \right)^2 - 0,005 \left(\frac{m \sigma_{kr}}{\sigma_r - \sigma_{kr}} \right)^3 \right]$ $m = 2,017 \left(0,05 + \frac{\lambda}{600} \right)$ $\sigma_x = \frac{\pi^2 E}{\lambda^2} \quad \epsilon = \frac{1}{20} + \frac{1}{600}$ | $\sigma_{adm} = \frac{\sigma_{kr}}{v_{kr}}$ | $v_{kr} = 1,5$ | 2300 |
| | | $\sigma_{adm} = \frac{\sigma_r}{v_r}$ | $v_r = 2,5$ | |
| ÖNORM B 4000/4 (1960) Austriaco | $\sigma_r = \sigma_{kr} \left[1 + 0,00205 \lambda \operatorname{sen} \left(\frac{\lambda}{2} \sqrt{\frac{\sigma_{kr}}{E}} \right) \right]$ $m = 0,00205 \lambda \quad \epsilon = \frac{1}{1000}$ $\sigma_x = \frac{\pi^2 E}{\lambda^2} \quad E = 2100000 \text{ kp/mm}^2$ | $\sigma_{adm} = \frac{\sigma_{kr}}{v_{kr}}$ | $v_{kr} = 1,680$ | 2220 |
| | | $\sigma_{adm} = \frac{\sigma_r}{v_r}$ | $v_r = 2,5$ | |
| SIA No. 102 (1968) Suizo | | $10 < \lambda < 110$ $\sigma_{adm} = 1480 - 7,6 \lambda$ | | 2400 |
| | $\sigma_x = \frac{\pi^2 E}{\lambda^2}$ | $\lambda > 110$ $\sigma_{adm} = \frac{8 \cdot 10^4}{\lambda^2}$ | $v_r = 2,59$ | |
| CM (1966) Italiano | | $80 < \lambda < 101$ $\sigma_{adm} = 1740 - 11,54 \lambda$ | | |
| | $\sigma_x = \frac{\pi^2 E}{\lambda^2}$ | $\lambda > 110$ $\sigma_{adm} = \frac{692,18 \times 10^4}{\lambda^2}$ | $v_r = 2,5$ | |
| NUN 6 (1952) Belga | | $\lambda \leq 20$ $\sigma_{adm} = 1400$ $20 < \lambda \leq 105$ $\sigma_{adm} = 1670,4 - 0,02 \lambda$ $105 < \lambda < 176$ $\sigma_{adm} = \frac{2122 \times 10^4}{(1,610 + 0,0142 \lambda) \lambda^2}$ | | 2102 |
| | | | | |
| BSS 418 (1948) Inglés | $\sigma_x = \frac{\pi^2 E}{\lambda^2}; \quad E = 2017000 \text{ kp/mm}^2$ $\sigma_{kr} = \frac{\sigma_r + (1+m) \sigma_x}{2}$ $- \sqrt{\left[\frac{\sigma_r + (1+m) \sigma_x}{2} \right]^2 - \sigma_x \sigma_r}$ $m = 0,008 \lambda$ | $\lambda < 80$ <i>Girault</i> ($\lambda \approx 0$, $\sigma_{adm} = 0,69 \sigma_r$) | | |
| | | $\lambda > 80$ $\sigma_{adm} = \frac{\sigma_{kr}}{v_{kr}}$ | $v_{kr} = 2$ | |

continuación TABLA Nº1

| | | | | |
|----------------------|--|--|--|----------------------------------|
| Règles CM, (1988) | $\sigma_{br} = \frac{1,0 \sigma_r + \sigma_s}{2} \sqrt{\left[\frac{1,0 \sigma_r + \sigma_s}{2} \right]^2 - \sigma_s \sigma_r}$ $m = \frac{0,0 \sigma_r}{\sigma_s} = \frac{0,0 \sigma_r \lambda^2}{\pi^2 E} = 0,048 \times 10^{-4} \lambda^2$ $\sigma_s = \frac{\pi^2 E}{\lambda^2} \quad E = 2100000 \text{ kp/mm}^2$ | $\sigma_{d, \text{ult}} = \frac{\sigma_{br}}{r_{br}}$ | $r_{br} = 1,6$ | 2100 |
| CSN 060110 (1949) | $\sigma_{br} = \frac{\sigma_s(1+m) + \sigma_r}{1-0,204m} \quad m = 0,0026\lambda$ $\sigma_s = \frac{\pi^2 E}{\lambda^2} \quad t = \frac{1}{700}$ | $\sigma_{d, \text{ult}} = \frac{\sigma_{br}}{r_{br}}$ | $r_{br} = \frac{\sigma_r}{\sigma_{d, \text{ult}}} = 1,042$ | 2300 |
| Cheskoslovaca (1948) | | $\lambda < 120$ $\sigma_{d, \text{ult}} = 1105 - 0,034\lambda^2$ $\lambda > 120$ Bekannter Druckstab $\sigma_{d, \text{ult}} = \frac{1205,4}{t + \frac{4t}{16000}}$ Primär Druckstab $\sigma_{d, \text{ult}} = \left(1,0 - \frac{\lambda}{200} \right) \frac{1205,4}{t + \frac{4t}{16000}}$ | | $\sigma_r = 0,6 \sigma_s > 2320$ |
| AISC (1948) | | | | |

Las barras destinadas a los ensayos fueron tomadas al azar y de la producción de esos países, como si ellas fueran a emplearse en la construcción real, además el programa se ha basado sobre una gama de esbelteces auténticamente prácticas y con el fin de limitar el número de ensayos, la influencia de la esbeltez ha sido estudiada para cada perfil por cada tipo de sección, mientras que el estudio de la influencia de la forma de la sección, se basaba solamente sobre diversos tipos de barras de variadas esbelteces.-

El modelo matemático, suponía una imperfección geométrica introducida en una deformación senoidal de amplitud 1/1000 de la longitud de la barra, siendo éste un valor desfavorable de imperfecciones inevitables de fabricación y fue confirmado por las medidas sobre piezas ensayadas y diversos elementos realmente existentes. Esta simulación corresponde a imperfecciones constructivas admitidas por los países europeos.-

Otro defecto de la barra, es el de puesta en carga, por la introducción de una excentricidad de aquella con relación al eje de la barra, pero un estudio comparativo ha revelado que una preflecha de 1/1000 de la longitud, cubre con seguridad las excentricidades accidentales de puesta en carga en el campo de las medianas y grandes esbelteces. En el campo de las pequeñas esbelteces se las desprecia, pues el límite de fluencia de cálculo se ha tomado con mucha prudencia.-

Las imperfecciones estructurales están constituidas por las tensiones residuales debidas al laminado, al trafileado, al soldado y al estirado en frío, así como a la dispersión de los valores del límite de fluencia del material en frío y a la

variación de los valores del mismo en el interior de una sección recta. Se han realizado mediciones experimentales, estableciéndose la distribución y valores realistas de estas tensiones residuales y el modelo matemático consideró estas tensiones características en cada tipo de perfil (Figura 6). Compróbase además que las tensiones residuales influencian la capacidad portante, más que la variación del límite de fluencia en la sección, y como el elemento determinante para definir el límite de fluencia de los perfiles laminados está constituido por las alas, la influencia de la dispersión no se tomó en cuenta.-

Con lo anteriormente expuesto, la determinación de la capacidad portante de una barra solicitada axialmente, presentando las imperfecciones expuestas, desemboca en un problema de estabilidad dominado por el límite de fluencia. Al estado límite de capacidad portante se llega cuando la plastificación es tal que, para toda carga suplementaria, no se puede establecer un estado de equilibrio entre fuerzas exteriores e interiores, estableciéndose un pandeo por divergencia de equilibrio.-

El estudio del modelo matemático (o ecuación matemática) que resuelve el problema, estuvo a cargo de Hermann Beer y Gerald Schulz, quienes posteriormente establecieron un programa para un ordenador, que sirvió para simular el pandeo y resolver las ecuaciones que definen la carga crítica de la barra, teniendo en cuenta todas las imperfecciones. Se realizaron tantos ensayos de laboratorio como de simulación por computadora, obteniéndose una corroboración de los resultados, y se puede discutir indefinidamente, sobre si los ensayos estaban destinados a respaldar los resultados obtenidos por vía numérica a base de simulación, o por el contrario estos últimos tenían por fin asegurar la continuidad de las leyes a deducir de las experiencias. Poco importa aportar una respuesta a esta duda, lo importante es que se está en presencia de un método útil de simulación y que se dispone de un número considerable de resultados experimentales de laboratorio que proceden de una gran variedad de muestras (probetas).-

Con los resultados de los ensayos de laboratorio, se buscó la tensión crítica característica de pandeo, y esto resultó de la interpretación estadística de esos resultados, que fueron calculados de la siguiente manera:

$$(51) \bar{U}_K = \bar{U}_{Km} - 2S$$

siendo \bar{U}_{Km} la resistencia crítica media y cuyo valor se obtiene como:

$$(52) \bar{U}_{Km} = \frac{\bar{U}_{K1} + \bar{U}_{K2} + \bar{U}_{K3} + \dots + \bar{U}_{Kn}}{n}$$

y S es la desviación normal, cuyo cálculo es:

$$(53) S = \sqrt{\frac{\sum (\bar{U}_{Ki} - \bar{U}_{Km})^2}{n-1}}$$

n : es el número de ensayos y cuando éste es mayor de 30, podrá

CONVENTION EUROPEA DE LA CONSTRUCCION METALICA \ DIN 18800

ponerse n en lugar de (n-1).-

$\bar{\sigma}_k$ Tensión crítica característica de pandeo, y considerando que los resultados de los ensayos mencionados se distribuyen de acuerdo a una curva estadística normal, este valor es el que corresponde a la probabilidad de que el 98% de los resultados obtenidos superen este valor.-

Lo que se busca no es la adopción de curvas de pandeo dimensionales en función de ($\bar{\sigma}_k, \lambda$), pues esto obligaría a tener que adoptar curvas para cada calidad de acero; sino la adopción de curvas adimensionales en función de ($\bar{N}, \bar{\lambda}$) y que puedan ser utilizadas para diferentes calidades de aceros, en intervalos determinados con respecto a la calidad. Para llegar a la forma adimensional se deben establecer los siguientes valores:

E = Módulo de Elasticidad.-

G = Módulo Transversal.-

$\bar{\sigma}_f$ = Límite de Fluencia.-

μ = Módulo de Poisson.-

A = Superficie de la Barra.-

W = Momento Resistente Elástico.-

W_p = Momento Resistente Plástico.-

I = Momento de Inercia.-

i = $\sqrt{(I/A)}$ Radio de Giro.-

Siendo estos valores los que identifican al material, los que identifican a la barra se detallan a continuación:

l = Longitud de la Barra.-

ℓ_k = Longitud Crítica.-

$\lambda = \ell_k / i$ Esbeltez de la Barra.-

$\lambda_s = \lambda_f = \pi \sqrt{E / \sigma_f}$ Grado de Esbeltez de Referencia.-

$\bar{\lambda} = \lambda / \lambda_s = \sqrt{N_{pl}/N_{ki}} = \sqrt{\sigma_f/\sigma_{ki}}$ Grado de Esbeltez Referido.-

N_{pl} = A σ_f Fuerza Longitudinal Plástica.-

N_{ki} = Carga Crítica Ideal de Euler.-

$\sigma_{ki} = N_{ki}/A$ Tensión Crítica Ideal de Euler.-

$\bar{N} = \sigma_k/\sigma_f$ Coeficiente o Factor Adimensional de Reducción.-

2.2.-ESTUDIO DE LAS DIVERSAS INFLUENCIAS EJERCIDAS POR LAS IMPERFECCIONES.-

2.2.1 Tensiones Residuales:

El estudio fue realizado por Hermann Beer y Gerald Schulz con ecuaciones matemáticas complejas cuyos resultados se extraían de una computadora, y para representar estos resultados se utiliza el diagrama de (N, λ) , significando esto que la carga de pandeo N_k es relacionada a la carga de fluencia $N_f = \sigma_f A$; la esbeltez λ es relacionada a la esbeltez de fluencia que corresponde a la fórmula de Euler: $\lambda_f = \pi \sqrt{E / \sigma_f}$

obteniéndose $\bar{\lambda} = \lambda / \lambda_f$ y los estudios demuestran que el cálculo de la carga de pandeo o tensión de pandeo queda así entre límites ciertos y son sensiblemente independientes de la tensión de fluencia y en consecuencia de la calidad del acero, es decir los errores que pueden cometerse entre determinados intervalos de tensiones de fluencia son despreciados.-

Como hipótesis de imperfecciones geométricas se adoptan preflechas de $\ell/500$ a $\ell/2000$ (Figura 2), y se determina la influencia sobre la carga de pandeo. Para las formas o secciones de perfiles estudiados, se observa una disminución de la carga de pandeo cuando mayor es la preflecha, y las curvas que se obtienen son aún menores cuando se adiciona la influencia de las tensiones residuales.-

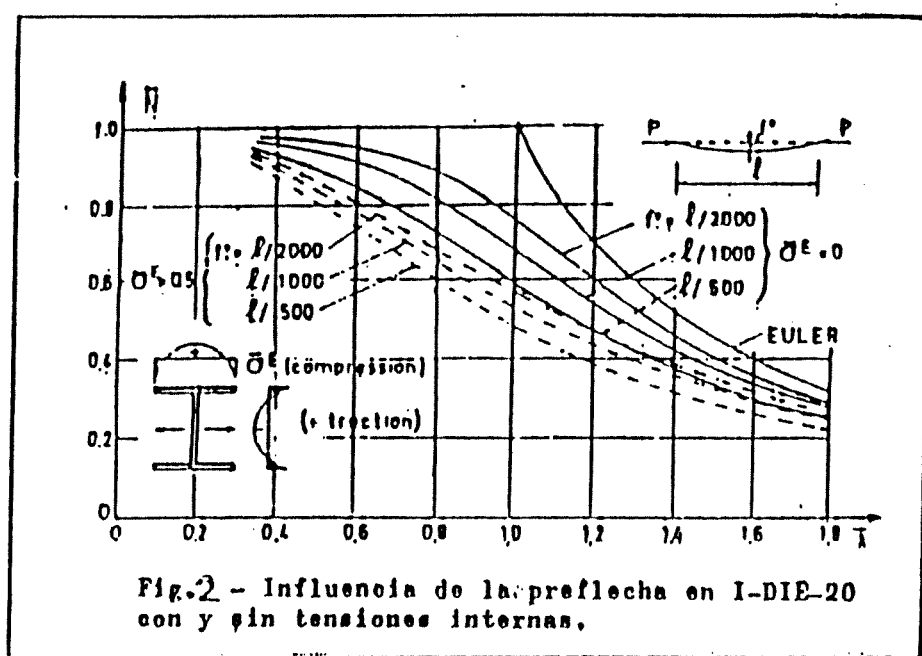


Fig. 2

Fig. 2 - Influencia de la preflecha en I-DIE-20 con y sin tensiones internas.

Los perfiles tubulares (Figura 3), muestran la misma tendencia en función de la relación diámetro- espesor de pared, puede verse que la influencia es muy reducida. Un estudio profundo de las imperfecciones inevitables en la práctica, muestra que con una preflecha inicial igual a $\ell/1000$ en la mitad de la barra previene con seguridad contra la influencia de esas imperfecciones considerando además que todas las imperfecciones geométricas se ejercen simultáneamente.-

La influencia ejercida por la forma del perfil sobre la carga de pandeo, es en general reducida si la barra considerada está exenta de tensiones residuales. En la Figura 4, se han

CONVENTION EUROPEA DE LA CONSTRUCCION METALICA \ DIN 18800

trazado las curvas críticas para diferentes secciones de perfiles, y se observa que sólo las secciones T se destacan netamente de los otros tipos de perfiles y muestran una carga de pandeo que es más elevada cuando el ala está más comprimida y menor carga cuando es el alma la que está comprimida.-

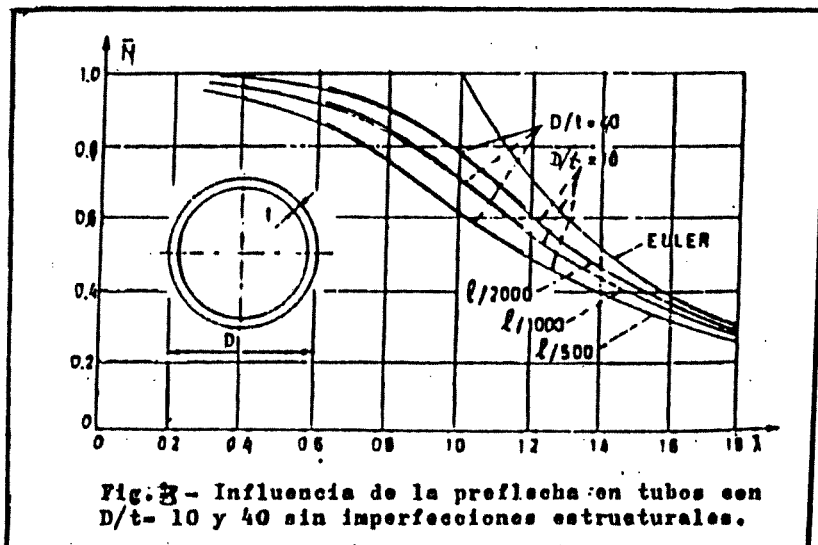


Fig. 3

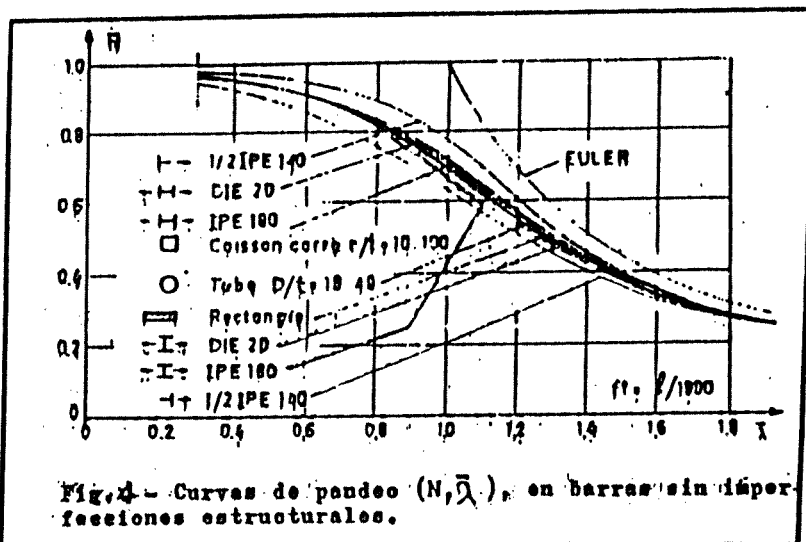


Fig. 4

La Figura 5 nos permite observar el comportamiento de las secciones cajón, con diferencias excesivas entre los espesores de paredes y relaciones altura-ancho (h/b); puede verse una diferencia muy reducida en lo que concierne a carga crítica; en las secciones la letra C corresponde al cuadrado y la R al rectángulo.-

Haciendo un resumen sobre el modo de distribución de las tensiones internas residuales en perfiles I laminados, se ve que depende de la geometría del perfil.-

En la Figura 6 se observa que la repartición de tensiones residuales depende de la relación altura-ancho (h/b).-

Mientras que en los perfiles haya una relación $h/b \leq 1,2$ las tensiones residuales de compresión pueden ser

relativamente fuertes con $\bar{V}=0,5\bar{V}_F$ en las extremidades de las alas, y para una relación $1,2 < h/b < 1,7$ las tensiones son más débiles con $\bar{V}=0,3\bar{V}_F$ pero desfavorablemente repartidas en la totalidad del ala.-

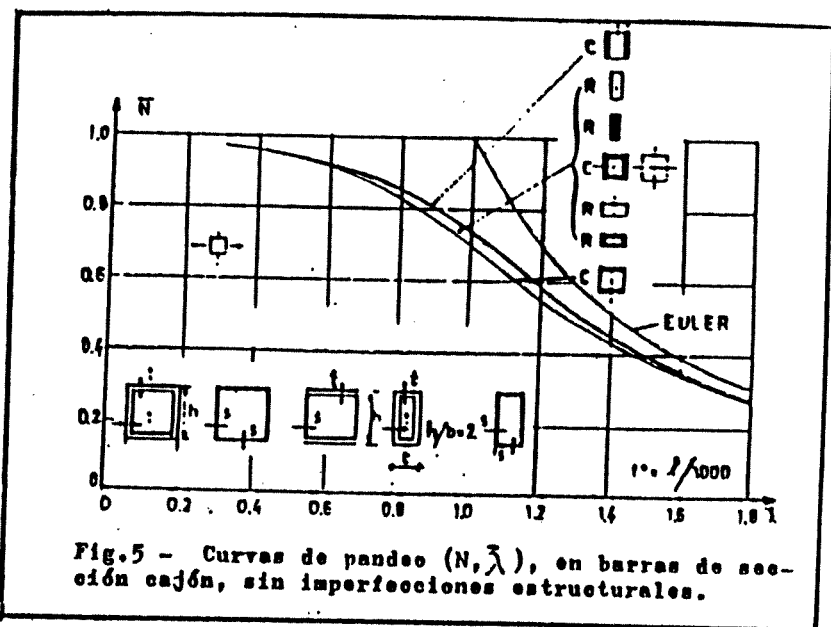


Fig. 5

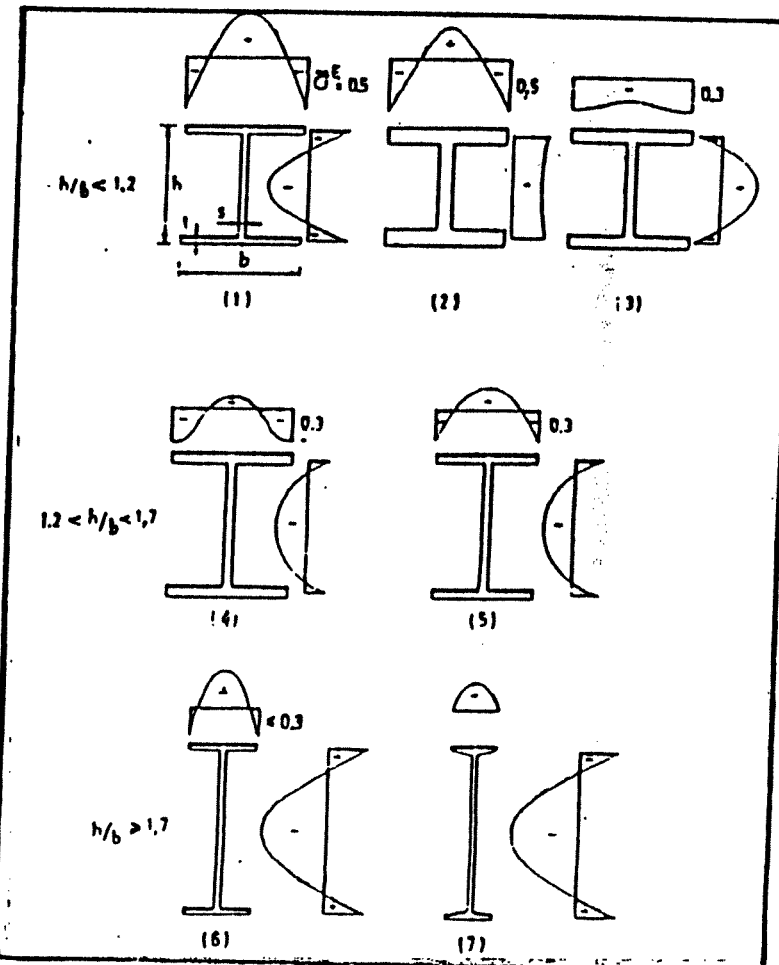


Fig. 6

El comportamiento es sensiblemente mejor si las alas no son laminadas, sino fabricadas con chapas cortadas con soplete pues en esos casos se produce en la zona de bordes tensiones residuales menores (Figura 7).-

Para perfiles esbeltos, con $h/b \geq 1,7$ esta tendencia es más

CONVENTION EUROPEA DE LA CONSTRUCCION METALICA \ DIN 18800

martada y en los mismos puede producirse una inversión, como ocurre con los perfiles normalizados muy esbeltos, con tensiones residuales de tracción repartidas en toda el ala. La razón de esta distribución tan diferente de la anterior es debida a los distintos procesos de enfriamiento correspondiente a distintas geometrías de perfiles laminados, estableciéndose un límite de influencia ejercido por las tensiones residuales sobre la carga crítica por una relación $h/b \leq 1.2$.

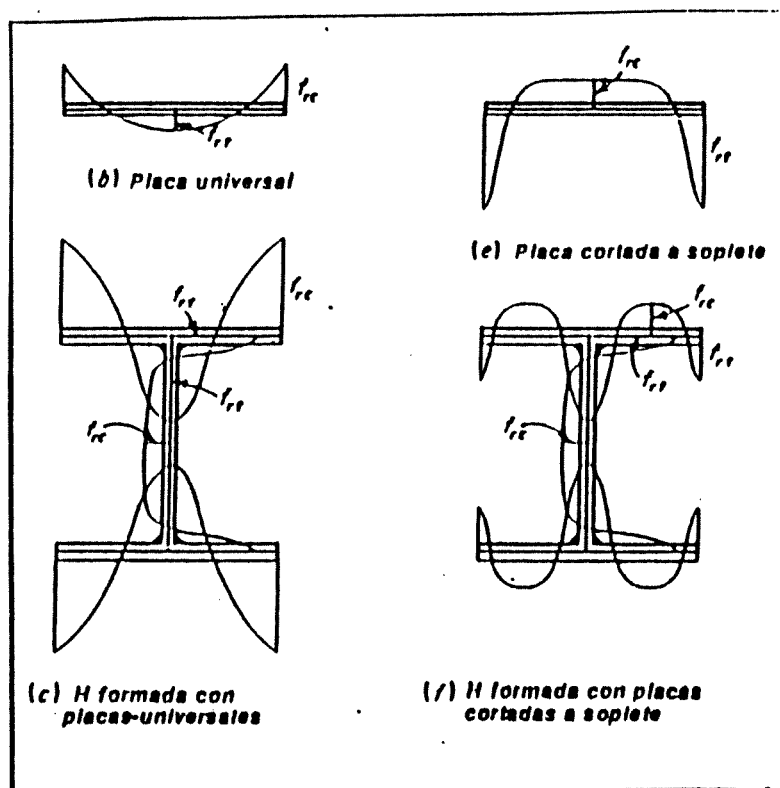


Fig. 7

Se han trazado las curvas de pandedo para diferentes perfiles laminados I teniendo en cuenta las tensiones residuales (Figura 8). Se constató que las barras de ala ancha y de alma alta, así como los perfiles IPE esbeltos, tienen un comportamiento favorable, mientras que las barra de ala ancha y poca altura (no esbeltos), por ejemplo DIE 20 poseen cargas de pandedo menores que las anteriores..

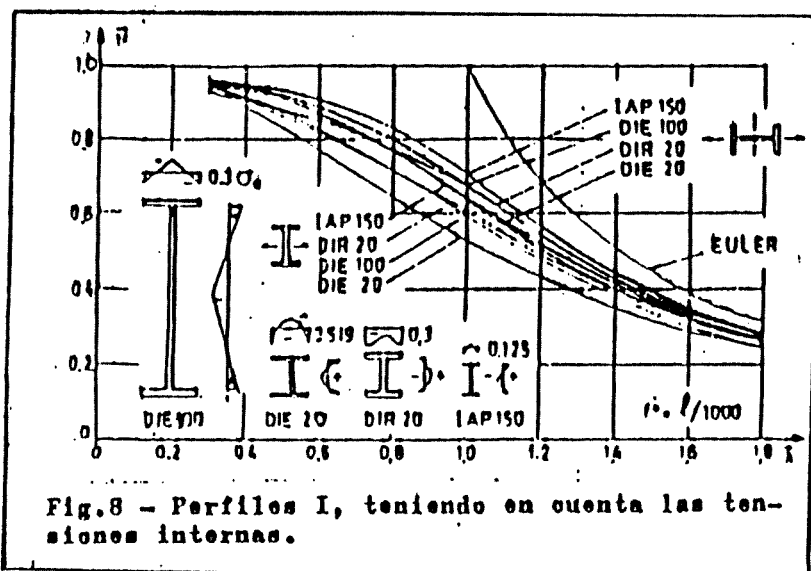


Fig. 8

Fig. 8 - Perfiles I, teniendo en cuenta las tensiones internas.

En los perfiles I soldados, en el cual las alas son chapas laminadas, las tensiones residuales de compresión son elevadas en la parte exterior de las alas (con una repartición similar al perfil (1) de la Figura 6), y tienen en consecuencia un comportamiento de colapso desfavorable, similar a la de las barras de ala ancha y poca altura. El comportamiento al colapso o al pandeo es sin embargo sensiblemente mejor si las alas no son laminadas, sino fabricadas con chapas cortadas con soplete, en estos casos se produce en la zona de borde cortado con soplete tensiones residuales menores.-

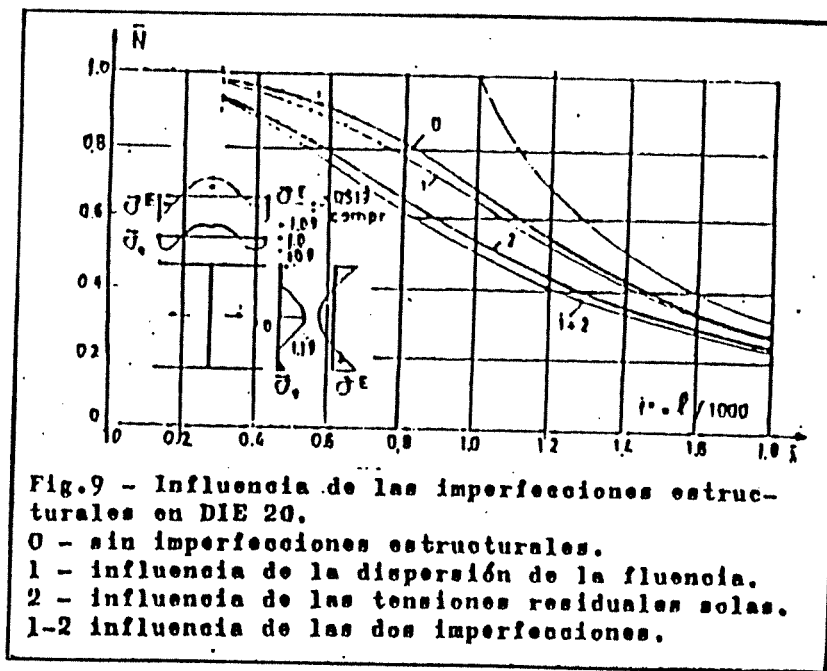


Fig. 9

Se tiene conocimiento que el límite de fluencia no es una constante en la sección y los procesos de fabricación son los que originan una dispersión en este límite. En la Figura 9, se representa la influencia ejercida por esta dispersión, sobre la carga de pandeo en perfiles DIE 20 con y sin tensiones residuales. Las imperfecciones estructurales son representadas por sus valores intrínsecos: $\bar{\sigma}_E = \bar{\sigma}_E / \bar{\sigma}_F$ que son las medias globales para las tensiones residuales, y por $\bar{\sigma}_F = \bar{\sigma}_{F_i} / \bar{\sigma}_F$ que son las medias globales para el límite de fluencia.-

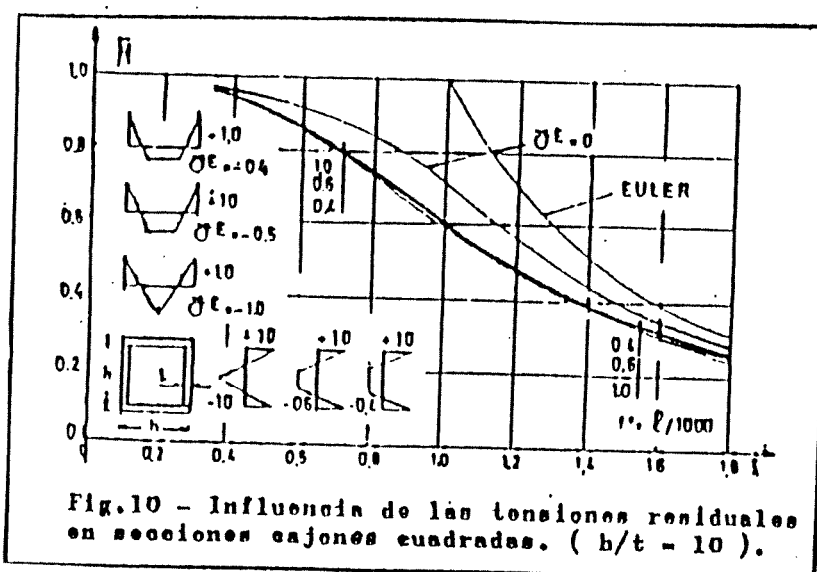


Fig. 10

Puede observarse que las tensiones residuales ejercen una influencia sobre la carga de pandeo más importante que la variación de la tensión de fluencia en la sección y el elemento determinante para precisar los límites de fluencia en la sección está constituido por las alas y la influencia ejercida por la dispersión del límite de fluencia, no se toma en cuenta en los trabajos ulteriores.-

La influencia ejercida por las tensiones residuales sobre la carga de pandeo en las secciones cajón fue objeto de un estudio sistemático; los cajones soldados tienen fuertes tensiones residuales de tracción en la zona del cordón de soldadura ($\bar{\sigma}^E=1$) y por razones de equilibrio existen tensiones residuales de compresión en la parte central. La repartición y el valor de estas últimas dependen de las dimensiones del cajón, en los cajones de dimensiones reducidas, las tensiones residuales de compresión pueden alcanzar el mismo valor que las de tracción, disminuyendo su valor a medida que los cajones aumentan sus dimensiones. (Figura 10):-

Se determina la influencia ejercida por estas reducciones de tensiones residuales sobre la carga de pandeo, pues si bien las reparticiones son diferentes, estas se encuentran en equilibrio, constatándose que la carga de pandeo es prácticamente independiente de la repartición de las tensiones residuales, si en el lugar de la soldadura se considera que existe un valor $\bar{\sigma}^E=1$.

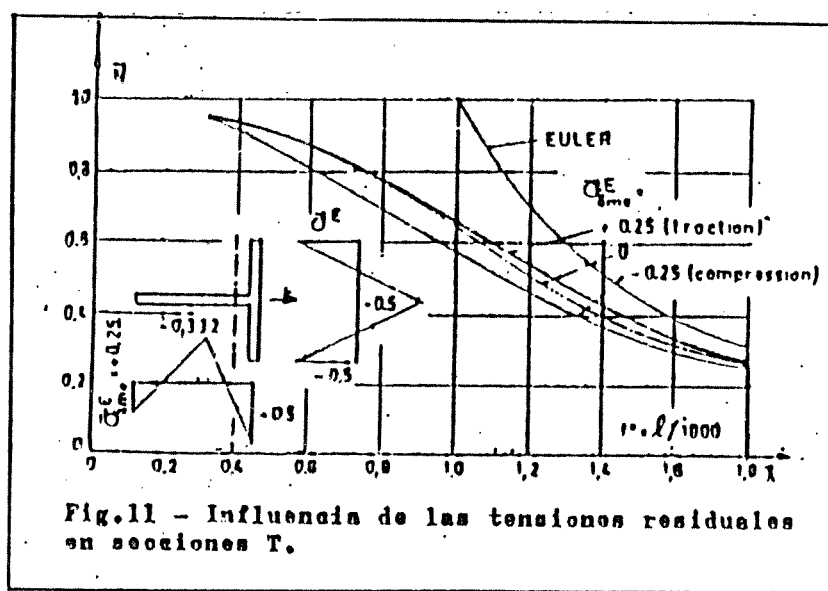


Fig. 11

Fig.11 - Influencia de las tensiones residuales en secciones T.

Otro estudio particularmente interesante es el comportamiento de perfiles T para diferentes hipótesis de repartición de tensiones residuales (Figura 11). Las mediciones de laboratorio nos muestran que, en las partes exteriores del alma, existen en general tensiones de tracción, que pueden según los casos, ser débiles tensiones de compresión. En cambio, no se observa en los perfiles soldados, en perfiles T fabricados por corte a solete de perfiles I, las tensiones residuales de tracción sobre el corte exterior del alma.-

Puede observarse también en la Figura 11, la gran reducción de carga de pandeo en la hipótesis de tensiones residuales de compresión en el borde libre del alma y contrariamente en los casos en que estas tensiones de tracción existieran en ese

sitio, se constata lógicamente un aumento de la capacidad portante en perfiles T exentos de tensiones residuales.-

2.2.2.- Excentricidad por Aplicación de las Cargas.-

La influencia por excentricidades por aplicación de las cargas en los extremos de la barra articulada, fue también objeto de un estudio profundo.-

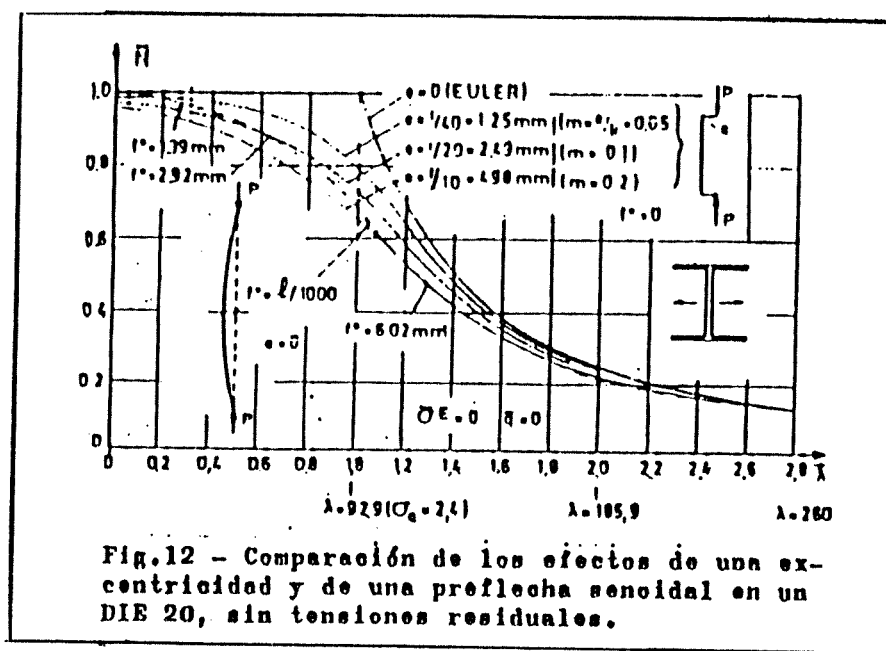


Fig. 12

Fig. 12 - Comparación de los efectos de una excentricidad y de una preflecha senoidal en un DIE 20, sin tensiones residuales.

En la Figura 12 están trazadas las curvas de pandeo para perfiles I DIE 20 respecto a su menor momento de inercia:
a) para una preflecha de $\delta/1000$; b) para diferentes excentricidades iniciales en función del radio de giro: $i/10$, $i/20$, $i/40$. Puede verse que adoptando una preflecha igual a su longitud sobre mil, se cubre de dos excentricidades la de $i/20$ y la $i/40$; naturalmente las curvas de pandeo para las cargas excéntricas no desembocan en $N=1$, se colocan muy cerca e inferiormente sobre el eje de las ordenadas.-

En estos diagramas, hay que remarcar, que estas excentricidades iniciales ejercen en el dominio de las pequeñas esbelteces, una influencia sobre la carga crítica similar a la de una bajada del límite de fluencia. Si hoy estas excentricidades iniciales no están más tomadas en cuenta en la elaboración de las curvas de pandeo, es debido a que el límite de fluencia es adoptado con prudencia, haciendo notar que la barra con articulaciones ideales no existe prácticamente. Adoptando una hipótesis apropiada de longitud de pandeo existe la posibilidad de eliminar las excentricidades o las imperfecciones y de considerar la barra comprimida con aplicación de carga centrada en sus extremos.-

2.2.3.-Influencia de las Cargas Laterales.-

La investigación nos permite saber que débiles cargas laterales, tales como los pesos de las barras o la presión del viento, ejercen una influencia que no es despreciable sobre la carga de pandeo, más particularmente si las barras son esbeltas. Esta influencia fue estudiada por G. Schulz a fin de suministrar amplios detalles posteriormente.

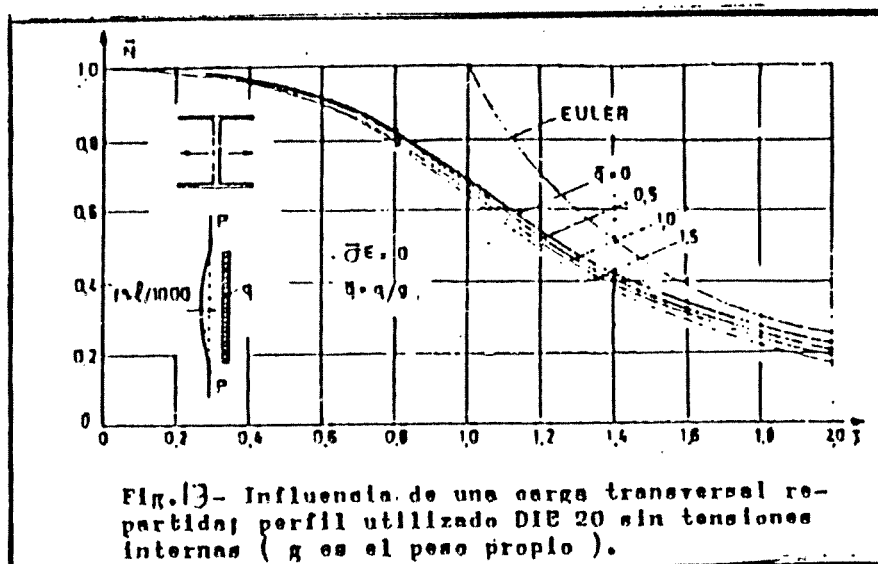


Fig. 13

En la Figura 13, pueden verse las representaciones de las investigaciones sobre perfiles I DIE 20 con cargas laterales y relaciones de 0.5 , 1.0 , 1.5 entre la carga y el peso propio de la barra. El diagrama muestra que el porcentaje de disminución de la carga crítica aumenta con la esbeltez y es más importante para las barras muy elásticas.-

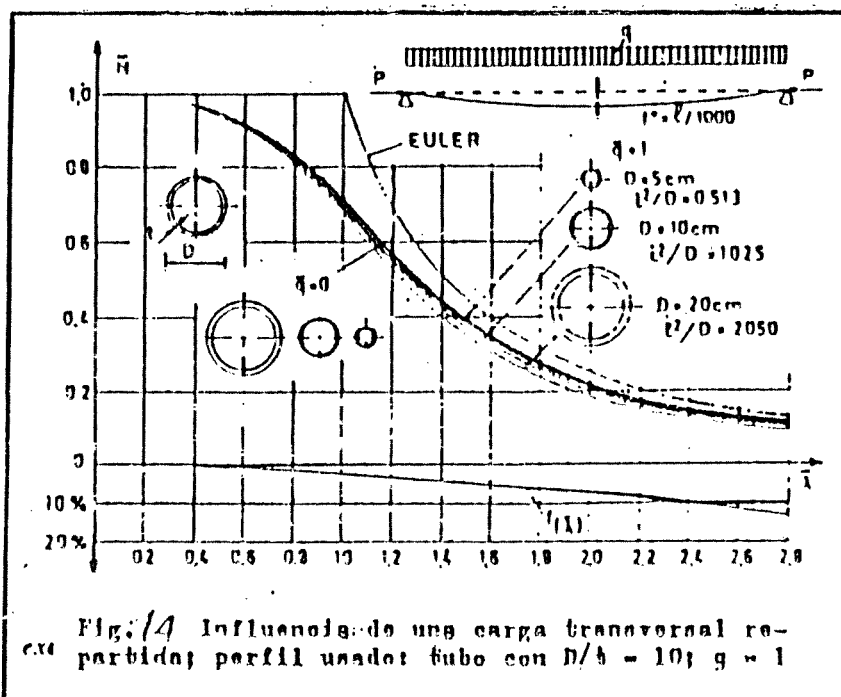


Fig. 14

G. Schulz demuestra que la influencia de las cargas laterales (Figura 14) puede ser tomada en cuenta por la fórmula:

$$(55) \bar{N}(\bar{q}=1) = K_q \bar{N}(\bar{q}=0)$$

gracias a un factor correctivo $K_q = 1 - i^2/D \cdot f(\lambda)$

La función $f(\lambda)$ puede representarse con una presición suficiente por una recta y en la Figura 14 se muestra para un perfil tubular.-

Examinemos rápidamente la eliminación de preflechas inadmisiblemente grande de las barras, por el proceso de enderezamiento. Se sabe que este procedimiento produce una plastificación parcial de la sección y con eso un cambio en el estado de tensiones residuales. Por las vías teóricas Ch. Massonnet ha demostrado que el enderezamiento influye favorablemente sobre éstos disminuyendo sus valores y por lo tanto favorece la carga de pandeo.-

2.2.4.- Las Curvas de Pandeo. Conclusiones Finales.-

Todas estas investigaciones y muchas más presentadas separadamente y vistas las influencias ejercidas por las diferentes imperfecciones sobre la carga de pandeo, sirvieron de apoyo necesario para elaborar una combinación racional que se presenta en la actualidad bajo un aspecto probabilístico satisfactorio.-

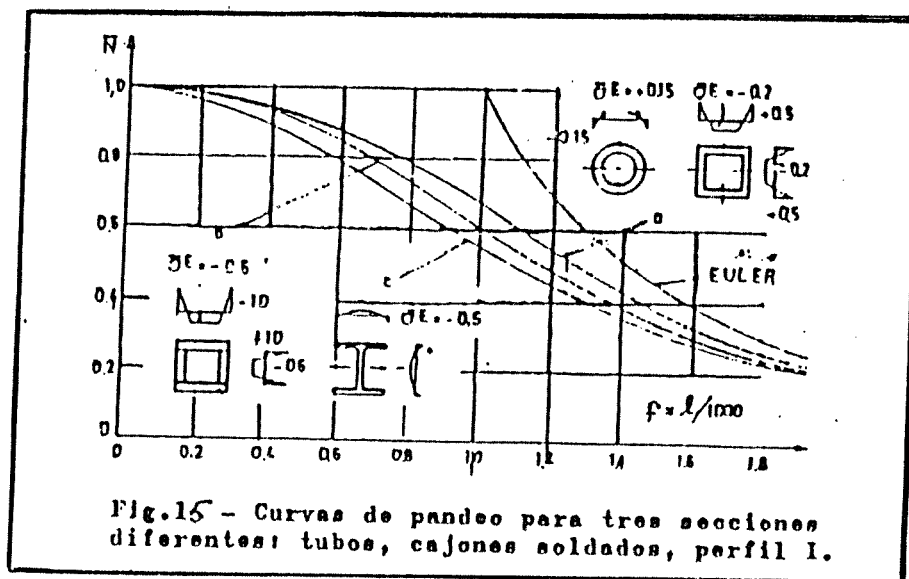


Fig. 15

Fig. 15 - Curvas de pandeo para tres secciones diferentes: tubos, cajones soldados, perfil I.

La Comisión número 8 estaba persuadida en principio, que el establecimiento de una sola curva de pandeo llevaría inútilmente un perjuicio a la mayor parte de los perfiles utilizados en la práctica. También se decidió proponer varias curvas de pandeo y colocar junto a ellas los perfiles respectivos, al comienzo se previeron cuatro curvas y finalmente se decidieron por tres. Esta decisión se funda en que ellas están lo suficientemente espaciadas y además permiten un escalonamiento racional de perfiles utilizados en la construcción (Figura 15). Las curvas son trazadas para las secciones de perfiles, con las tensiones residuales medidas en laboratorio y una preflecha de $\ell/1000$; la curva de tubos a) está calculada para los tubos circulares y

CONVENCION EUROPEA DE LA CONSTRUCCION METALICA \ DIN 18800

tensiones residuales; la curva de secciones cajones b) corresponde a la carga de pandeo de cajones soldados rectangulares con tensiones residuales y la curva de perfiles c) concierne a perfiles I con repartición de tensiones residuales desfavorables y pandeo con respecto al eje de inercia menor.-

2.2.5.-Límite de influencia.Espesor de Pared:

Pero antes de ordenar definitivamente los perfiles en estas curvas, se debió resolver el problema del límite de fluencia, con lo cual era necesario transferir de la curva de las tensiones de pandeo (\bar{N}_k, λ) al de las curvas (\bar{N}, λ).-

Las amplias investigaciones han puesto en evidencia la influencia marcada que el espesor de las paredes ejerce sobre el límite de fluencia, y teniendo en cuenta estos resultados (que corresponde a numerosísimos ensayos) se ha determinado tres zonas para el límite de fluencia, tomando en consideración las calidades E 24 que corresponde al St 37 y E 36 que corresponde al St 52 de los aceros de la construcción.-

Dado que los límites de fluencia dependen muy poco de las curvas (\bar{N}, λ), por las hipótesis de una preflecha de la barra en función de su longitud y con tensiones residuales no muy altas, que se constatan en los aceros de construcción, hace que las hipótesis adoptadas coloquen al acero E 36 con un poco más de seguridad.-

Se han determinado los límites de fluencia siguientes en función del espesor de la pared t :

| | E 24 | E 36 |
|--|---|---------------------------------------|
| $t \leq 20 \text{ mm}$ | $\bar{\sigma}_f = 25.5 \text{ Kg/mm}^2$ | $\bar{\sigma}_f = 38 \text{ Kg/mm}^2$ |
| $20 \text{ mm} < t \leq 30 \text{ mm}$ | $\bar{\sigma}_f = 24 \text{ Kg/mm}^2$ | $\bar{\sigma}_f = 36 \text{ Kg/mm}^2$ |
| $30 \text{ mm} < t \leq 40 \text{ mm}$ | $\bar{\sigma}_f = 22.5 \text{ Kg/mm}^2$ | $\bar{\sigma}_f = 34 \text{ Kg/mm}^2$ |

El espesor determinante de la pared t es función de las partes de la sección que son solicitadas a la compresión en un proceso de pandeo. Esto es así, y es necesario considerar por ejemplo los espesores de las alas en los perfiles I y las partes de la pared situadas en el plano de pandeo en los cajones rectangulares. Se observa más particularmente aquí, que el límite de fluencia determinado en tracción, no es absolutamente indispensable para el trazado de los diagramas o curvas (\bar{N}, λ), y en los límites de fluencia globales determinados por los ensayos sobre barras cortas, son susceptibles de predecir este fenómeno.-

Los valores propuestos aquí para $\bar{\sigma}_f$ (Tensión de Fluencia) son los determinados por los últimos ensayos y asimismo su correlación con los resultados de los ensayos de pandeo.-

La elección de perfiles para las curvas a,b,c están

basados en trabajos teóricos bastante bastos, en los cuales se han tomado en primer lugar los perfiles I laminados con la repartición de tensiones residuales correspondientes a diferentes formas de perfiles, habiendo tenido en cuenta los dos ejes de inercia (Figura 16).-

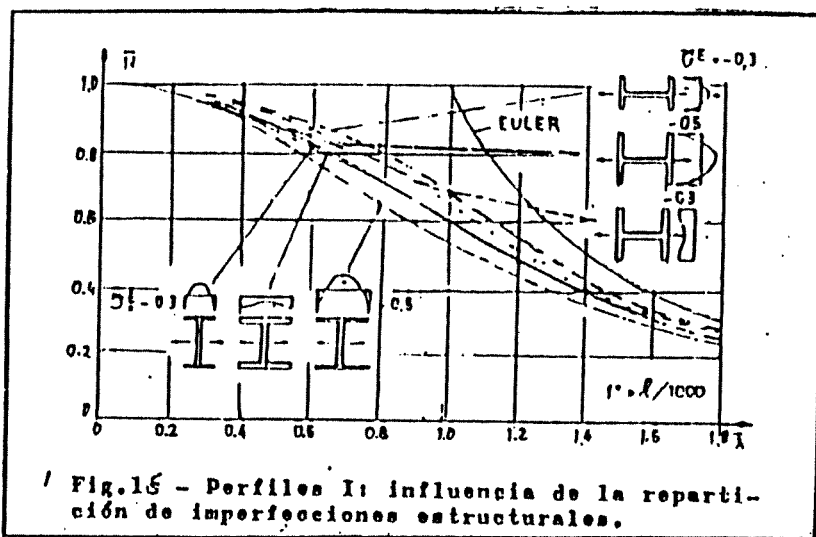


Fig. 16

Fig. 16 - Perfiles I: influencia de la repartición de imperfecciones estructurales.

Se constata la disminución relativamente fuerte de la carga de pandeo en barras I, cuando se consideran los perfiles macizos de alas anchas (pandeo respecto del eje mayor de inercia) y más aún para los perfiles de ala ancha de poca altura (petisos) y de paredes delgadas. El comportamiento más favorable es el que corresponde al perfil IPE esbelto, solicitados a pandeo según el eje de mayor o menor inercia.-

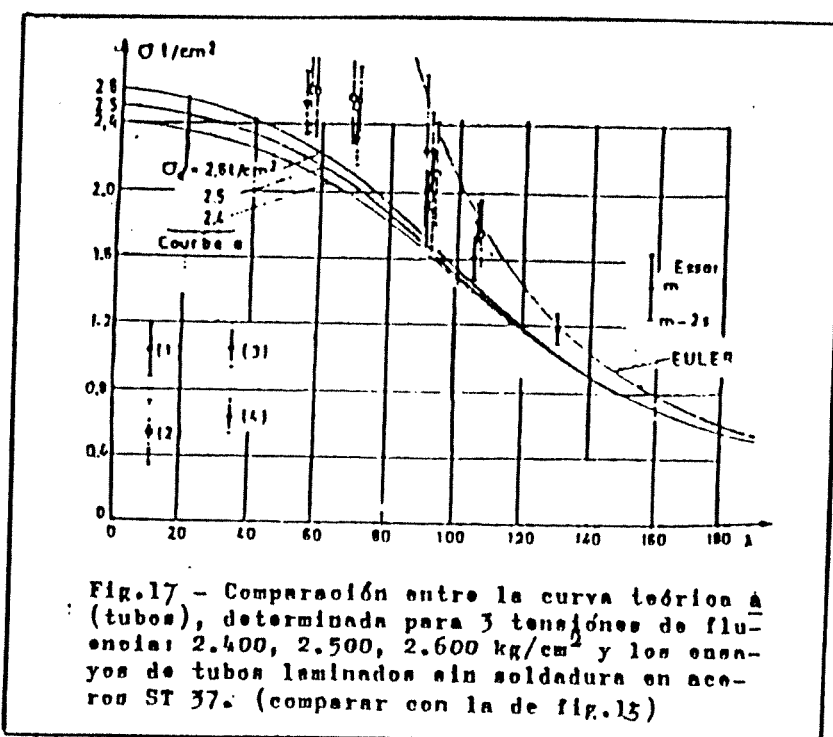


Fig. 17

Fig. 17 - Comparación entre la curva teórica a (tubos), determinada para 3 tensiones de fluencia: 2.400, 2.500, 2.600 kg/cm² y los ensayos de tubos laminados sin soldadura en acero ST 37. (comparar con la de fig. 15)

Para llegar concretamente a ordenar los perfiles en las curvas a, b, y c no sólo se deben establecer las consideraciones teóricas, sino también utilizar los resultados experimentales. En lo que concierne a los tubos, se encontraban en la feliz

CONVENCION EUROPEA DE LA CONSTRUCCION METALICA / DIN 18800

situación de disponer de un vasto material documentado sobre los ensayos.-

En la Figura 17, puede verse la comparación entre los resultados de ensayos sobre tubos laminados sin soldadura ($\bar{U}_F = \bar{U}_{Fm} - 2s$) y la curva de tubos (a), que resulta del estudio teórico para tres límites diferentes de fluencia. Se constata además, que con la hipótesis de un límite fluencia de 2550 kg/cm^2 , los valores experimentales (para $e < 20\text{mm}$) son bien cubiertos por la curva.-

En la Tabla II puede verse los valores de tensión de fluencia característica en diferentes tubos, con diferentes esbelteces, los cuales se calcularon con la siguiente fórmula:

TABLA II

| Tubos mm | λ | $\bar{U}_{Fm} - 2s$ t/cm^2 |
|----------------------------------|-----------|--|
| (1) $88,9 \times 5$ | 55 | 2.63 (*) |
| | 70 | 2.64 (*) |
| | 90 | 2.66 (*) |
| | 105 | 2.65 |
| | 130 | 2.65 |
| (2) $127 \times 127 \times 4,76$ | 55 | 2.68 (*) |
| | 56,3 | 2.60 (*) |
| | 70 | 2.57 (*) |
| | 90 | 2.56 (*) |
| | 91,2 | 2.62 (*) |
| | 105 | 2.53 (*) |
| (3) $\varnothing 89 \times 8$ | 90 | 2.60 |
| (4) $\varnothing 121 \times 5,5$ | 70 | 2.67 (*) |
| | 90 | 2.61 (*) |
| | 105 | 2.62 (*) |

(*)

$$\bar{U}_F = \bar{U}_{Fm} - 2s$$

Los resultados que se observan en la Figura 18, son los ensayos ejecutados por Ch. Massonnet sobre tubos en aceros de construcción de alta resistencia, y muestran que en lo concerniente a la curva de tubos (a), que es el resultado de estudios teóricos, dichos ensayos se sitúan en la mayoría de los casos sobre ella; poniéndose en evidencia además que: La influencia de tensiones residuales sobre la carga de pandeo disminuye en los aceros de construcción de alta resistencia, esto se confirma por otra parte, por una comparación entre los resultados experimentales y la curva de tubo calculadas sin tensiones residuales, dibujada en trazo interrumpido.-

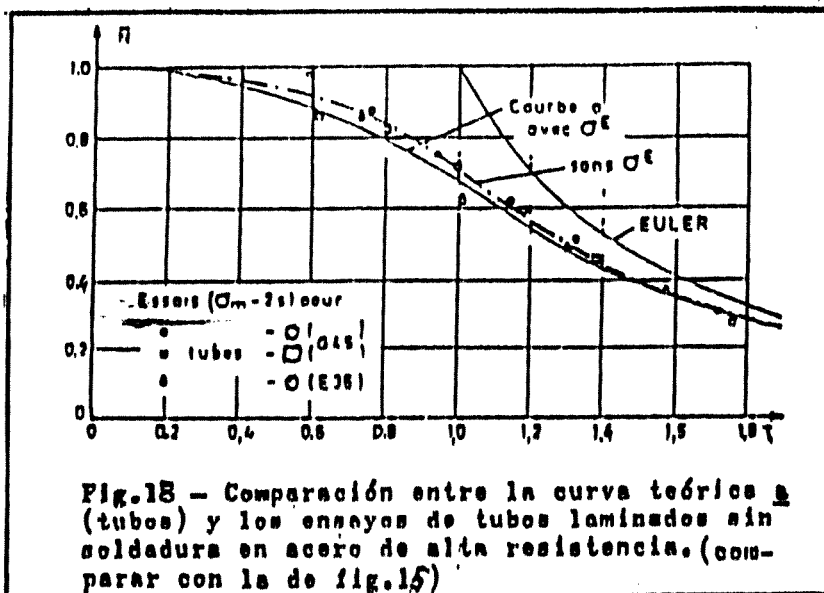


Fig. 18

Fig.18 - Comparación entre la curva teórica (tubos) y los ensayos de tubos laminados sin soldadura en acero de alta resistencia. (comparar con la de fig.16)

El comportamiento a padeo de tubos soldados puede verse en la Figura 19. Los resultados experimentales se sitúan, en los dominios de pequeñas esbelteces, un poco por abajo de la curva teórica ; esto es atribuido a la influencia ejercida por la deformación de la sección debido a la soldadura, que es un efecto comparable a las de una excentricidad inicial.-

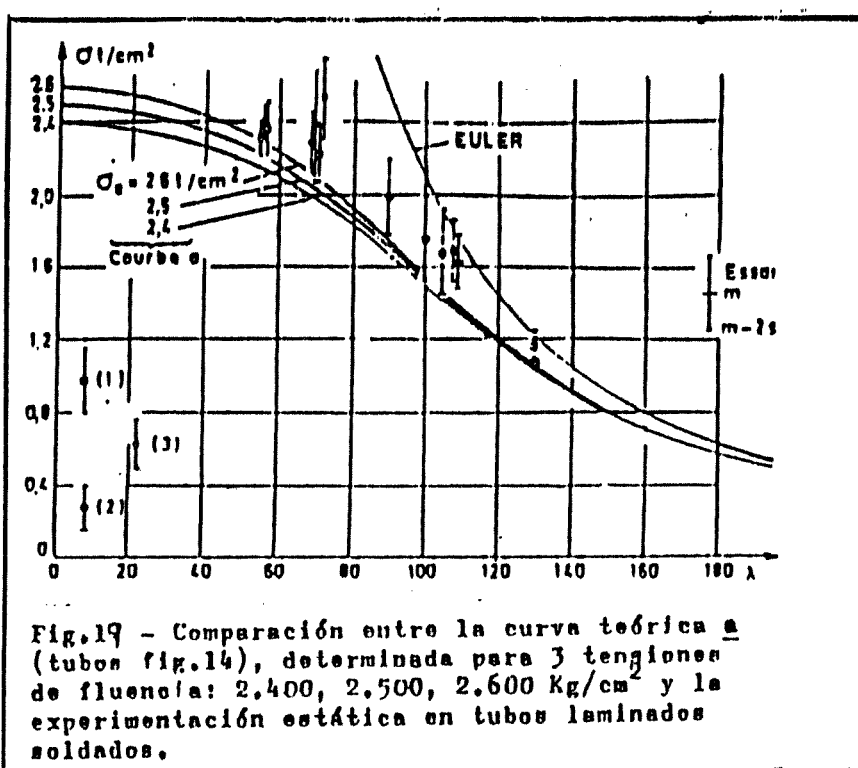


Fig. 19

Fig.19 - Comparación entre la curva teórica (tubos fig.14), determinada para 3 tensiones de fluencia: 2.400, 2.500, 2.600 Kg/cm^2 y la experimentación estática en tubos laminados soldados.

El efecto de esta excentricidad sobre la carga de padeo, puede ser tomada en cuenta de manera apropiada, con una baja ficticia del límite de fluencia. Es interesante remarcar a este efecto que, los ensayos no permiten descubrir ninguna diferencia significativa entre los tubos circulares y los tubos rectangulares fabricados según el mismo procedimiento.-

En la Tabla III puede verse los valores de la tensión de fluencia características en tubos soldados, los mismos son siempre calculados con la fórmula (57)

$$(57) \quad \bar{\sigma}_F = \bar{\sigma}_{Fm} - 25$$

TABLA III

| Tubos mm | λ | $\sigma_{Fm - 2s}$ t/cm^2 |
|------------------------|-----------|--------------------------------|
| (1) 76.2 x 76.2 x 4,88 | 55 | 2.72 (*) |
| | 70 | 2.71 (*) |
| | 70 | 2.77 (*) |
| | 90 | 2.66 |
| | 100 | 2.69 |
| | 105 | 2.66 |
| | 130 | 2.69 |
| (2) 88.9 x 88.9 x 6,35 | 55 | 2.74 |
| | 70 | 2.57 |
| | 109 | 2.75 |
| (3) Ø 114,3 x 6,35 | 55 | 2.83 |
| | 70 | 2.84 (*) |
| | 108 | 2.52 |

*) Valor aproximado

Los ensayos sobre perfiles cajón soldados, fueron ejecutados solamente para una sola esbeltez $\lambda = 90$, debido a que en este dominio la influencia de las tensiones residuales es máxima. La Figura 20 muestra una muy buena correspondencia entre los valores experimentales y los valores calculados sobre la base de un límite de fluencia de 2.760 kg/cm^2 , determinados sobre los ensayos sobre barras cortas.-

La curva para secciones cajones (b), elaboradas para $\sigma = 2.550 \text{ kg/cm}^2$, con un espesor de paredes de la barra experimental $t < 20 \text{ mm}$, cubre de manera satisfactoria los resultados de los ensayos.-

Fueron numerosos los ensayos ejecutados con los perfiles I y más particularmente el perfil IPE 160, siendo los resultados expuestos en la Figura 21. Se recuerda que el límite de fluencia utilizado es la tensión de fluencia característica, que resulta de los ensayos compresión global sobre retazos de las mismas barras. Una fuerte dispersión de los resultados experimentales es visible en el dominio de esbelteces entre 50 y 100; sin embargo la curva límite inferior puede ser representada con una presición sorprendente por la curva de cajones (b) de la Figura 15. En consecuencia, aquí es igualmente representativo para los perfiles IPE, solicitados a pandeo respecto del eje de menor momento de inercia.-

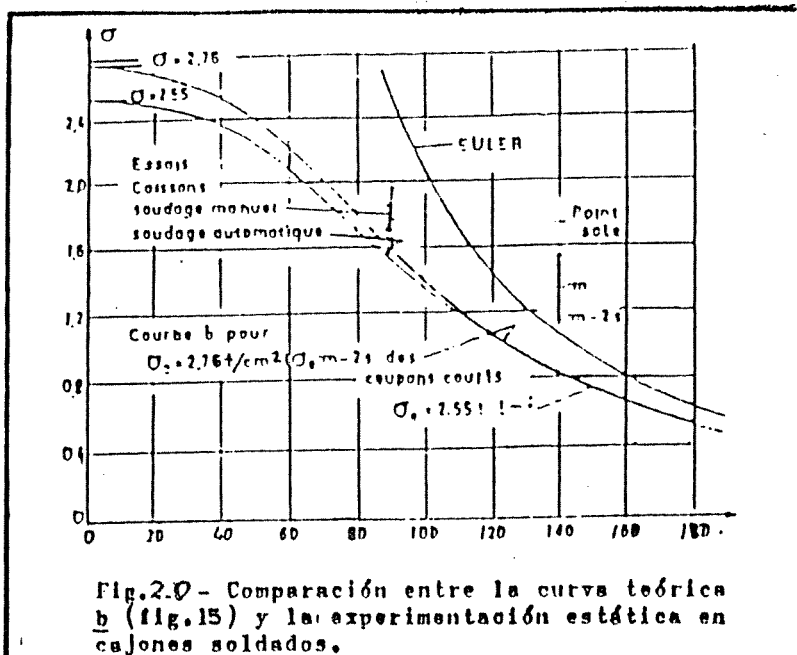


Fig. 20

Fig. 20 - Comparación entre la curva teórica b (fig. 15) y la experimentación estática en cajones soldados.

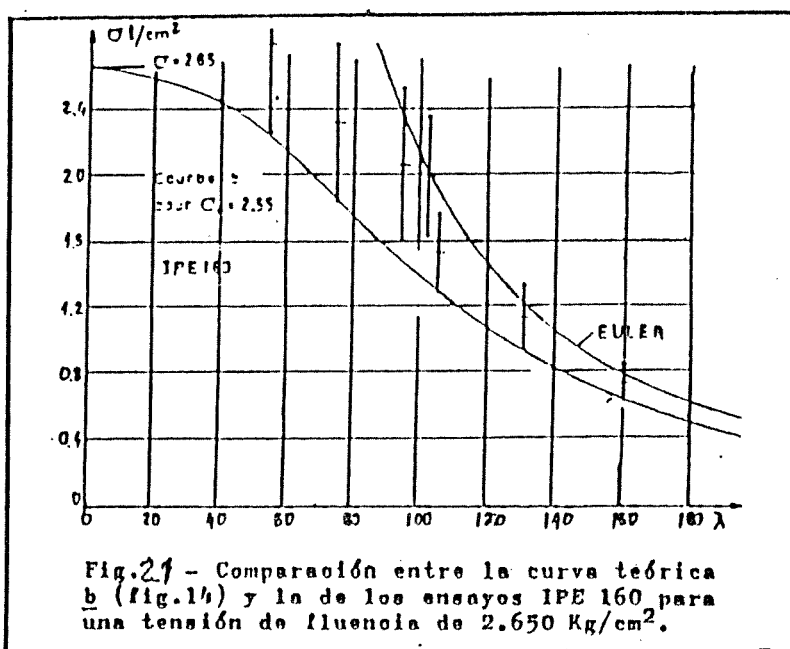


Fig. 21

Fig. 21 - Comparación entre la curva teórica b (fig. 14) y la de los ensayos IPE 160 para una tensión de fluencia de 2.650 Kg/cm².

Un escalonamiento de otras formas de perfiles ha sido hecho y teniendo en cuenta los fundamentos dados, referente a la hipótesis de las imperfecciones probables de producirse. En todo caso, el cálculo ha constituido aquí un medio auxiliar y los ensayos una confirmación necesaria para señalar a cada perfil su correspondiente curva de pandeo. Los autores piensan haber logrado englobar prácticamente todos los tipos de barras que usualmente se utilizan. Si alguna duda existiese en cuanto a la elección de una de las curvas adyacentes, para algún perfil en especial, se adoptará una actitud prudente y escoger de las dos, la de valor más bajo.-

Se han ejecutado una multitud de ensayos a fin de determinar la poca influencia que ejerce la tensión de fluencia en la determinación de los diagramas (\bar{N} ; $\bar{\lambda}$). Es por todos conocido que la tensión de fluencia depende de la calidad del acero, y en intervalos determinados el error que se comete es pequeño al utilizar diagramas construidos con tensiones de fluencia de 2550 kg/cm², quedando en consecuencia del lado de la seguridad. Se puede decir entonces que existe una relativa independencia de la

CONVENCION EUROPEA DE LA CONSTRUCCION METALICA / DIN 18800

tensión de fluencia y lógicamente de la calidad del acero, como puede verse en la Figura 22.-

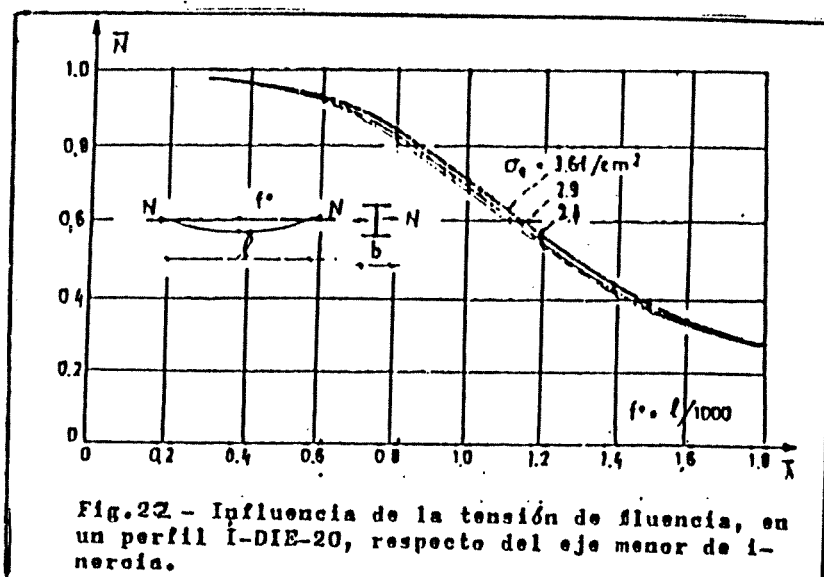


Fig. 22

Fig. 22 - Influencia de la tensión de fluencia, en un perfil I-DIE-20, respecto del eje menor de inercia.

Es bueno establecer una comparación, con las casos de cargas H2 entre la DIN 4114 y el reglamento francés CM 66. Las nuevas curvas de padeo de la CECM han sido divididas por el coeficiente de seguridad, cuyo valor para este caso es de 1,33. La Figura 23 nos muestra esta comparación para los aceros de construcción E 24 y de espesor de pared $t \leq 20\text{mm}$ y la Figura 24 para espesores de paredes de $20 < t \leq 30\text{mm}$.-

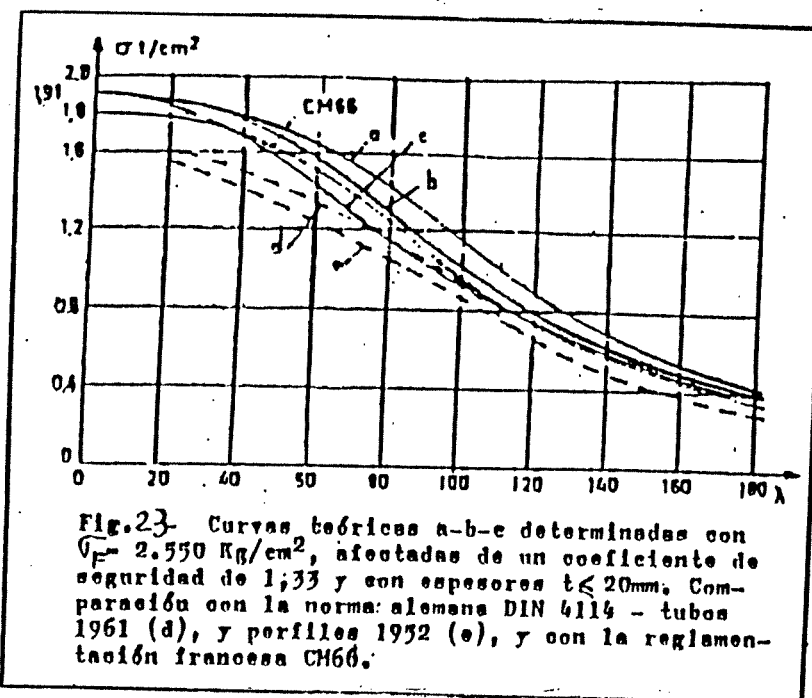


Fig. 23

Fig. 23 - Curvas teóricas a-b-c determinadas con $\sigma_y = 2.550 \text{ kg/cm}^2$, afectadas de un coeficiente de seguridad de 1,33 y con espesores $t \leq 20\text{mm}$. Comparación con la norma alemana DIN 4114 - tubos 1961 (d), y perfiles 1952 (e), y con la regulación francesa CM66.

La comparación entre curvas de la DIN 4114, las francesas CM 66 y las nuevas curvas de padeo de la CECM muestran a primeras luces que estas últimas nos conducen a importantes economías de material.-

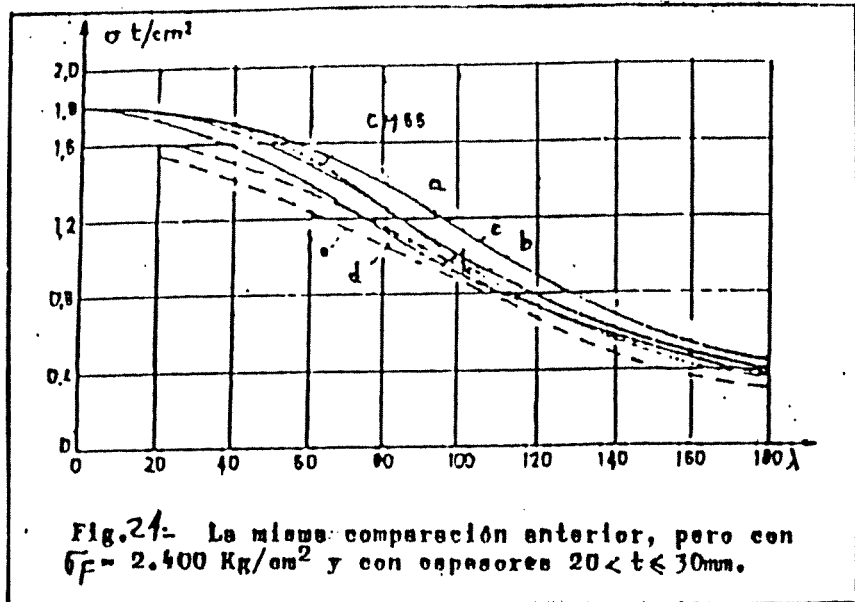


Fig. 24

Fig. 24: La misma comparación anterior, pero con $\sigma_F = 2400 \text{ Kg/cm}^2$ y con espesores $20 < t \leq 30 \text{ mm}$.

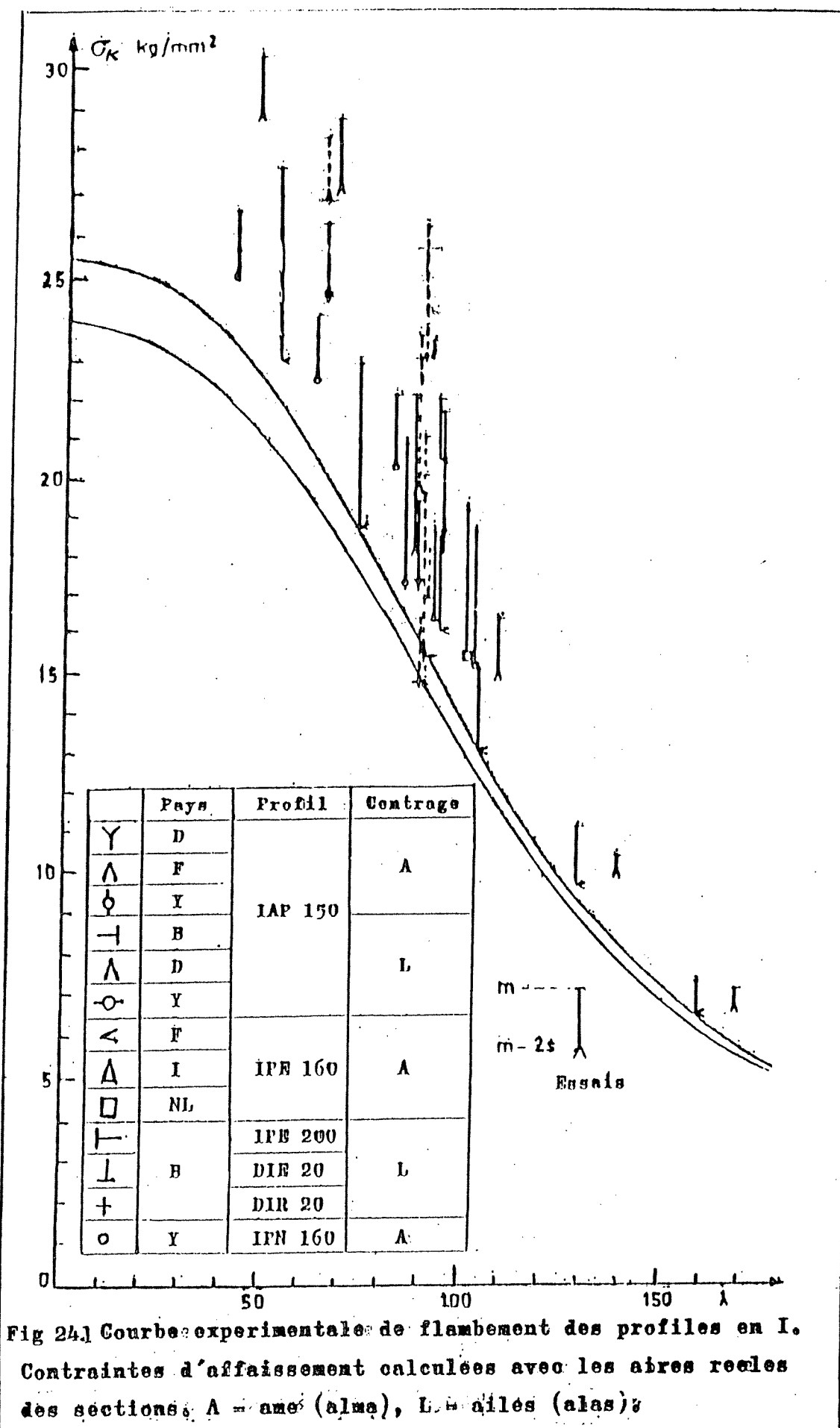
Quedaba sin embargo, un punto que parece criticable y que debe ser resuelto: el valor adoptado de la tensión de fluencia, para el punto de partida de estas curvas de esbeltez cero. En efecto, los ensayos de compresión realizados sobre probetas cortas arrojan valores tales que tendremos que adoptar un valor de $\sigma_F = 25,5 \text{ kg/mm}^2$ para la categoría de los perfiles en cuestión; no obstante siempre se ha tomado el valor oficialmente admitido de 24 kg/mm^2 , que por otra parte es el valor representativo de una población de secciones utilizadas en la construcción, y si usamos este último nos colocamos en las condiciones de cálculo en tracción, siendo nuestras condiciones diferentes pues tenemos compresión.-

Las curvas de la CECM no son en su integridad, la curva experimental pura, sino curvas modificadas en sus puntos de partida (σ_k, λ). Esta particularidad no trae consecuencia alguna en el dimensionamiento de barras con cualquier valor de esbeltez en una estructura. Si quisiéramos aplicar esto a calidades de acero diferente, tendríamos que tener curvas correspondientes a estos aceros, lo que nos obligaría a trabajar con compilaciones de tablas y curvas.-

Para generalizar la aplicación de los resultados, se recurre al trazado de curvas adimensionales, las cuales sirven para una gran variedad de calidades de acero de construcción. Trazando la curva dimensional matemática o verdadera curva experimental en función de (σ_k, λ) , partiendo de $25,5 \text{ kg/mm}^2$ para esbeltez cero y a continuación se traza otra, con punto de partida de 24 kg/mm^2 , ésta se situará en todo su trazado a un nivel inferior de los valores experimentales, dando como resultado una pérdida sensible en la economía si se utiliza este último valor, pero gracias al ingenio volcado para la búsqueda de resultados esto no se produce. Fig. 24.1 - 24.2 - 24.3 - 24.4

Existe una realidad bien conocida, y es que a partir de un mismo acero (en productos laminados), la forma de la sección se realiza con un cierto martilleo, a fin de obtener los espesores deseados y lógicamente esto debe gravitar en el valor límite de fluencia.-

Hacia falta rendirse a la evidencia (antes de entregarse a un conformismo reglamentario) y adoptar límites de fluencia diferentes según los espesores. Una explicación de esta anomalía (o contradicción), que los ensayos muestran bien como real, a sido realizado por A. Cárpene en sus fundamentos sobre los



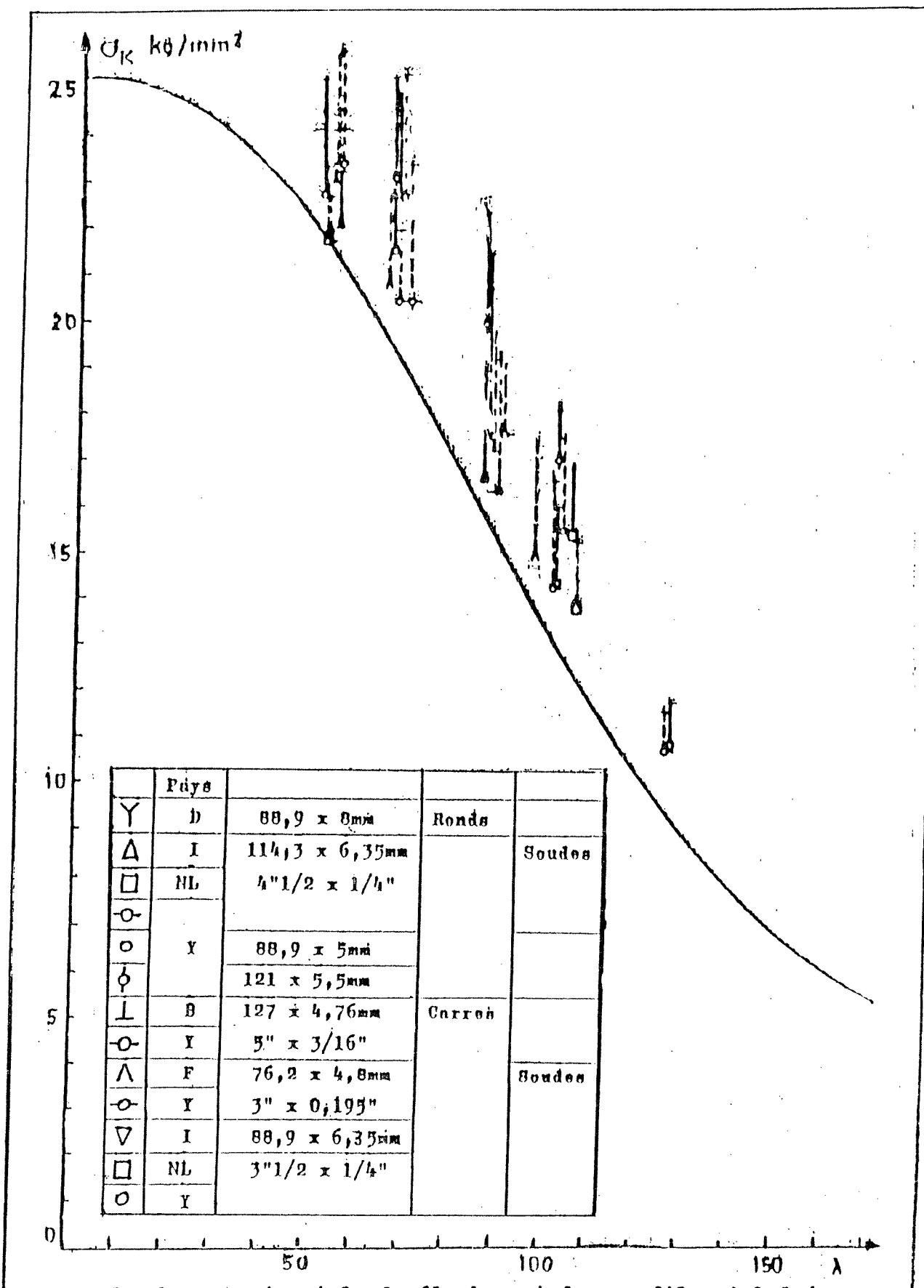


Fig 24.2 Courbe expérimentale de flamboement des profils tubulaires.
Contraintes d'affaissement calculées avec les aires réelles des sections.

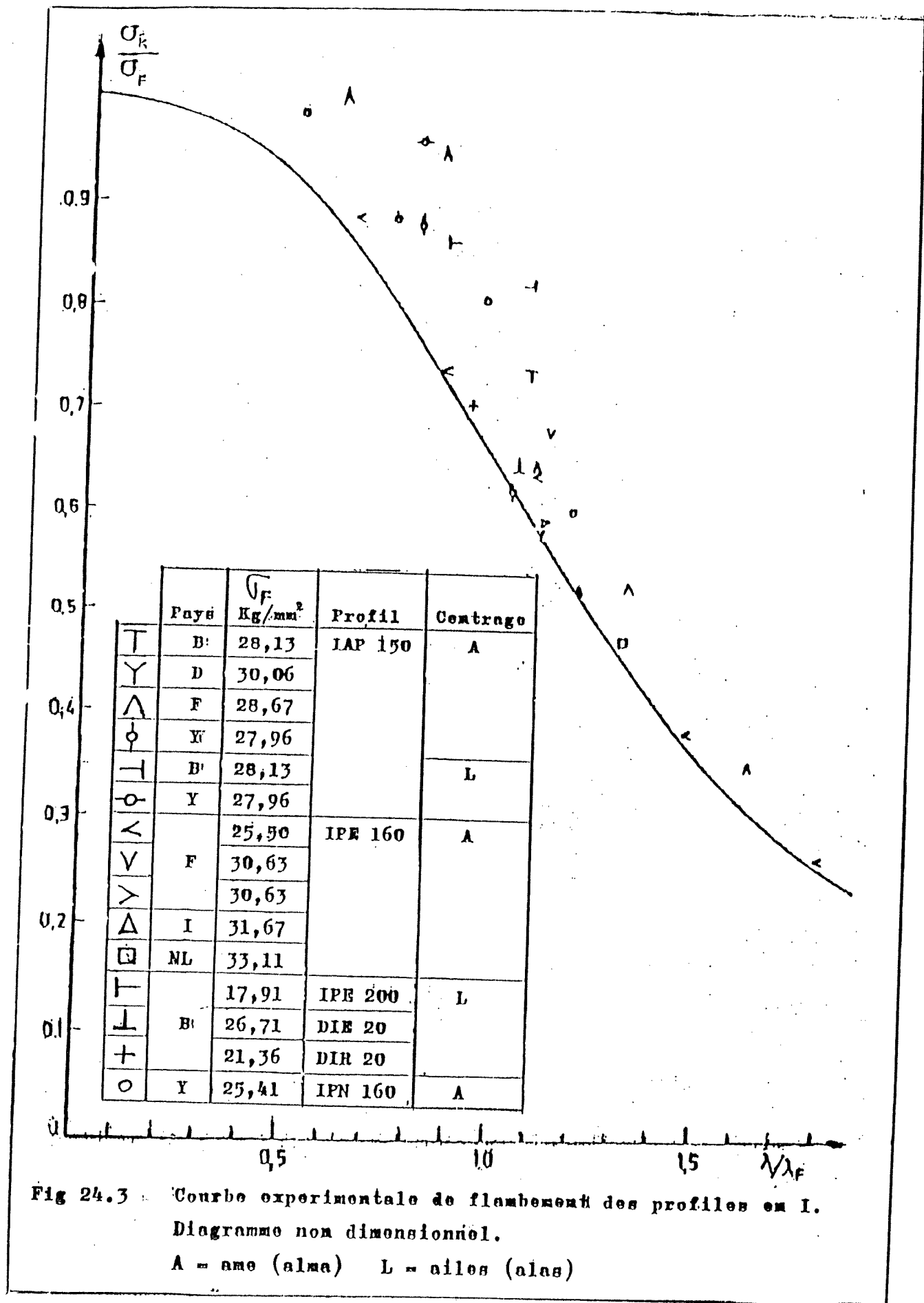


Fig 24.3 Courbe expérimentale de flambement des profils en I.
Diagramme non dimensionnel.
A = aile (alma) L = ailes (alas)

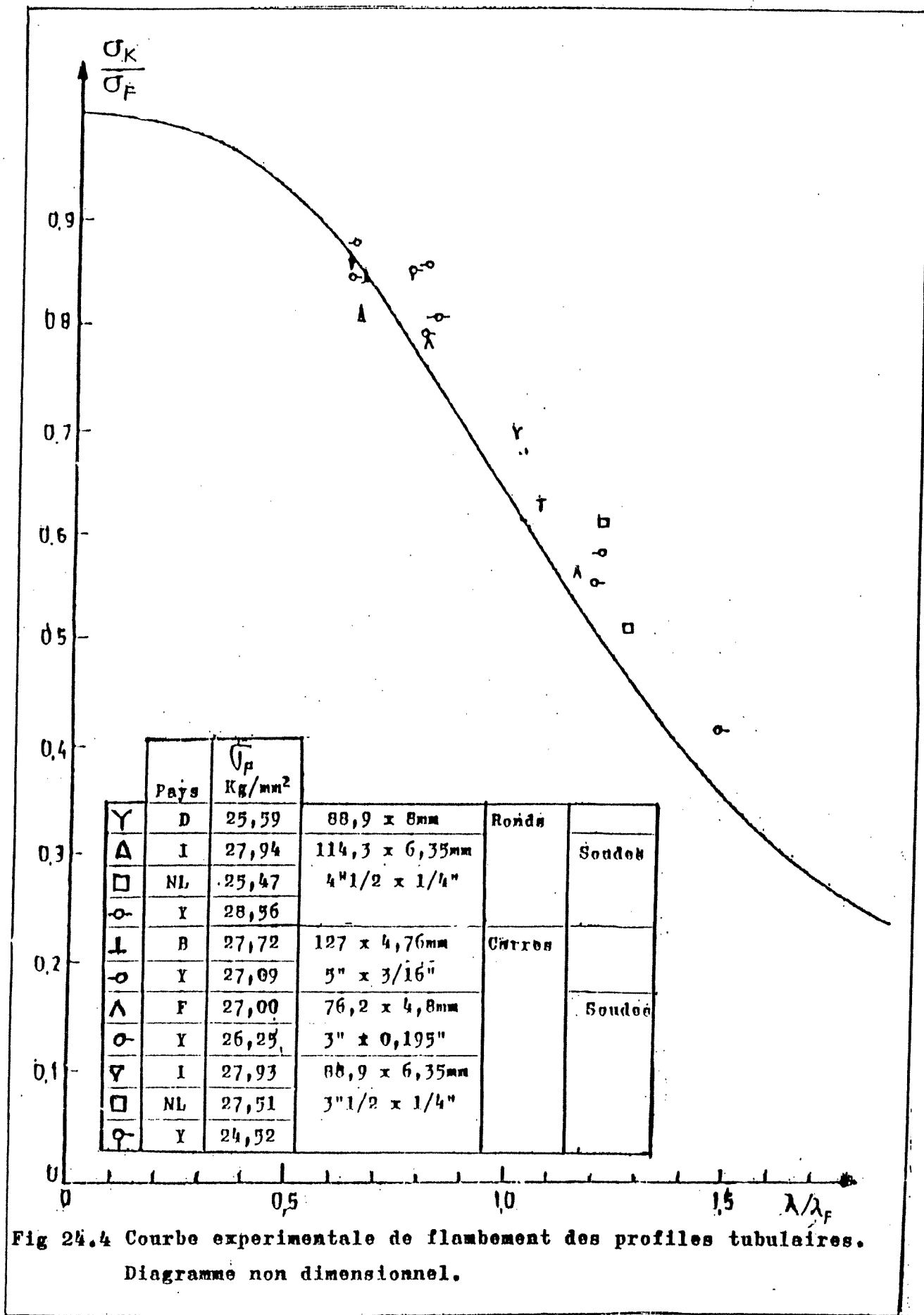


Fig 24.4 Courbe expérimentale de flambement des profiles tubulaires.
Diagramme non dimensionnel.

CONVENCION EUROPEA DE LA CONSTRUCCION METALICA / DIN 18800

métodos de la estadística matemática, respetando así los principios mismos que hacen a la base de la búsqueda, y establecer el límite de fluencia a tener en cuenta en las curvas de pandeo, siendo la fluencia una de las variables aleatorias estadísticamente independientes, que actúan sobre la carga crítica, y es por ello que la fluencia debía ser diferente y superior a los resultados de ensayos de tracción. Este problema de probabilidad compuesta, ha permitido conservar así el principio de seguridad homogénea.-

Es así que se ha podido establecer las curvas experimentales representativas de pandeo y los límites de fluencia que se tomaron responden a la evidencia experimental, y éstos no deben ser sobrepasados, y conviene mantenerse muy próximos a ellos a fin de realizar una seguridad coherente y un dimensionamiento económico.-

En la Tabla IV puede verse las características de los perfiles ensayados:

Tabla IV

| Type de profil | $h \times t_a$ ou $\phi \times e$ mm | b \times e mm | Section nominal S_0 mm ² | t_y mm | nombre d'essais |
|-----------------------------------|--|--------------------|--|-------------|--------------------|
| 1. Profils I : | | | | | |
| IAP 150 | 150 x 8.5 | 75 x 8.5 | 2012 | 17.1 | 239 |
| IPE 160 | 160 x 5 | 82 x 7.4 | 2010 | 19.4 | 211 |
| IPE 200 | 200 x 9.6 | 100 x 8.5 | 2830 | 22.4 | 11 |
| IPN 160 | 160 x 9.5 | 11 x 9.5 | 2280 | 19.3 | 36 |
| 2. Profils I et H : | | | | | 54 |
| RSJ 5" 3" | 127 x 4.5 | 76.2 x 7.6 | 1706 | 17.2 | 10 |
| DIE 20 | 190 x 7 | 197 x 11 | 3703 | 19.6 | 11 |
| DJR 20 | 220 x 16 | 206 x 9.6 | 19594 | 22.0 | 11 |
| constitut soudé | 190 x 7 | 197 x 11 | 3703 | 19.6 | 22 |
| 3. Profils tubes ronds : | | | | | 137 |
| Tube sans soudure | 171 x 5.5 | | 1976 | 40.9 | 29 |
| BS 19 soudé | 114.3 x 6.35 | | 2154 | 38.1 | 40 |
| Tube sans soudure | 88.9 x 5 | | 1310 | 29.1 | 60 |
| Tube sans soudure | 88.9 x 8 | | 2028 | 28.7 | 10 |
| 4. Profils tubes courbes : | | | | | 168 |
| BS 19 sans soudure | 127 x 4.76 | | 2370 | 47.8 | 67 |
| BS 19 soudé | 88.9 x 6.35 | | 1990 | 32.0 | 40 |
| BS 19 soudé | 76.2 x 4.88 | | 1329 | 28.7 | 81 |
| 5. Profils en I : | | | | | 94 |
| 1/2 IPN 200 | 100 x 7.5 | 90 x 11.3 | 1972 | 18.8 | 40 |
| 1 A" - 3" | 76.2 x 12.7 | 101.6 x 12.7 | 2104 | 21.6 | 10 |
| TB 60 | 60 x 10 | 120 x 10 | 1700 | 14.8 | 30 |
| cornières L rivées | 70 x 12 x 71 | 12 701 x 7 | 1872 | 21.2 | 14 |
| 6. Profils en caisson : | | | | | 76 |
| caisson carre soudé | 150 x 10 | 150 x 10 | 3600 | 32.1 | 21 |
| 2 cornières soudées | 50 x 5 | 50 x 5 | 987 | 20 | 54 |

A continuación pueden verse las tablas: A₁, B₁, A₂, A₃, B₂, B₃, A₄, A₅, A₆, B₄, B₅, A₇, B₆, de ensayos realizados por los diferentes países en el cual constan el número de ensayos, el país, tipo de perfil, N= Nro. de ensayos realizados, esbeltez λ , m= σ_m = tensión media, s= desviación standard y $\sigma_k = m - 2s$ = tensión crítica.

EXPLOITATION DES RESULTATS D'ESSAIS DE FLAMBEMENT

TABLEAU A 1. -- *Contraintes d'affaissement calculées sur la section nominale*

| n° | Pays | Profil | N | λ | m | s | Profil en I |
|----|------|---------|----|-----------|---------|---------|----------------------|
| | | | | | kgf/mm² | kgf/mm² | $m = 2,5$ kgf/mm² |
| 1 | D | IAP 150 | 4 | 90 | 19,430 | 1,047 | 17,336 |
| 2 | B | | 2 | 90 | 21,745 | 0,417 | 20,911 |
| 3 | F | | 20 | 50 | 30,335 | 0,773 | 28,790 |
| 4 | | | 19 | 70 | 28,894 | 0,703 | 27,489 |
| 5 | | | 20 | 90 | 22,085 | 1,845 | 18,395 |
| 6 | | | 20 | 110 | 16,339 | 0,588 | 15,163 |
| 7 | | | 20 | 140 | 10,482 | 0,199 | 10,083 |
| 8 | | | 20 | 170 | 7,175 | 0,103 | 6,969 |
| 9 | F | | 26 | 170 | 6,209 | 0,336 | 5,536 |
| 10 | Y | | 15 | 66,7 | 26,551 | 0,885 | 24,781 |
| 11 | | | 8 | 86,7 | 20,850 | 1,757 | 17,340 |
| 12 | F | IPE 160 | 20 | 90 | 19,347 | 2,033 | 15,281 |
| 13 | | | 19 | 170 | 5,925 | 0,298 | 5,329 |
| 14 | B* | | 6 | 90 | 26,198 | 1,647 | 22,905 |
| 15 | D* | | 8 | 90 | 23,629 | 1,898 | 19,832 |
| 16 | Y* | | 3 | 66,7 | 28,693 | 0,964 | 26,765 |
| 17 | F | | 30 | 55 | 27,902 | 2,733 | 22,435 |
| 18 | | | 30 | 75 | 23,150 | 2,430 | 18,290 |
| 19 | | | 31 | 95 | 18,696 | 1,457 | 15,783 |
| 20 | | | 30 | 105 | 15,271 | 1,225 | 12,820 |
| 21 | | | 22 | 130 | 11,350 | 1,003 | 9,344 |
| 22 | | | 17 | 160 | 7,444 | 0,561 | 6,322 |
| 23 | F | | 10 | 95 | 22,703 | 0,818 | 21,066 |
| 24 | F | | 10 | 95 | 22,387 | 1,652 | 19,083 |
| 25 | GB | | 6 | 95 | 20,670 | 1,083 | 18,504 |
| 26 | I | | 9 | 95 | 19,396 | 0,924 | 17,548 |
| 27 | NL | | 10 | 102 | 19,033 | 1,815 | 15,401 |

* Centrage sur l'aile

- D= Alemania
- B= Belgica
- F= Francia
- Y= Yugoslavia
- GB= Gran Bretaña
- I= Italia
- NL= Países Bajos

EXPLOITATION DES RÉSULTATS D'ESSAIS DE FLAMBEMENT

TABLEAU B 1. Contraintes d'affaissement calculées sur la section réelle

| n° | Pays | Profil | N | λ | m kgf/mm ² | s kgf/mm ² | Profil en I $m - 2s$ kgf/mm ² |
|----|------|---------|----|-----------|----------------------------|----------------------------|--|
| 1 | D | IAP 150 | 4 | 90 | 19,327 | 1,038 | 17,251 |
| 2 | B | | 2 | 90 | 21,550 | 0,509 | 20,532 |
| 3 | F | | 20 | 50 | 30,205 | 0,659 | 28,886 |
| 4 | | | 19 | 70 | 28,640 | 0,746 | 27,149 |
| 5 | | | 20 | 90 | 21,965 | 1,873 | 18,219 |
| 6 | | | 20 | 110 | 16,283 | 0,640 | 15,004 |
| 7 | | | 20 | 140 | 10,403 | 0,188 | 10,027 |
| 8 | | | 20 | 170 | 7,124 | 0,117 | 6,889 |
| 9 | F | | 26 | 170 | 6,342 | 0,380 | 5,580 |
| 10 | Y | | 15 | 66,7 | 26,192 | 0,834 | 24,525 |
| 11 | | | 8 | 86,7 | 20,729 | 1,763 | 17,199 |
| 12 | F | IPE 160 | 20 | 90 | 19,256 | 2,015 | 15,152 |
| 13 | | | 19 | 170 | 5,946 | 0,329 | 5,307 |
| 14 | B | | 6 | 90 | 26,108 | 1,542 | 23,024 |
| 15 | D | | 8 | 90 | 23,489 | 1,905 | 19,678 |
| 16 | Y | | 3 | 66,7 | 28,213 | 0,720 | 26,772 |
| 17 | F | | 30 | 55 | 27,480 | 2,477 | 22,525 |
| 18 | | | 30 | 75 | 22,810 | 2,050 | 18,710 |
| 19 | | | 31 | 95 | 18,446 | 1,207 | 16,032 |
| 20 | | | 30 | 105 | 15,056 | 0,997 | 13,062 |
| 21 | | | 22 | 130 | 11,140 | 0,727 | 9,686 |
| 22 | | | 17 | 160 | 7,342 | 0,359 | 6,623 |
| 23 | F | | 10 | 95 | 21,928 | 0,776 | 20,376 |
| 24 | F | | 10 | 95 | 21,616 | 1,855 | 17,905 |
| 25 | GB | | 6 | 95 | | | |
| 26 | I | | 9 | 95 | 18,550 | 1,087 | 16,377 |
| 27 | NL | | 10 | 102 | 19,033 | 1,816 | 15,402 |

TABLEAU A2. --- Contraintes d'affaissement calculées sur la section nominale

| n° | Pays | Profil | N | λ | Profil en I | | |
|----|------|-------------|----|-----------|----------------------------|----------------------------|---------------------------------|
| | | | | | m kgf/mm ² | s kgf/mm ² | $m - 2s$ kgf/mm ² |
| 1 | B | IPE 200 | 8 | 90 | 20,255 | 2,500 | 15,255 |
| 2 | | DIE 20 | 7 | 90 | 17,617 | 0,617 | 16,413 |
| 3 | | DIR 20 | 8 | 90 | 17,590 | 0,779 | 16,031 |
| 4 | | I soudé | 8 | 90 | 15,220 | 0,716 | 13,788 |
| 5 | | I soudé | 8 | 90 | 15,758 | 1,588 | 12,582 |
| 6 | | RSJ 5" x 3" | 10 | 70 | 27,168 | 2,312 | 22,545 |
| 7 | Y | IPN 160 | 9 | 44,2 | 26,032 | 0,656 | 24,719 |
| 8 | | | 9 | 64,2 | 23,550 | 0,821 | 21,905 |
| 9 | | | 9 | 84,3 | 21,750 | 0,893 | 19,963 |
| 10 | | | 9 | 104,2 | 18,160 | 1,655 | 14,853 |
| 11 | B | IPE 200 | 3 | 90 | 19,767 | 4,125 | 11,516 |
| 12 | | DIE 20 | 2 | 90 | 19,315 | 0,091 | 19,133 |
| 13 | | DIR 20 | 3 | 90 | 21,673 | 2,424 | 16,825 |
| 14 | | I soudé | 3 | 90 | 20,247 | 0,901 | 18,445 |
| 15 | | I soudé | 3 | 90 | 18,557 | 1,275 | 16,007 |

Barres recuites

4 et 14 soudage manuel

1 et 15 soudage automatique

TABLEAU A3. --- Contraintes d'affaissement calculées sur la section nominale

| n° | Pays | Profil | N | λ | Profil en T | | |
|----|------|--------------------|------|-----------|----------------------------|----------------------------|---------------------------------|
| | | | | | m kgf/mm ² | s kgf/mm ² | $m - 2s$ kgf/mm ² |
| 1 | D | 2 cornières rivées | 1,1" | 90 | 15,94 | 1,226 | 13,482 |
| 2 | D | TB 60 | 17 | 90 | 20,86 | 1,632 | 17,604 |
| 3 | NL | | 11 | 114 | 16,89 | 1,667 | 16,893 |
| 4 | GB | 4" x 3" | 10 | 70 | 19,76 | 1,138 | 17,481 |
| 5 | Y | 1/2 IPN 200 | 7 | 38,7 | 25,28 | 0,449 | 24,387 |
| 6 | | | 9 | 48,7 | 22,57 | 1,510 | 19,554 |
| 7 | | | 8 | 68,7 | 21,59 | 0,877 | 19,835 |
| 8 | | | 9 | 88,8 | 18,90 | 2,069 | 14,767 |
| 9 | | | 7 | 108,7 | 16,81 | 1,592 | 13,631 |

TABLEAU B 2. — *Contraintes d'affaissement calculées sur la section réelle*

Profil en I

| n° | Pays | Profil | N | λ | m kgf/mm ² | s kgf/mm ² | $m - 2 s$ kgf/mm ² |
|----|------|-------------|----|-----------|----------------------------|----------------------------|----------------------------------|
| 1 | B | IPE 200 | 8 | 90 | 19,545 | 2,074 | 15,398 |
| 2 | | DIE 20 | 7 | 90 | 18,166 | 0,613 | 16,939 |
| 3 | | DIR 20 | 8 | 90 | 16,36 | 0,792 | 14,774 |
| 4 | | I soudé | 8 | 90 | 14,989 | 0,552 | 13,884 |
| 5 | | I soudé | 8 | 90 | 15,709 | 1,684 | 12,341 |
| 6 | Y | RSJ 5" X 3" | 10 | 70 | | | |
| 7 | | IPN 160 | 9 | 44,2 | 26,54 | 0,753 | 25,018 |
| 8 | | | 9 | 64,2 | 24,12 | 0,843 | 22,434 |
| 9 | | | 9 | 84,3 | 22,26 | 0,919 | 20,425 |
| 10 | | | 9 | 104,2 | 18,50 | 1,703 | 15,082 |
| 11 | B | IPE 200 | 3 | 90 | 19,45 | 4,016 | 11,419 |
| 12 | | DIE 20 | 2 | 90 | 19,98 | 0,184 | 19,612 |
| 13 | | DIR 20 | 3 | 90 | 20,66 | 2,379 | 15,902 |
| 14 | | I soudé | 3 | 90 | 20,35 | 0,905 | 18,538 |
| 15 | | I soudé | 3 | 90 | 18,43 | 1,477 | 15,476 |

 TABLEAU B 3. — *Contraintes d'affaissement calculées sur la section réelle*

Profil en T

| n° | Pays | Profil | N | λ | m kgf/mm ² | s kgf/mm ² | $m - 2 s$ kgf/mm ² |
|----|------|--------------------|----|-----------|----------------------------|----------------------------|----------------------------------|
| | | 2 cornières rivées | | | | | |
| 1 | D | TB 60 | 14 | 90 | 15,53 | 0,930 | 13,670 |
| 2 | D | | 17 | 90 | 20,71 | 1,610 | 17,490 |
| 3 | NL | | 11 | 114 | 16,32 | 1,581 | 13,161 |
| 4 | GB | 4" X 3" | 10 | 70 | | | |
| 5 | Y | 1/2 IPN 200 | 7 | 38,7 | 25,48 | 0,463 | 25,554 |
| 6 | | | 9 | 48,7 | 22,98 | 1,451 | 20,075 |
| 7 | | | 8 | 68,7 | 21,89 | 0,938 | 20,019 |
| 8 | | | 9 | 88,3 | 19,24 | 2,009 | 15,225 |
| 9 | | | 7 | 108,7 | 16,89 | 1,577 | 13,738 |

Profil en tube rond

| n° | Pays | Profil $\varnothing \times e$ | N | λ | m kgf/mm ² | s kgf/mm ² | $m - 2s$ kgf/mm ² | Tube soudé |
|----|------|----------------------------------|----|-----------|----------------------------|----------------------------|---------------------------------|------------|
| 1 | GB | 114,3 x 6,35 | 10 | 70 | 25,11 | 1,190 | 22,721 | |
| 2 | I | 4 1/2" x 1/4" | 10 | 55 | 22,86 | 0,490 | 21,884 | |
| 3 | NL | | 10 | 108 | 16,77 | 0,782 | 15,203 | |
| 4 | Y | | 10 | 70 | 24,80 | 1,438 | 21,914 | |
| 5 | D | 88,9 x 8 | 10 | 90 | 22,39 | 2,277 | 17,835 | |
| 6 | Y | 88,9 x 5 | 12 | 55 | 25,12 | 1,364 | 22,390 | |
| 7 | | | 12 | 70 | 22,81 | 0,933 | 20,941 | |
| 8 | | | 12 | 90 | 18,66 | 1,250 | 16,160 | |
| 9 | | | 12 | 105 | 15,70 | 0,825 | 14,048 | |
| 10 | | | 12 | 130 | 11,58 | 0,452 | 10,679 | |
| 11 | Y | 121 x 5,5 | 12 | 70 | 26,11 | 1,136 | 23,816 | |
| 12 | | | 7 | 90 | 24,46 | 2,124 | 20,215 | |
| 13 | | | 10 | 105 | 19,27 | 1,361 | 16,552 | |

TABLEAU A 5. — Contraintes d'affaissement calculées sur la section nominale

Profil en tube carré

| n° | Pays | Profil $b \times c$ | N | λ | m kgf/mm ² | s kgf/mm ² | $m - 2s$ kgf/mm ² | Tube soudé |
|----|------|------------------------|----|-----------|----------------------------|----------------------------|---------------------------------|------------|
| 1 | B | 127 x 4,76 | 12 | 56,3 | 26,82 | 1,376 | 24,066 | |
| 2 | | | 12 | 91,2 | 21,69 | 1,521 | 18,646 | |
| 3 | Y | 5" x 3/16" | 11 | 55 | 26,88 | 1,270 | 24,312 | |
| 4 | | | 10 | 70 | 26,80 | 2,099 | 22,605 | |
| 5 | | | 10 | 90 | 19,99 | 1,514 | 16,961 | |
| 6 | | | 12 | 105 | 18,11 | 1,058 | 15,981 | |
| 7 | F | 76,2 x 4,8 | 11 | 70 | 23,32 | 0,896 | 21,527 | |
| 8 | | | 12 | 100 | 17,80 | 1,189 | 15,425 | |
| 9 | Y | 3" x 0,195" | 12 | 55 | 24,23 | 0,884 | 22,462 | |
| 10 | | | 10 | 70 | 22,81 | 0,796 | 21,218 | |
| 11 | | | 11 | 90 | 20,29 | 1,099 | 18,091 | |
| 12 | | | 12 | 105 | 17,07 | 1,211 | 14,645 | |
| 13 | | | 12 | 130 | 11,96 | 0,374 | 11,216 | |
| 14 | GB | 88,9 x 6,35 | 10 | 70 | 27,59 | 0,651 | 26,293 | |
| 15 | I | 3 1/2" x 1/4" | 10 | 55 | 23,75 | 0,520 | 22,714 | |
| 16 | NL | | 10 | 109 | 16,17 | 0,656 | 14,856 | |
| 17 | Y | | 10 | 70 | 24,14 | 1,101 | 21,338 | |

CONVENTION EUROPEA DE LA CONSTRUCCION METALICA / DIN 18800

TABLEAU B 4. — Contraintes d'affaissement calculées sur la section réelle

Profil en tube rond

| n° | Pays | Profil $\sigma \times e$ | N | λ | m kgf/mm ² | s kgf/mm ² | $m - 2s$ kgf/mm ² |
|----|------|-------------------------------------|----|-----------|----------------------------|----------------------------|---------------------------------|
| 1 | GB | 114,3 × 6,35 | 10 | 70 | | | |
| 2 | I | 4 $\frac{1}{2}$ " × $\frac{1}{4}$ " | 10 | 55 | 23,43 | 0,538 | 22,354 |
| 3 | NL | | 10 | 108 | 16,98 | 0,779 | 15,420 |
| 4 | Y | | 10 | 70 | 25,09 | 1,115 | 22,859 |
| 5 | D | 88,9 × 8 | 10 | 90 | 21,60 | 1,964 | 17,676 |
| 6 | Y | 88,9 × 5 | 12 | 55 | 25,42 | 1,250 | 22,924 |
| 7 | | | 12 | 70 | 23,23 | 0,780 | 21,671 |
| 8 | | | 12 | 90 | 19,04 | 1,150 | 16,742 |
| 9 | | | 12 | 105 | 16,13 | 0,835 | 14,464 |
| 10 | | | 12 | 130 | 11,85 | 0,444 | 10,966 |
| 11 | Y | 121 × 5,5 | 12 | 70 | 25,42 | 0,879 | 23,663 |
| 12 | | | 7 | 90 | 22,45 | 1,162 | 20,131 |
| 13 | | | 10 | 105 | 18,17 | 0,579 | 17,011 |

TABLEAU B 5. — Contraintes d'affaissement calculées sur la section réelle

Profil en tube carré

| n° | Pays | Profil $b \times e$ | N | λ | m kgf/mm ² | s kgf/mm ² | $m - 2s$ kgf/mm ² |
|----|------|-------------------------------------|----|-----------|----------------------------|----------------------------|---------------------------------|
| 1 | B | 127 × 4,76 | 12 | 56,3 | 25,96 | 1,362 | 23,232 |
| 2 | | | 12 | 91,2 | 20,85 | 1,761 | 17,312 |
| 3 | Y | 5" × $\frac{3}{16}$ " | 11 | 55 | 26,02 | 1,226 | 23,572 |
| 4 | | | 10 | 70 | 25,55 | 1,355 | 22,839 |
| 5 | | | 10 | 90 | 19,29 | 1,410 | 16,471 |
| 6 | | | 12 | 105 | 17,61 | 1,018 | 15,570 |
| 7 | F | 76,2 × 4,8 | 11 | 70 | 22,79 | 0,867 | 21,055 |
| 8 | | | 12 | 100 | 17,47 | 1,179 | 15,110 |
| 9 | Y | 3" × 0,195" | 12 | 55 | 23,51 | 0,781 | 21,954 |
| 10 | | | 10 | 70 | 22,12 | 0,771 | 20,580 |
| 11 | | | 11 | 90 | 19,75 | 1,033 | 17,683 |
| 12 | | | 12 | 105 | 16,69 | 1,169 | 14,352 |
| 13 | | | 12 | 130 | 11,63 | 0,403 | 10,821 |
| 14 | GB | 88,9 × 6,35 | 10 | 70 | | | |
| 15 | I | 3 $\frac{1}{2}$ " × $\frac{1}{4}$ " | 10 | 55 | 22,79 | 0,359 | 22,069 |
| 16 | NL | | 10 | 109 | 15,35 | 0,746 | 13,861 |
| 17 | Y | | 10 | 70 | 23,56 | 1,478 | 20,607 |

TABLEAU A 6. --- *Contraintes d'affaissement calculées sur la section nominale*

| Profil en caisson | | | | | | | |
|-------------------|------|------------------------|----|-----------|----------------------------|----------------------------|----------------------------------|
| n° | Pays | Profil | N | λ | m kgf/mm ² | s kgf/mm ² | $m - 2 s$ kgf/mm ² |
| 1 | B | 4 tôles soudées | 8 | 90 | 17,13 | 0,724 | 15,684 |
| 2 | | | 8 | 90 | 17,26 | 1,682 | 13,891 |
| 3 | Y | 2 cornières soudées | 17 | 39,5 | 26,83 | 1,177 | 24,483 |
| 4 | | | 15 | 58,5 | 23,83 | 0,825 | 22,179 |
| 5 | | | 9 | 77,5 | 21,11 | 1,262 | 18,589 |
| 6 | | | 8 | 96,5 | 18,32 | 0,438 | 17,441 |
| 7 | B | 4 tôles soudées | 3 | 90 | 19,96 | 0,275 | 19,406 |
| 8 | | | 3 | 90 | 20,56 | 0,319 | 19,899 |

1 et 7 soudées manuellement

2 et 8 soudées automatiquement

TABLEAU B 6. --- *Contraintes d'affaissement calculées sur la section réelle*

| Profil en caisson | | | | | | | |
|-------------------|------|------------------------|----|-----------|----------------------------|----------------------------|----------------------------------|
| n° | Pays | Profil | N | λ | m kgf/mm ² | s kgf/mm ² | $m - 2 s$ kgf/mm ² |
| 1 | B | 4 tôles soudées | 8 | 90 | 17,19 | 0,938 | 15,312 |
| 2 | | | 8 | 90 | 17,02 | 1,717 | 13,586 |
| 3 | Y | 2 cornières soudées | 17 | 39,5 | 26,59 | 1,064 | 24,462 |
| 4 | | | 15 | 58,5 | 24,11 | 0,961 | 22,191 |
| 5 | | | 9 | 77,5 | 21,00 | 1,060 | 18,883 |
| 6 | | | 8 | 96,5 | 18,32 | 0,580 | 17,158 |
| 7 | B | 4 tôles soudées | 3 | 90 | 19,85 | 0,520 | 18,811 |
| 8 | | | 3 | 90 | 20,49 | 0,536 | 19,421 |

Cada ensayo de laboratorio, está debidamente documentado en un ficha, una de las cuales puede observarse en la Figura 25. -

CONVENTION EUROPÉENNE DE LA CONSTRUCTION MÉTALLIQUE

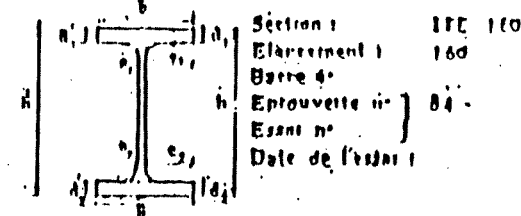
Commission n° 8 : Stabilité de forme

Sous-commission pour l'étude expérimentale du flambement

ESSAIS DE FLAMBEMENT

CENTRE EXPÉRIMENTAL, DE
RECHERCHES ET D'ÉTUDES
DU BATIMENT ET DES
TRAVAUX PUBLICS
12, Rue Brancion - PARIS 15^e

1^e Meilleure géométrie :

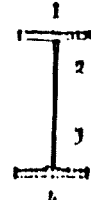


| | h | b | b_1 | b_2 | d_1 | d_2 | d_3 | d_4 | m | e_1 | e_2 | e_3 | f_1 | f_2 |
|---|-------|-------|-------|-------|-------|-------|-------|-------|------|-------|-------|-------|-------|-------|
| G | | | | | | | | | | | | | | |
| I | | | | | | | | | | | | | | |
| A | 120,0 | 120,0 | 81,3 | 82 | 7,71 | 7,68 | 7,79 | 7,63 | 9,10 | 9,35 | 30,3 | 30,0 | | |
| b | 120,0 | 120,0 | 81,7 | 82 | 7,76 | 7,68 | 7,89 | 7,65 | 9,11 | 9,35 | 30,3 | -1,38 | -1,38 | |
| C | 160 | 160 | 81,0 | 82,1 | 7,70 | 7,71 | 7,46 | 7,70 | 9,17 | 9,34 | 39,1 | 38,7 | -2,70 | -2,31 |
| D | 160 | 160 | 81,3 | 82,2 | 7,73 | 7,08 | 7,67 | 7,65 | 9,10 | 9,35 | 39,1 | 38,9 | -2,08 | -1,16 |
| E | 120,0 | 120,0 | 81,3 | 82,8 | 7,77 | 7,70 | 7,00 | 7,78 | 9,13 | 9,36 | 39 | 30,9 | -0,61 | -0,61 |

2^e Aire de la section (determinada por partes) : 2,010 mm²

3^e Características mecánicas del material Acero doux

| Temps en minutes | Limites élastiques kg/mm ² | 32,4 | | | |
|------------------|---------------------------------------|--------------------|------|------|------|
| | | Section intéressée | 1 | 3 | 1 |
| Traction | Limite élastique kg/mm ² | 34 | 33 | 37,5 | 37,3 |
| | Charge de rupture kg/mm ² | 44,0 | 43,3 | 33,2 | 37,0 |
| | Allongement rupture % | 20 | 20,5 | 31,9 | 26,3 |



4^e Essai de flambement

charge d'allongement : 15.300 kg

5^e Observations

Doubleurs très d'épaisseur.
France

Fig. 25

Fig. 25. Reproducción de la ficha establecida para cada ensayo de pandeo.

Hasta 1969, la cantidad de ensayos realizados fué de 1067, y se efectuaron en los siguientes laboratorios:

Les essais de flambement ont été effectués dans les laboratoires suivants :

| Pays | Laboratoire | Nombre d'essais de flambement |
|-----------------------|---|-------------------------------|
| Allemagne | Bundesanstalt für Materialprüfung (B.A.M.) Berlin. | 57 |
| Belgique | Laboratoire d'essais de l'Institut du Génie Civil de la Faculté des Sciences Appliquées de l'Université de Liège. | 111 |
| France | Centre Expérimental de Recherches et d'Etudes du Bâtiment et des Travaux Publics (C.E.B.T.P.) Paris. | 414 |
| Grande-Bretagne | Harry Stranger's Testing Laboratories, Summerfield House. | 46 |
| Italie | Laboratorio Prove Materiali, Istituto di Scienze delle Costruzioni, Politecnico di Milano. | 29 |
| Pays-Bas | Stevin Laboratorium Technische Hogeschool, Delft. | 41 |
| Yougoslavie | Institut za Ispitivanja Materijala, Faculté du Génie Civil de l'Université de Belgrade. | 369 |

CAPITULO 3: LAS CURVAS EUROPEAS DE PANDEO Y SUS LIMITES.

3.1.- Origen de las Curvas:

En una primera etapa, la Comisión Número 8 de la CECM consideró en 1970, que no se podía adoptar una sola curva de pandeo, pero tampoco una curva para cada tipo o gama de perfil, pues en este caso se debían publicar verdaderas encyclopédias de tablas y cifras. Se debía entonces definir un número finito de curvas y relacionar a ellas los distintos grupos de perfiles estudiados, pensando originariamente en cuatro y finalmente se adoptaron tres curvas de pandeo de tal forma de no perjudicar a ciertos perfiles utilizados corrientemente, denominándolas curvas "a", "b", y "c", relacionando con ellas los principales perfiles utilizados en la realidad, como puede verse en la Figura 26, permitiendo un escalonamiento racional de los perfiles, basado en los resultados de laboratorio y de los modelos matemáticos.-

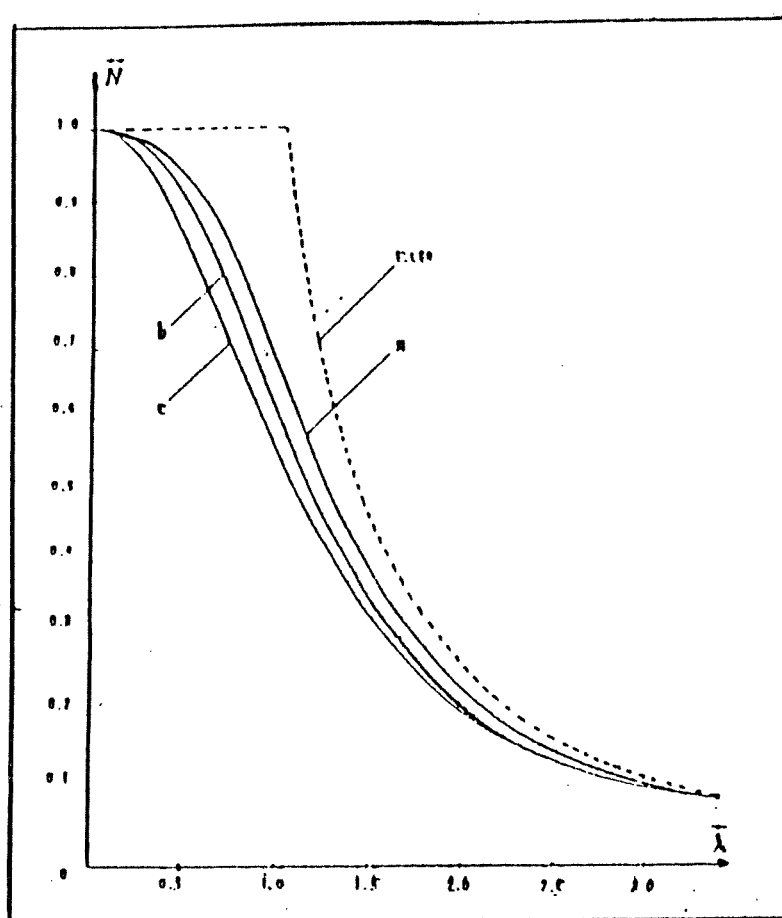


Fig. 26

Estas curvas están dadas en forma adimensional, pues se comprobó que variaciones moderadas del límite de fluencia no modifican su comportamiento en una forma sensible. En el eje de las abcisas figuran los valores de $\bar{\lambda}$ y en el de las ordenadas \bar{N} , siendo ambos adimensionales; pues \bar{N} es la relación entre la tensión crítica de pandeo y la tensión de fluencia del material, siendo además estas curvas tangentes a la horizontal que pasa por el valor $\bar{N}=1$ en el eje de las ordenadas. En la figura se observa, además de las tres curvas la ideal de Euler, que responde a la ecuación $\bar{N} = 1/\bar{\lambda}^2$.

La tensión límite de fluencia del acero, depende del espesor de la chapa, y el espesor a tener en cuenta en el perfil es el de la pared que juega un papel preponderante; por ejemplo en un perfil I serán las alas. Puede verse en la Tabla N°V, la tensión de fluencia para tres calidades de acero distintas.-

En la Tabla VI, puede observarse la clasificación de secciones y las curvas que a cada una de ellas corresponde, como asimismo en la última columna, las tensiones de fluencia en función de los espesores de las chapas que intervienen en la

Tabla V.

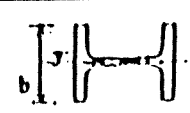
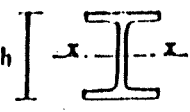
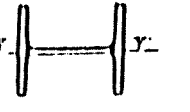
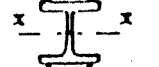
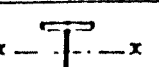
| A e r o | | σ_F Kg/cm ² | λ_F |
|---------|---|----------------------------------|-------------|
| S T 3 7 | 1 | 2,550 | 90,155 |
| | 2 | 2,400 | 92,929 |
| | 3 | 2,250 | 95,977 |
| | 4 | 2,100 | 99,346 |
| S T 4 4 | 1 | 2,800 | 86,036 |
| | 2 | 2,650 | 88,437 |
| | 3 | 2,500 | 91,052 |
| | 4 | 2,350 | 93,913 |
| S T 5 2 | 1 | 3,800 | 73,853 |
| | 2 | 3,600 | 75,877 |
| | 3 | 3,400 | 78,077 |
| | 4 | 3,200 | 80,479 |

CONVENCION EUROPEA DE LA CONSTRUCCION METALICA / DIN 18800

sección, cuyo número deberá confrontarse con el de la Tabla V, para determinar el valor de la misma, y con ello calcular la carga crítica característica o tensión característica de pandeo.

Esta propuesta o proyecto de adoptar tres curvas de pandeo, presentado por la Comisión N°8 tuvo principalmente dos grandes críticas, que prácticamente obligaron a rever algunos puntos y son:

Tabla VI

| C.E.C.M. CLASIFICACION DE SECCIONES | | Curva | | | |
|---|---|----------------------------|-----------------------------|-------|-------|
| | | | 1 | 2 | 3 |
| Tubos laminados terminados en caliente |   | a | 1 | 2 | 3 |
| Tubos soldados terminados en caliente |   | a | 2 | 3 | 4 |
| Sección enjón soldada |  | b | 2 | 3 | 4 |
| Perfiles I o II laminados |  | Pandeo según eje y-y | $h/b > 1.7$ | b | 1 2 3 |
| | | | $h/b < 1.7$ | c | 1 2 3 |
| |  | Pandeo según eje x-x | $h/b > 1.2$ | a | 1 2 3 |
| | | | $h/b < 1.2$ | b | 1 2 3 |
| Perfiles I o II soldados |  | Pandeo según eje y-y | alas oxicortadas | b | 2 3 4 |
| | | | alas de chapas laminadas | c | 2 3 4 |
| |  | Pandeo según eje x-x | alas oxicortadas | b | 2 3 4 |
| | | | alas de chapas laminadas | b | 2 3 4 |
| Perfiles I o II laminados con planchaduras adi- cionalmente soldadas |  | Pandeo segun eje y-y | a | 2 3 4 | |
| |  | Pandeo segun eje x-x | b | 2 3 4 | |
| Viga de sección enjón recocida |  | a | 1 2 3 | | |
| Perfiles I o II recocidos |  | Pandeo segun eje y-y | b | 1 2 3 | |
| |  | Pandeo segun eje x-x | b | 1 2 3 | |
| Perfiles T, U, L |    | c | 1 2 3 | | |

1º) En el campo de las pequeñas esbelteces, había una pérdida de la capacidad portante, con relación a la carga de deformación plástica $N=1$, mientras que los ensayos realizados sobre barras cortas demostraban que era palpablemente posible sobreponer el mencionado valor. Existe en consecuencia un campo de esbelteces en el cual prevalece la tensión de fluencia sobre cualquier forma de inestabilidad del perfil. La comisión N°8 de la CECM, concilió estos puntos de vista, modificando las curvas "a", "b" y "c" de 1970, que se unían en forma tangencial en $N=1$ para $\lambda = 0$, introduciendo en 1976 en los diagramas de (N, λ) , una parte horizontal de $N=1$ hasta $\lambda = 0,2$ es decir, que en estas pequeñas esbelteces es posible desarrollar la carga de aplastamiento plástico, quedan entonces modificadas las curvas en el campo de las pequeñas esbelteces (Figura 27).-

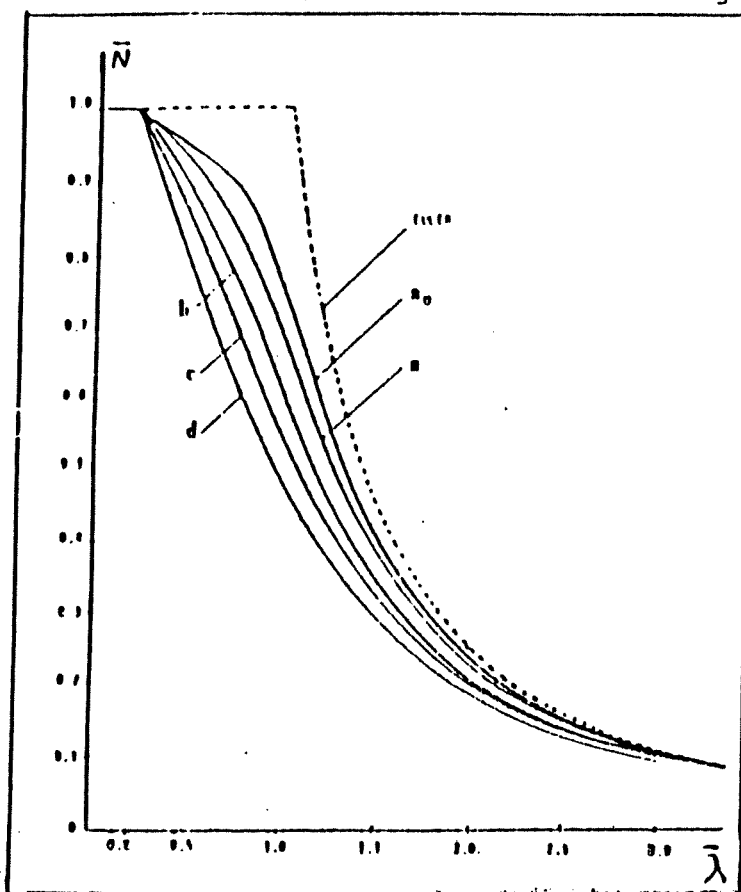


Fig. 27

2º) La segunda crítica fue con respecto a que las curvas "a", "b" y "c" fueron establecidas para aceros cuyo límite de fluencia está muy cerca de las calidades más utilizadas St37 y St52 y para perfiles corrientes cuyos espesores de sus componentes no superan los 40mm. Actualmente, se utilizan aceros de alta calidad y perfiles, cuyos espesores de alas son superiores a los 40mm y una concepción moderna del fenómeno del pandeo debía atender estos factores.-

La CECM concilió también estos puntos de vista y establece que, cuando más elevado es el límite de fluencia de un perfil determinado, menos nefasto será el efecto de las tensiones residuales, con respecto al valor de la tensión crítica. Las curvas "a", "b" y "c" se usarán para aceros cuyo límite de fluencia es inferior a 4300 kg/cm² y cuando los aceros posean un tensión de fluencia ≥ 4300 kg/cm² se deben sustituir las tres curvas anteriores por una nueva "a.", "a" y "b". (Figura 27).-

Con respecto a los perfiles en los que sus componentes

CONVENTION EUROPEA DE LA CONSTRUCCION METALICA / DIN 18800

tienden espesores superiores a los 40mm, se establece que las tensiones residuales son más perjudiciales que las que sirvieron de base para establecer las curvas "a", "b" y "c" razón por la cual aparece una curva suplementaria "d" situada por debajo de la "c" y a esta curva se deben referir los perfiles laminados I o H, cualquiera sea el plano de pandeo, y para los perfiles I o H soldados si pandean con respecto al eje y-y, pero si éstos pandean con respecto al eje x-x se debe utilizar la curva "c". En la Figura 27 puede verse las tres curvas anteriores "a", "b" y "c" modificadas y las dos definidas recientemente "a₀" y "d".-

También se confecciona una tabla con el valor de las tensiones de fluencia, en función de los espesores de las chapas, y ahora sí aparecen espesores mayores de 40 mm.-

Tabla VII:

| Aero | espesor mm. | σ_F Kg/cm^2 | λ_F |
|--------|------------------|--------------------------------|-------------|
| S T 37 | $e \leq 20$ | 2.550 | 90,155 |
| | $20 < e \leq 30$ | 2.400 | 92,929 |
| | $30 < e \leq 40$ | 2.250 | 95,977 |
| | $40 < e$ | 2.100 | 99,346 |
| S T 44 | $e \leq 20$ | 2.800 | 86,036 |
| | $20 < e \leq 30$ | 2.650 | 88,437 |
| | $30 < e \leq 40$ | 2.500 | 91,052 |
| | $40 < e$ | 2.350 | 93,913 |
| S T 52 | $e \leq 20$ | 3.800 | 73,853 |
| | $20 < e \leq 30$ | 3.600 | 75,877 |
| | $30 < e \leq 40$ | 3.400 | 78,077 |
| | $40 < e$ | 3.200 | 80,479 |

Es mucho más fácil trabajar con tablas, por eso se han confeccionado tabulaciones de las curvas que a continuación se transcribe.-

Tabla VIII:

Valores de \bar{N} para la curva "a" del C.E.C.M.

| i/λ_r | 0. | 0.01 | 0.02 | 0.03 | 0.04 | 0.05 | 0.06 | 0.07 | 0.08 | 0.09 |
|---------------|--------|--------|--------|--------|--------|--------|--------|--------|--------|--------|
| .0 | 1.0000 | 1.0000 | 1.0000 | 1.0000 | 1.0000 | 1.0000 | 1.0000 | 1.0000 | 1.0000 | 1.0000 |
| .1 | 1.0000 | 1.0000 | 1.0000 | 1.0000 | 1.0000 | 1.0000 | 1.0000 | 1.0000 | 1.0000 | 1.0000 |
| .2 | 1.0000 | 0.9981 | 0.9962 | 0.9942 | 0.9922 | 0.9900 | 0.9877 | 0.9854 | 0.9829 | 0.9805 |
| .3 | 0.9780 | 0.9756 | 0.9731 | 0.9706 | 0.9682 | 0.9657 | 0.9632 | 0.9607 | 0.9582 | 0.9556 |
| .4 | 0.9530 | 0.9504 | 0.9477 | 0.9449 | 0.9421 | 0.9392 | 0.9362 | 0.9330 | 0.9298 | 0.9265 |
| .5 | 0.9230 | 0.9193 | 0.9156 | 0.9117 | 0.9078 | 0.9039 | 0.9000 | 0.8961 | 0.8923 | 0.8885 |
| .6 | 0.8848 | 0.8810 | 0.8772 | 0.8733 | 0.8693 | 0.8652 | 0.8611 | 0.8570 | 0.8530 | 0.8489 |
| .7 | 0.8447 | 0.8404 | 0.8359 | 0.8312 | 0.8264 | 0.8214 | 0.8164 | 0.8115 | 0.8055 | 0.8015 |
| .8 | 0.7965 | 0.7914 | 0.7860 | 0.7806 | 0.7749 | 0.7692 | 0.7634 | 0.7575 | 0.7515 | 0.7455 |
| .9 | 0.7394 | 0.7333 | 0.7270 | 0.7207 | 0.7143 | 0.7078 | 0.7013 | 0.6947 | 0.6880 | 0.6813 |
| 1.0 | 0.6746 | 0.6678 | 0.6610 | 0.6541 | 0.6473 | 0.6404 | 0.6336 | 0.6267 | 0.6198 | 0.6130 |
| 1.1 | 0.6061 | 0.5993 | 0.5925 | 0.5858 | 0.5791 | 0.5725 | 0.5660 | 0.5595 | 0.5530 | 0.5466 |
| 1.2 | 0.5403 | 0.5339 | 0.5276 | 0.5213 | 0.5151 | 0.5090 | 0.5029 | 0.4970 | 0.4911 | 0.4854 |
| 1.3 | 0.4798 | 0.4742 | 0.4687 | 0.4633 | 0.4580 | 0.4527 | 0.4475 | 0.4423 | 0.4372 | 0.4321 |
| 1.4 | 0.4271 | 0.4221 | 0.4172 | 0.4124 | 0.4077 | 0.4030 | 0.3984 | 0.3939 | 0.3894 | 0.3850 |
| 1.5 | 0.3807 | 0.3764 | 0.3722 | 0.3681 | 0.3640 | 0.3600 | 0.3560 | 0.3521 | 0.3482 | 0.3444 |
| 1.6 | 0.3406 | 0.3369 | 0.3333 | 0.3297 | 0.3262 | 0.3227 | 0.3193 | 0.3159 | 0.3126 | 0.3094 |
| 1.7 | 0.3062 | 0.3031 | 0.3000 | 0.2970 | 0.2940 | 0.2910 | 0.2881 | 0.2852 | 0.2824 | 0.2796 |
| 1.8 | 0.2768 | 0.2741 | 0.2714 | 0.2687 | 0.2661 | 0.2635 | 0.2609 | 0.2583 | 0.2557 | 0.2532 |
| 1.9 | 0.2507 | 0.2482 | 0.2458 | 0.2434 | 0.2410 | 0.2387 | 0.2364 | 0.2342 | 0.2320 | 0.2298 |
| 2.0 | 0.2277 | 0.2256 | 0.2235 | 0.2215 | 0.2194 | 0.2174 | 0.2153 | 0.2133 | 0.2113 | 0.2094 |
| 2.1 | 0.2076 | 0.2056 | 0.2041 | 0.2024 | 0.2007 | 0.1990 | 0.1973 | 0.1956 | 0.1939 | 0.1923 |
| 2.2 | 0.1906 | 0.1890 | 0.1873 | 0.1857 | 0.1842 | 0.1826 | 0.1811 | 0.1795 | 0.1780 | 0.1766 |
| 2.3 | 0.1751 | 0.1737 | 0.1723 | 0.1709 | 0.1696 | 0.1682 | 0.1668 | 0.1655 | 0.1642 | 0.1628 |
| 2.4 | 0.1615 | 0.1602 | 0.1589 | 0.1576 | 0.1563 | 0.1551 | 0.1539 | 0.1527 | 0.1515 | 0.1503 |
| 2.5 | 0.1492 | 0.1482 | 0.1471 | 0.1461 | 0.1449 | 0.1437 | 0.1425 | 0.1414 | 0.1404 | 0.1394 |
| 2.6 | 0.1384 | 0.1373 | 0.1362 | 0.1351 | 0.1341 | 0.1332 | 0.1323 | 0.1313 | 0.1303 | 0.1294 |
| 2.7 | 0.1285 | 0.1275 | 0.1266 | 0.1256 | 0.1247 | 0.1238 | 0.1229 | 0.1220 | 0.1212 | 0.1203 |
| 2.8 | 0.1195 | 0.1187 | 0.1179 | 0.1171 | 0.1163 | 0.1155 | 0.1147 | 0.1140 | 0.1132 | 0.1124 |
| 2.9 | 0.1117 | 0.1110 | 0.1103 | 0.1096 | 0.1089 | 0.1082 | 0.1075 | 0.1068 | 0.1061 | 0.1055 |
| 3.0 | 0.1048 | 0.1041 | 0.1035 | 0.1028 | 0.1022 | 0.1015 | 0.1008 | 0.1002 | 0.0995 | 0.0988 |
| 3.1 | 0.0982 | 0.0976 | 0.0970 | 0.0964 | 0.0958 | 0.0952 | 0.0945 | 0.0940 | 0.0935 | 0.0929 |
| 3.2 | 0.0923 | 0.0917 | 0.0912 | 0.0906 | 0.0901 | 0.0895 | 0.0889 | 0.0884 | 0.0878 | 0.0873 |
| 3.3 | 0.0868 | 0.0863 | 0.0858 | 0.0854 | 0.0849 | 0.0844 | 0.0839 | 0.0834 | 0.0829 | 0.0824 |
| 3.4 | 0.0819 | 0.0814 | 0.0810 | 0.0806 | 0.0801 | 0.0797 | 0.0793 | 0.0788 | 0.0784 | 0.0779 |
| 3.5 | 0.0775 | 0.0771 | 0.0766 | 0.0762 | 0.0758 | 0.0754 | 0.0750 | 0.0746 | 0.0742 | 0.0738 |
| 3.6 | 0.0734 | | | | | | | | | |

Tabla IX:

Valores de \bar{N} para la curva "b" del C.E.C.M.

| λ/λ_r | 0. | 0.01 | 0.02 | 0.03 | 0.04 | 0.05 | 0.06 | 0.07 | 0.08 | 0.09 |
|---------------------|--------|--------|--------|--------|--------|--------|--------|--------|--------|--------|
| .0 | 1.0000 | 1.0000 | 1.0000 | 1.0000 | 1.0000 | 1.0000 | 1.0000 | 1.0000 | 1.0000 | 1.0000 |
| .1 | 1.0000 | 1.0000 | 1.0000 | 1.0000 | 1.0000 | 1.0000 | 1.0000 | 1.0000 | 1.0000 | 1.0000 |
| .2 | 1.0000 | 0.9967 | 0.9933 | 0.9899 | 0.9865 | 0.9830 | 0.9795 | 0.9760 | 0.9724 | 0.9687 |
| .3 | 0.9650 | 0.9612 | 0.9573 | 0.9533 | 0.9493 | 0.9453 | 0.9412 | 0.9372 | 0.9331 | 0.9291 |
| .4 | 0.9250 | 0.9211 | 0.9171 | 0.9132 | 0.9093 | 0.9054 | 0.9014 | 0.8974 | 0.8933 | 0.8892 |
| .5 | 0.8850 | 0.8807 | 0.8762 | 0.8717 | 0.8671 | 0.8624 | 0.8577 | 0.8529 | 0.8480 | 0.8430 |
| .6 | 0.8380 | 0.8329 | 0.8278 | 0.8227 | 0.8174 | 0.8122 | 0.8068 | 0.8015 | 0.7960 | 0.7905 |
| .7 | 0.7850 | 0.7794 | 0.7738 | 0.7681 | 0.7624 | 0.7566 | 0.7508 | 0.7449 | 0.7390 | 0.7330 |
| .8 | 0.7270 | 0.7210 | 0.7148 | 0.7087 | 0.7024 | 0.6961 | 0.6897 | 0.6832 | 0.6766 | 0.6700 |
| .9 | 0.6633 | 0.6566 | 0.6500 | 0.6434 | 0.6369 | 0.6305 | 0.6241 | 0.6177 | 0.6114 | 0.6051 |
| 1.0 | 0.5987 | 0.5924 | 0.5861 | 0.5799 | 0.5737 | 0.5676 | 0.5615 | 0.5554 | 0.5495 | 0.5435 |
| 1.1 | 0.5376 | 0.5318 | 0.5260 | 0.5202 | 0.5145 | 0.5088 | 0.5031 | 0.4975 | 0.4919 | 0.4864 |
| 1.2 | 0.4809 | 0.4754 | 0.4700 | 0.4647 | 0.4593 | 0.4541 | 0.4489 | 0.4438 | 0.4387 | 0.4337 |
| 1.3 | 0.4288 | 0.4240 | 0.4192 | 0.4145 | 0.4098 | 0.4052 | 0.4007 | 0.3962 | 0.3918 | 0.3874 |
| 1.4 | 0.3831 | 0.3788 | 0.3746 | 0.3704 | 0.3663 | 0.3622 | 0.3582 | 0.3542 | 0.3503 | 0.3464 |
| 1.5 | 0.3426 | 0.3389 | 0.3352 | 0.3317 | 0.3281 | 0.3246 | 0.3212 | 0.3178 | 0.3144 | 0.3111 |
| 1.6 | 0.3078 | 0.3046 | 0.3014 | 0.2982 | 0.2950 | 0.2919 | 0.2888 | 0.2857 | 0.2826 | 0.2796 |
| 1.7 | 0.2766 | 0.2737 | 0.2709 | 0.2681 | 0.2654 | 0.2617 | 0.2601 | 0.2576 | 0.2551 | 0.2526 |
| 1.8 | 0.2503 | 0.2478 | 0.2455 | 0.2431 | 0.2408 | 0.2385 | 0.2362 | 0.2340 | 0.2317 | 0.2295 |
| 1.9 | 0.2273 | 0.2251 | 0.2230 | 0.2208 | 0.2188 | 0.2167 | 0.2147 | 0.2127 | 0.2108 | 0.2089 |
| 2.0 | 0.2070 | 0.2052 | 0.2034 | 0.2016 | 0.1999 | 0.1982 | 0.1965 | 0.1948 | 0.1931 | 0.1914 |
| 2.1 | 0.1897 | 0.1880 | 0.1864 | 0.1848 | 0.1833 | 0.1818 | 0.1804 | 0.1790 | 0.1776 | 0.1761 |
| 2.2 | 0.1746 | 0.1730 | 0.1715 | 0.1701 | 0.1688 | 0.1675 | 0.1662 | 0.1648 | 0.1635 | 0.1621 |
| 2.3 | 0.1607 | 0.1594 | 0.1580 | 0.1567 | 0.1555 | 0.1542 | 0.1530 | 0.1518 | 0.1506 | 0.1494 |
| 2.4 | 0.1483 | 0.1471 | 0.1460 | 0.1449 | 0.1438 | 0.1427 | 0.1417 | 0.1407 | 0.1397 | 0.1387 |
| 2.5 | 0.1377 | 0.1366 | 0.1356 | 0.1346 | 0.1336 | 0.1327 | 0.1319 | 0.1311 | 0.1303 | 0.1293 |
| 2.6 | 0.1283 | 0.1273 | 0.1263 | 0.1253 | 0.1244 | 0.1237 | 0.1230 | 0.1222 | 0.1214 | 0.1206 |
| 2.7 | 0.1198 | 0.1190 | 0.1182 | 0.1174 | 0.1166 | 0.1158 | 0.1150 | 0.1142 | 0.1134 | 0.1127 |
| 2.8 | 0.1119 | 0.1111 | 0.1104 | 0.1096 | 0.1088 | 0.1081 | 0.1074 | 0.1066 | 0.1059 | 0.1052 |
| 2.9 | 0.1045 | 0.1038 | 0.1031 | 0.1024 | 0.1017 | 0.1010 | 0.1003 | 0.0997 | 0.0990 | 0.0983 |
| 3.0 | 0.0977 | 0.0971 | 0.0964 | 0.0958 | 0.0951 | 0.0945 | 0.0939 | 0.0932 | 0.0926 | 0.0920 |
| 3.1 | 0.0914 | 0.0908 | 0.0902 | 0.0896 | 0.0891 | 0.0885 | 0.0879 | 0.0874 | 0.0868 | 0.0863 |
| 3.2 | 0.0857 | 0.0852 | 0.0846 | 0.0841 | 0.0835 | 0.0830 | 0.0825 | 0.0819 | 0.0814 | 0.0809 |
| 3.3 | 0.0804 | 0.0799 | 0.0794 | 0.0789 | 0.0784 | 0.0779 | 0.0774 | 0.0769 | 0.0764 | 0.0760 |
| 3.4 | 0.0755 | 0.0750 | 0.0746 | 0.0742 | 0.0737 | 0.0733 | 0.0729 | 0.0724 | 0.0720 | 0.0716 |
| 3.5 | 0.0712 | 0.0708 | 0.0704 | 0.0700 | 0.0697 | 0.0693 | 0.0689 | 0.0686 | 0.0682 | 0.0679 |
| 3.6 | 0.0675 | | | | | | | | | |

T a b l a X :

Valores de \bar{N} para la curva "c" del C.E.C.M.

| λ/λ_r | 0. | 0.01 | 0.02 | 0.03 | 0.04 | 0.05 | 0.06 | 0.07 | 0.08 | 0.09 |
|---------------------|--------|--------|--------|--------|--------|--------|--------|--------|--------|--------|
| .0 | 1.0000 | 1.0000 | 1.0000 | 1.0000 | 1.0000 | 1.0000 | 1.0000 | 1.0000 | 1.0000 | 1.0000 |
| .1 | 1.0000 | 1.0000 | 1.0000 | 1.0000 | 1.0000 | 1.0000 | 1.0000 | 1.0000 | 1.0000 | 1.0000 |
| .2 | 1.0000 | 0.9949 | 0.9899 | 0.9849 | 0.9799 | 0.9750 | 0.9702 | 0.9654 | 0.9606 | 0.9558 |
| .3 | 0.9510 | 0.9461 | 0.9412 | 0.9362 | 0.9312 | 0.9261 | 0.9210 | 0.9158 | 0.9106 | 0.9053 |
| .4 | 0.9000 | 0.8947 | 0.8893 | 0.8838 | 0.8783 | 0.8727 | 0.8671 | 0.8613 | 0.8555 | 0.8495 |
| .5 | 0.8436 | 0.8376 | 0.8316 | 0.8256 | 0.8196 | 0.8136 | 0.8076 | 0.8015 | 0.7954 | 0.7892 |
| .6 | 0.7829 | 0.7766 | 0.7701 | 0.7636 | 0.7571 | 0.7506 | 0.7441 | 0.7377 | 0.7314 | 0.7250 |
| .7 | 0.7187 | 0.7124 | 0.7060 | 0.6997 | 0.6933 | 0.6869 | 0.6804 | 0.6738 | 0.6673 | 0.6608 |
| .8 | 0.6543 | 0.6478 | 0.6416 | 0.6353 | 0.6292 | 0.6232 | 0.6171 | 0.6111 | 0.6051 | 0.5991 |
| .9 | 0.5931 | 0.5871 | 0.5812 | 0.5754 | 0.5696 | 0.5640 | 0.5584 | 0.5529 | 0.5474 | 0.5421 |
| 1.0 | 0.5368 | 0.5315 | 0.5263 | 0.5211 | 0.5159 | 0.5108 | 0.5057 | 0.5006 | 0.4956 | 0.4906 |
| 1.1 | 0.4856 | 0.4807 | 0.4758 | 0.4710 | 0.4662 | 0.4614 | 0.4567 | 0.4521 | 0.4474 | 0.4428 |
| 1.2 | 0.4383 | 0.4338 | 0.4293 | 0.4249 | 0.4205 | 0.4162 | 0.4119 | 0.4076 | 0.4034 | 0.3993 |
| 1.3 | 0.3952 | 0.3911 | 0.3871 | 0.3832 | 0.3792 | 0.3754 | 0.3715 | 0.3678 | 0.3640 | 0.3604 |
| 1.4 | 0.3567 | 0.3532 | 0.3496 | 0.3462 | 0.3427 | 0.3393 | 0.3360 | 0.3328 | 0.3295 | 0.3263 |
| 1.5 | 0.3232 | 0.3211 | 0.3170 | 0.3139 | 0.3109 | 0.3078 | 0.3048 | 0.3018 | 0.2989 | 0.2959 |
| 1.6 | 0.2930 | 0.2900 | 0.2871 | 0.2842 | 0.2813 | 0.2785 | 0.2758 | 0.2731 | 0.2704 | 0.2678 |
| 1.7 | 0.2652 | 0.2626 | 0.2600 | 0.2575 | 0.2550 | 0.2525 | 0.2501 | 0.2478 | 0.2455 | 0.2432 |
| 1.8 | 0.2410 | 0.2388 | 0.2366 | 0.2345 | 0.2324 | 0.2303 | 0.2282 | 0.2262 | 0.2242 | 0.2222 |
| 1.9 | 0.2203 | 0.2184 | 0.2165 | 0.2146 | 0.2128 | 0.2110 | 0.2092 | 0.2075 | 0.2058 | 0.2041 |
| 2.0 | 0.2024 | 0.2007 | 0.1991 | 0.1974 | 0.1958 | 0.1942 | 0.1926 | 0.1910 | 0.1895 | 0.1879 |
| 2.1 | 0.1864 | 0.1850 | 0.1837 | 0.1823 | 0.1807 | 0.1790 | 0.1774 | 0.1759 | 0.1745 | 0.1731 |
| 2.2 | 0.1718 | 0.1703 | 0.1688 | 0.1674 | 0.1662 | 0.1650 | 0.1637 | 0.1624 | 0.1611 | 0.1598 |
| 2.3 | 0.1505 | 0.1572 | 0.1560 | 0.1548 | 0.1536 | 0.1524 | 0.1512 | 0.1501 | 0.1489 | 0.1478 |
| 2.4 | 0.1467 | 0.1456 | 0.1445 | 0.1435 | 0.1424 | 0.1414 | 0.1404 | 0.1394 | 0.1385 | 0.1375 |
| 2.5 | 0.1366 | 0.1357 | 0.1347 | 0.1337 | 0.1328 | 0.1318 | 0.1308 | 0.1300 | 0.1292 | 0.1283 |
| 2.6 | 0.1273 | 0.1261 | 0.1250 | 0.1244 | 0.1237 | 0.1230 | 0.1222 | 0.1214 | 0.1205 | 0.1196 |
| 2.7 | 0.1188 | 0.1181 | 0.1173 | 0.1165 | 0.1158 | 0.1150 | 0.1142 | 0.1135 | 0.1128 | 0.1120 |
| 2.8 | 0.1113 | 0.1106 | 0.1098 | 0.1091 | 0.1084 | 0.1077 | 0.1070 | 0.1063 | 0.1056 | 0.1050 |
| 2.9 | 0.1043 | 0.1036 | 0.1030 | 0.1023 | 0.1017 | 0.1010 | 0.1003 | 0.0997 | 0.0990 | 0.0984 |
| 3.0 | 0.0977 | 0.0971 | 0.0964 | 0.0958 | 0.0951 | 0.0945 | 0.0939 | 0.0932 | 0.0926 | 0.0920 |
| 3.1 | 0.0914 | 0.0908 | 0.0902 | 0.0896 | 0.0891 | 0.0885 | 0.0879 | 0.0874 | 0.0868 | 0.0863 |
| 3.2 | 0.0857 | 0.0852 | 0.0846 | 0.0841 | 0.0835 | 0.0830 | 0.0825 | 0.0819 | 0.0814 | 0.0809 |
| 3.3 | 0.0804 | 0.0799 | 0.0794 | 0.0789 | 0.0784 | 0.0779 | 0.0774 | 0.0769 | 0.0764 | 0.0760 |
| 3.4 | 0.0755 | 0.0750 | 0.0746 | 0.0742 | 0.0737 | 0.0733 | 0.0729 | 0.0724 | 0.0720 | 0.0716 |
| 3.5 | 0.0712 | 0.0708 | 0.0704 | 0.0700 | 0.0697 | 0.0693 | 0.0689 | 0.0686 | 0.0682 | 0.0679 |
| 3.6 | 0.0675 | | | | | | | | | |

Llevando los valores de las tablas VIII, IX, X y XI a un sistema de ejes coordenados (\bar{N}, λ), se obtienen las curvas a, b, c y d (Figura 28).-

Tabla XI: Valores de \bar{N} para la curva "d" del C.E.C.M.

| λ/λ_r | 0. | 0.01 | 0.02 | 0.03 | 0.04 | 0.05 | 0.06 | 0.07 | 0.08 | 0.09 |
|---------------------|--------|--------|--------|--------|--------|--------|--------|--------|--------|--------|
| .0 | 1.0000 | 1.0000 | 1.0000 | 1.0000 | 1.0000 | 1.0000 | 1.0000 | 1.0000 | 1.0000 | 1.0000 |
| .1 | 1.0000 | 1.0000 | 1.0000 | 1.0000 | 1.0000 | 1.0000 | 1.0000 | 1.0000 | 1.0000 | 1.0000 |
| .2 | 1.0000 | 0.9916 | 0.9829 | 0.9742 | 0.9656 | 0.9570 | 0.9487 | 0.9405 | 0.9325 | 0.9247 |
| .3 | 0.9170 | 0.9093 | 0.9017 | 0.8941 | 0.8866 | 0.8790 | 0.8713 | 0.8637 | 0.8560 | 0.8483 |
| .4 | 0.8407 | 0.8332 | 0.8259 | 0.8187 | 0.8115 | 0.8044 | 0.7974 | 0.7903 | 0.7833 | 0.7762 |
| .5 | 0.7691 | 0.7620 | 0.7549 | 0.7478 | 0.7407 | 0.7336 | 0.7266 | 0.7196 | 0.7126 | 0.7057 |
| .6 | 0.6989 | 0.6921 | 0.6853 | 0.6786 | 0.6719 | 0.6653 | 0.6587 | 0.6522 | 0.6457 | 0.6393 |
| .7 | 0.6329 | 0.6265 | 0.6202 | 0.6140 | 0.6078 | 0.6017 | 0.5957 | 0.5897 | 0.5837 | 0.5776 |
| .8 | 0.5720 | 0.5662 | 0.5605 | 0.5549 | 0.5493 | 0.5438 | 0.5383 | 0.5329 | 0.5276 | 0.5223 |
| .9 | 0.5171 | 0.5119 | 0.5067 | 0.5018 | 0.4988 | 0.4916 | 0.4870 | 0.4821 | 0.4774 | 0.4727 |
| 1.0 | 0.4681 | 0.4635 | 0.4589 | 0.4544 | 0.4500 | 0.4456 | 0.4413 | 0.4370 | 0.4328 | 0.4286 |
| 1.1 | 0.4244 | 0.4204 | 0.4163 | 0.4123 | 0.4084 | 0.4045 | 0.4006 | 0.3968 | 0.3930 | 0.3892 |
| 1.2 | 0.3855 | 0.3819 | 0.3782 | 0.3746 | 0.3711 | 0.3676 | 0.3641 | 0.3606 | 0.3572 | 0.3538 |
| 1.3 | 0.3505 | 0.3472 | 0.3439 | 0.3407 | 0.3375 | 0.3343 | 0.3312 | 0.3281 | 0.3250 | 0.3219 |
| 1.4 | 0.3189 | 0.3159 | 0.3130 | 0.3101 | 0.3072 | 0.3043 | 0.3016 | 0.2987 | 0.2959 | 0.2932 |
| 1.5 | 0.2905 | 0.2878 | 0.2862 | 0.2826 | 0.2800 | 0.2774 | 0.2749 | 0.2724 | 0.2700 | 0.2675 |
| 1.6 | 0.2651 | 0.2627 | 0.2603 | 0.2580 | 0.2557 | 0.2534 | 0.2511 | 0.2489 | 0.2467 | 0.2445 |
| 1.7 | 0.2423 | 0.2402 | 0.2381 | 0.2360 | 0.2339 | 0.2319 | 0.2299 | 0.2279 | 0.2259 | 0.2239 |
| 1.8 | 0.2220 | 0.2201 | 0.2182 | 0.2163 | 0.2145 | 0.2126 | 0.2100 | 0.2090 | 0.2073 | 0.2055 |
| 1.9 | 0.2038 | 0.2021 | 0.2004 | 0.1988 | 0.1971 | 0.1955 | 0.1939 | 0.1923 | 0.1907 | 0.1891 |
| 2.0 | 0.1876 | 0.1861 | 0.1846 | 0.1831 | 0.1816 | 0.1802 | 0.1787 | 0.1773 | 0.1759 | 0.1745 |
| 2.1 | 0.1731 | 0.1717 | 0.1704 | 0.1691 | 0.1677 | 0.1664 | 0.1651 | 0.1639 | 0.1626 | 0.1614 |
| 2.2 | 0.1601 | 0.1589 | 0.1577 | 0.1565 | 0.1553 | 0.1543 | 0.1530 | 0.1519 | 0.1507 | 0.1496 |
| 2.3 | 0.1485 | 0.1474 | 0.1463 | 0.1452 | 0.1442 | 0.1431 | 0.1421 | 0.1410 | 0.1400 | 0.1390 |
| 2.4 | 0.1380 | 0.1370 | 0.1361 | 0.1351 | 0.1341 | 0.1332 | 0.1322 | 0.1313 | 0.1304 | 0.1295 |
| 2.5 | 0.1286 | 0.1277 | 0.1268 | 0.1259 | 0.1251 | 0.1242 | 0.1234 | 0.1225 | 0.1217 | 0.1209 |
| 2.6 | 0.1201 | 0.1193 | 0.1185 | 0.1177 | 0.1169 | 0.1161 | 0.1153 | 0.1146 | 0.1138 | 0.1131 |
| 2.7 | 0.1123 | 0.1116 | 0.1109 | 0.1101 | 0.1094 | 0.1087 | 0.1080 | 0.1073 | 0.1066 | 0.1059 |
| 2.8 | 0.1052 | 0.1045 | 0.1038 | 0.1031 | 0.1024 | 0.1018 | 0.1011 | 0.1004 | 0.0998 | 0.0991 |
| 2.9 | 0.0985 | 0.0978 | 0.0972 | 0.0965 | 0.0959 | 0.0952 | 0.0946 | 0.0940 | 0.0934 | 0.0927 |
| 3.0 | 0.0921 | | | | | | | | | |

3.2.- Mecanismo de verificación de secciones:

Estas curvas están relacionadas con las diferentes secciones de los perfiles, y el ordenamiento concreto descansa sobre consideraciones teóricas y resultados experimentales, como puede verse en la Tabla XV del CECM, en la que figura también la tensión límite de fluencia a utilizar, estando ésta en función de los espesores de chapa que lo componen.-

Con la ayuda de estas tablas, la verificación se realiza de la siguiente manera: en función de $\bar{\lambda}$ y con la curva correspondiente al caso que se está tratando, se extrae el valor \bar{N} , y con éste se calcula la carga crítica o la tensión crítica característica:

$$(58) \quad \bar{N}_K = \bar{N} A \bar{U}_F$$

$$(59) \quad \bar{U}_K = \bar{N} \bar{U}_F$$

Esta carga crítica debe estar afectada por un coeficiente de seguridad, y que poseen los siguientes valores:

$\gamma = 1,50$ cuando la barra está solicitada por cargas principales (Estado H).-

$\gamma = 1,33$ cuando la barra está solicitada por cargas principales y adicionales (accidentales) (Estado HZ).-

Entonces en la verificación a realizar, se debe utilizar la carga de dimensionamiento, siendo esta la carga de servicio multiplicada por el coeficiente de seguridad γ , obteniéndose:

$$(60) \gamma N \leq \bar{N} A \sigma_F = N_K$$

y con esta comprobación, se puede asegurar que el coeficiente de seguridad de la barra, es igual o mayor que el requerido.-

También en este caso se puede obtener el método ω , pero en este caso tiene otro concepto (Tablas XII, XIII y XIV).-

$$(61) \frac{\gamma N}{A \bar{N}} \leq \sigma_F$$

$$(62) \frac{\gamma N}{A} \omega \leq \sigma_F$$

$$(63) \omega = \frac{\sigma_F}{\sigma_K} = \frac{1}{N}$$

Figura 28 : Curvas de Tensión Pandeo:

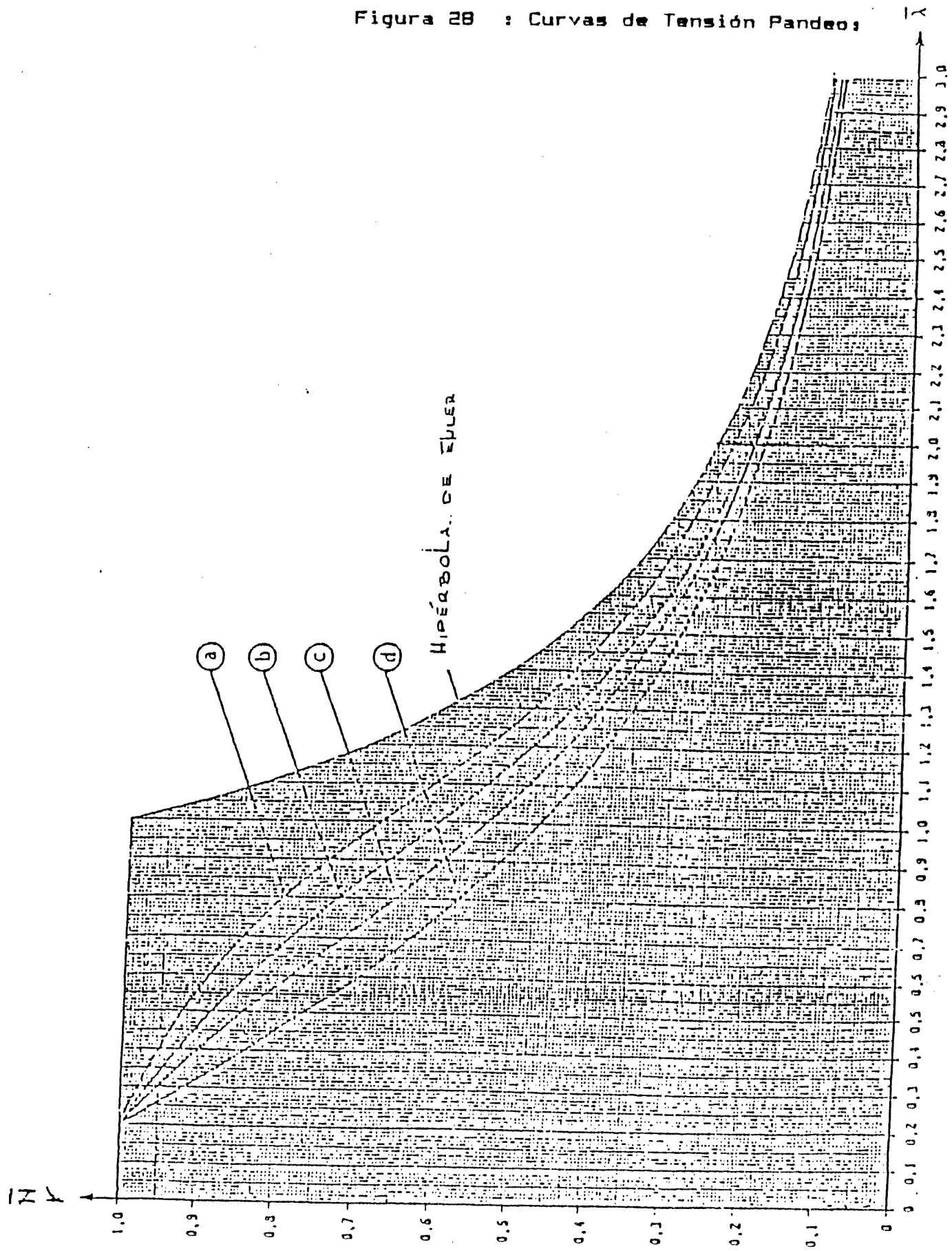


Tabla XII:

COEFICIENTES DE PANDEO (λ) PARA CURVA "n"

| λ | 0,00 | 0,01 | 0,02 | 0,03 | 0,04 | 0,05 | 0,06 | 0,07 | 0,08 | 0,09 |
|-----------|--------|--------|--------|--------|--------|--------|--------|--------|--------|--------|
| 0,0 | 1,000 | 1,000 | 1,000 | 1,000 | 1,000 | 1,000 | 1,000 | 1,000 | 1,000 | 1,000 |
| 0,1 | 1,000 | 1,000 | 1,000 | 1,000 | 1,000 | 1,000 | 1,000 | 1,000 | 1,000 | 1,000 |
| 0,2 | 1,000 | 1,002 | 1,004 | 1,006 | 1,008 | 1,010 | 1,012 | 1,015 | 1,017 | 1,020 |
| 0,3 | 1,022 | 1,025 | 1,028 | 1,030 | 1,033 | 1,036 | 1,038 | 1,041 | 1,044 | 1,046 |
| 0,4 | 1,049 | 1,052 | 1,055 | 1,058 | 1,061 | 1,065 | 1,068 | 1,072 | 1,076 | 1,079 |
| 0,5 | 1,083 | 1,088 | 1,092 | 1,097 | 1,102 | 1,106 | 1,111 | 1,116 | 1,121 | 1,125 |
| 0,6 | 1,130 | 1,135 | 1,140 | 1,145 | 1,150 | 1,156 | 1,161 | 1,167 | 1,172 | 1,178 |
| 0,7 | 1,184 | 1,190 | 1,196 | 1,203 | 1,210 | 1,217 | 1,226 | 1,232 | 1,241 | 1,248 |
| 0,8 | 1,233 | 1,264 | 1,272 | 1,281 | 1,290 | 1,300 | 1,310 | 1,320 | 1,331 | 1,341 |
| 0,9 | 1,352 | 1,364 | 1,376 | 1,388 | 1,400 | 1,413 | 1,426 | 1,439 | 1,453 | 1,468 |
| 1,0 | 1,482 | 1,497 | 1,513 | 1,529 | 1,545 | 1,562 | 1,578 | 1,596 | 1,613 | 1,631 |
| 1,1 | 1,650 | 1,669 | 1,688 | 1,707 | 1,727 | 1,747 | 1,767 | 1,787 | 1,808 | 1,829 |
| 1,2 | 1,851 | 1,873 | 1,895 | 1,918 | 1,941 | 1,965 | 1,988 | 2,012 | 2,036 | 2,060 |
| 1,3 | 2,084 | 2,109 | 2,134 | 2,158 | 2,183 | 2,209 | 2,235 | 2,261 | 2,287 | 2,314 |
| 1,4 | 2,341 | 2,369 | 2,400 | 2,425 | 2,453 | 2,481 | 2,510 | 2,539 | 2,568 | 2,597 |
| 1,5 | 2,627 | 2,657 | 2,687 | 2,717 | 2,747 | 2,778 | 2,809 | 2,840 | 2,872 | 2,904 |
| 1,6 | 2,936 | 2,968 | 3,000 | 3,033 | 3,066 | 3,099 | 3,132 | 3,166 | 3,199 | 3,232 |
| 1,7 | 3,266 | 3,299 | 3,333 | 3,367 | 3,401 | 3,436 | 3,471 | 3,506 | 3,541 | 3,577 |
| 1,8 | 3,613 | 3,648 | 3,685 | 3,722 | 3,758 | 3,795 | 3,833 | 3,871 | 3,911 | 3,949 |
| 1,9 | 3,989 | 4,029 | 4,068 | 4,108 | 4,149 | 4,189 | 4,230 | 4,270 | 4,310 | 4,352 |
| 2,0 | 4,392 | 4,433 | 4,474 | 4,515 | 4,558 | 4,600 | 4,645 | 4,688 | 4,733 | 4,776 |
| 2,1 | 4,817 | 4,864 | 4,900 | 4,941 | 4,983 | 5,025 | 5,068 | 5,112 | 5,157 | 5,200 |
| 2,2 | 5,247 | 5,291 | 5,339 | 5,385 | 5,429 | 5,476 | 5,522 | 5,571 | 5,618 | 5,663 |
| 2,3 | 5,711 | 5,757 | 5,804 | 5,851 | 5,896 | 5,945 | 5,995 | 6,042 | 6,090 | 6,143 |
| 2,4 | 6,192 | 6,242 | 6,293 | 6,345 | 6,398 | 6,447 | 6,498 | 6,549 | 6,600 | 6,653 |
| 2,5 | 6,702 | 6,748 | 6,798 | 6,845 | 6,901 | 6,959 | 7,012 | 7,072 | 7,123 | 7,174 |
| 2,6 | 7,225 | 7,283 | 7,342 | 7,402 | 7,457 | 7,508 | 7,559 | 7,616 | 7,675 | 7,728 |
| 2,7 | 7,782 | 7,843 | 7,899 | 7,962 | 8,019 | 8,078 | 8,137 | 8,197 | 8,251 | 8,313 |
| 2,8 | 8,368 | 8,425 | 8,482 | 8,540 | 8,598 | 8,658 | 8,718 | 8,772 | 8,834 | 8,897 |
| 2,9 | 8,953 | 9,009 | 9,066 | 9,124 | 9,183 | 9,242 | 9,302 | 9,362 | 9,425 | 9,479 |
| 3,0 | 9,542 | 9,606 | 9,662 | 9,728 | 9,785 | 9,852 | 9,921 | 9,980 | 10,050 | 10,121 |
| 3,1 | 10,183 | 10,246 | 10,309 | 10,373 | 10,438 | 10,504 | 10,582 | 10,638 | 10,695 | 10,764 |
| 3,2 | 10,834 | 10,905 | 10,965 | 11,038 | 11,099 | 11,173 | 11,249 | 11,312 | 11,390 | 11,455 |
| 3,3 | 11,521 | 11,588 | 11,655 | 11,710 | 11,779 | 11,848 | 11,919 | 11,990 | 12,063 | 12,136 |
| 3,4 | 12,210 | 12,285 | 12,346 | 12,407 | 12,484 | 12,547 | 12,610 | 12,690 | 12,755 | 12,837 |
| 3,5 | 12,903 | 12,970 | 13,055 | 13,123 | 13,193 | 13,263 | 13,333 | 13,405 | 13,477 | 13,550 |
| 3,6 | 13,624 | | | | | | | | | |

CONVENCION EUROPEA DE LA CONSTRUCCION METALICA / DIN 18800

Tabla XIII:

COEFICIENTES DE PANDEO ω PARA CURVA "b"

| $\bar{\lambda}$ | 0,00 | 0,01 | 0,02 | 0,03 | 0,04 | 0,05 | 0,06 | 0,07 | 0,08 | 0,09 |
|-----------------|--------|--------|--------|--------|--------|--------|--------|--------|--------|--------|
| 0,0 | 1,000 | 1,000 | 1,000 | 1,000 | 1,000 | 1,000 | 1,000 | 1,000 | 1,000 | 1,000 |
| 0,1 | 1,000 | 1,000 | 1,000 | 1,000 | 1,000 | 1,000 | 1,000 | 1,000 | 1,000 | 1,000 |
| 0,2 | 1,000 | 1,003 | 1,007 | 1,010 | 1,014 | 1,017 | 1,021 | 1,025 | 1,028 | 1,032 |
| 0,3 | 1,036 | 1,040 | 1,043 | 1,049 | 1,053 | 1,058 | 1,062 | 1,067 | 1,072 | 1,076 |
| 0,4 | 1,081 | 1,086 | 1,090 | 1,093 | 1,100 | 1,104 | 1,109 | 1,114 | 1,119 | 1,123 |
| 0,5 | 1,130 | 1,135 | 1,141 | 1,147 | 1,153 | 1,160 | 1,166 | 1,172 | 1,179 | 1,186 |
| 0,6 | 1,173 | 1,201 | 1,208 | 1,216 | 1,223 | 1,231 | 1,239 | 1,246 | 1,256 | 1,263 |
| 0,7 | 1,274 | 1,283 | 1,292 | 1,302 | 1,312 | 1,322 | 1,332 | 1,342 | 1,353 | 1,364 |
| 0,8 | 1,376 | 1,387 | 1,399 | 1,411 | 1,424 | 1,437 | 1,450 | 1,464 | 1,478 | 1,493 |
| 0,9 | 1,308 | 1,523 | 1,538 | 1,554 | 1,570 | 1,586 | 1,602 | 1,619 | 1,636 | 1,653 |
| 1,0 | 1,670 | 1,688 | 1,706 | 1,724 | 1,743 | 1,762 | 1,781 | 1,801 | 1,820 | 1,840 |
| 1,1 | 1,860 | 1,880 | 1,901 | 1,922 | 1,944 | 1,965 | 1,988 | 2,010 | 2,033 | 2,056 |
| 1,2 | 2,079 | 2,103 | 2,128 | 2,152 | 2,177 | 2,202 | 2,228 | 2,253 | 2,279 | 2,306 |
| 1,3 | 2,332 | 2,358 | 2,385 | 2,413 | 2,440 | 2,468 | 2,496 | 2,524 | 2,552 | 2,581 |
| 1,4 | 2,610 | 2,640 | 2,670 | 2,700 | 2,730 | 2,761 | 2,792 | 2,823 | 2,855 | 2,887 |
| 1,5 | 2,919 | 2,951 | 2,983 | 3,015 | 3,048 | 3,081 | 3,113 | 3,147 | 3,181 | 3,214 |
| 1,6 | 3,249 | 3,283 | 3,318 | 3,353 | 3,390 | 3,426 | 3,463 | 3,500 | 3,539 | 3,577 |
| 1,7 | 3,615 | 3,654 | 3,691 | 3,730 | 3,768 | 3,821 | 3,844 | 3,882 | 3,920 | 3,959 |
| 1,8 | 3,997 | 4,036 | 4,073 | 4,114 | 4,153 | 4,193 | 4,234 | 4,274 | 4,316 | 4,357 |
| 1,9 | 4,399 | 4,442 | 4,484 | 4,529 | 4,570 | 4,613 | 4,658 | 4,701 | 4,744 | 4,787 |
| 2,0 | 4,831 | 4,873 | 4,916 | 4,960 | 5,003 | 5,045 | 5,089 | 5,133 | 5,179 | 5,225 |
| 2,1 | 5,271 | 5,319 | 5,365 | 5,411 | 5,456 | 5,501 | 5,543 | 5,587 | 5,631 | 5,679 |
| 2,2 | 5,727 | 5,780 | 5,831 | 5,879 | 5,924 | 5,970 | 6,017 | 6,068 | 6,116 | 6,169 |
| 2,3 | 6,223 | 6,274 | 6,329 | 6,382 | 6,431 | 6,485 | 6,536 | 6,588 | 6,640 | 6,693 |
| 2,4 | 6,743 | 6,798 | 6,849 | 6,901 | 6,954 | 7,008 | 7,057 | 7,107 | 7,158 | 7,210 |
| 2,5 | 7,262 | 7,321 | 7,375 | 7,429 | 7,485 | 7,536 | 7,582 | 7,628 | 7,675 | 7,734 |
| 2,6 | 7,794 | 7,855 | 7,918 | 7,981 | 8,039 | 8,084 | 8,130 | 8,183 | 8,237 | 8,292 |
| 2,7 | 8,347 | 8,403 | 8,460 | 8,518 | 8,576 | 8,636 | 8,696 | 8,757 | 8,818 | 8,873 |
| 2,8 | 8,937 | 9,000 | 9,058 | 9,124 | 9,191 | 9,251 | 9,311 | 9,381 | 9,448 | 9,506 |
| 2,9 | 9,569 | 9,634 | 9,699 | 9,766 | 9,833 | 9,900 | 9,970 | 10,030 | 10,101 | 10,173 |
| 3,0 | 10,235 | 10,299 | 10,373 | 10,438 | 10,515 | 10,582 | 10,650 | 10,730 | 10,799 | 10,870 |
| 3,1 | 10,941 | 11,013 | 11,086 | 11,161 | 11,223 | 11,299 | 11,377 | 11,442 | 11,520 | 11,587 |
| 3,2 | 11,669 | 11,737 | 11,820 | 11,891 | 11,976 | 12,048 | 12,121 | 12,210 | 12,285 | 12,361 |
| 3,3 | 12,438 | 12,516 | 12,594 | 12,674 | 12,755 | 12,837 | 12,920 | 13,004 | 13,089 | 13,158 |
| 3,4 | 13,245 | 13,333 | 13,405 | 13,477 | 13,569 | 13,643 | 13,717 | 13,812 | 13,889 | 13,966 |
| 3,5 | 14,045 | 14,124 | 14,205 | 14,286 | 14,347 | 14,430 | 14,514 | 14,577 | 14,663 | 14,728 |
| 3,6 | 14,815 | | | | | | | | | |

Tabla XIV:

COEFICIENTES DE PANDEO (ω) PARA CURVA "e"

| $\bar{\lambda}$ | 0,00 | 0,01 | 0,02 | 0,03 | 0,04 | 0,05 | 0,06 | 0,07 | 0,08 | 0,09 |
|-----------------|--------|--------|--------|--------|--------|--------|--------|--------|--------|--------|
| 0,0 | 1,000 | 1,000 | 1,000 | 1,000 | 1,000 | 1,000 | 1,000 | 1,000 | 1,000 | 1,000 |
| 0,1 | 1,000 | 1,000 | 1,000 | 1,000 | 1,000 | 1,000 | 1,000 | 1,000 | 1,000 | 1,000 |
| 0,2 | 1,000 | 1,005 | 1,010 | 1,015 | 1,021 | 1,026 | 1,031 | 1,036 | 1,041 | 1,046 |
| 0,3 | 1,051 | 1,057 | 1,062 | 1,068 | 1,074 | 1,080 | 1,086 | 1,092 | 1,098 | 1,103 |
| 0,4 | 1,111 | 1,118 | 1,124 | 1,132 | 1,139 | 1,146 | 1,153 | 1,161 | 1,169 | 1,177 |
| 0,5 | 1,185 | 1,194 | 1,203 | 1,211 | 1,220 | 1,229 | 1,238 | 1,248 | 1,257 | 1,267 |
| 0,6 | 1,277 | 1,287 | 1,299 | 1,310 | 1,321 | 1,332 | 1,344 | 1,356 | 1,367 | 1,379 |
| 0,7 | 1,391 | 1,404 | 1,416 | 1,429 | 1,442 | 1,456 | 1,470 | 1,484 | 1,499 | 1,513 |
| 0,8 | 1,528 | 1,544 | 1,559 | 1,574 | 1,589 | 1,605 | 1,620 | 1,636 | 1,653 | 1,669 |
| 0,9 | 1,686 | 1,703 | 1,721 | 1,738 | 1,756 | 1,773 | 1,791 | 1,809 | 1,827 | 1,843 |
| 1,0 | 1,863 | 1,881 | 1,900 | 1,919 | 1,938 | 1,958 | 1,977 | 1,998 | 2,018 | 2,038 |
| 1,1 | 2,068 | 2,080 | 2,102 | 2,123 | 2,145 | 2,167 | 2,190 | 2,212 | 2,235 | 2,258 |
| 1,2 | 2,282 | 2,305 | 2,329 | 2,353 | 2,378 | 2,403 | 2,428 | 2,453 | 2,479 | 2,504 |
| 1,3 | 2,530 | 2,557 | 2,583 | 2,610 | 2,637 | 2,664 | 2,692 | 2,719 | 2,747 | 2,775 |
| 1,4 | 2,803 | 2,831 | 2,860 | 2,889 | 2,918 | 2,947 | 2,976 | 3,005 | 3,035 | 3,065 |
| 1,5 | 3,094 | 3,114 | 3,155 | 3,186 | 3,216 | 3,249 | 3,281 | 3,313 | 3,346 | 3,380 |
| 1,6 | 3,413 | 3,448 | 3,483 | 3,519 | 3,555 | 3,591 | 3,626 | 3,662 | 3,698 | 3,734 |
| 1,7 | 3,771 | 3,800 | 3,846 | 3,883 | 3,922 | 3,960 | 3,998 | 4,036 | 4,073 | 4,112 |
| 1,8 | 4,149 | 4,188 | 4,227 | 4,264 | 4,303 | 4,342 | 4,382 | 4,421 | 4,460 | 4,500 |
| 1,9 | 4,539 | 4,579 | 4,619 | 4,662 | 4,699 | 4,739 | 4,780 | 4,819 | 4,859 | 4,900 |
| 2,0 | 4,941 | 4,983 | 5,023 | 5,066 | 5,107 | 5,149 | 5,192 | 5,236 | 5,277 | 5,322 |
| 2,1 | 5,363 | 5,405 | 5,445 | 5,485 | 5,534 | 5,587 | 5,637 | 5,685 | 5,731 | 5,777 |
| 2,2 | 5,821 | 5,872 | 5,924 | 5,974 | 6,017 | 6,061 | 6,109 | 6,158 | 6,207 | 6,258 |
| 2,3 | 6,309 | 6,361 | 6,410 | 6,460 | 6,510 | 6,562 | 6,614 | 6,662 | 6,716 | 6,775 |
| 2,4 | 6,817 | 6,868 | 6,920 | 6,969 | 7,022 | 7,072 | 7,123 | 7,174 | 7,220 | 7,233 |
| 2,5 | 7,321 | 7,369 | 7,424 | 7,479 | 7,530 | 7,587 | 7,645 | 7,692 | 7,740 | 7,794 |
| 2,6 | 7,855 | 7,930 | 7,000 | 8,039 | 8,084 | 8,130 | 8,183 | 8,237 | 8,299 | 8,361 |
| 2,7 | 8,418 | 8,467 | 8,525 | 8,584 | 8,636 | 8,696 | 8,757 | 8,811 | 8,865 | 8,929 |
| 2,8 | 8,985 | 9,042 | 9,107 | 9,166 | 9,225 | 9,283 | 9,346 | 9,407 | 9,470 | 9,524 |
| 2,9 | 9,580 | 9,653 | 9,709 | 9,775 | 9,833 | 9,900 | 9,970 | 10,030 | 10,101 | 10,163 |
| 3,0 | 10,235 | 10,299 | 10,373 | 10,493 | 10,515 | 10,582 | 10,650 | 10,730 | 10,799 | 10,870 |
| 3,1 | 10,941 | 11,013 | 11,086 | 11,161 | 11,223 | 11,299 | 11,377 | 11,452 | 11,521 | 11,587 |
| 3,2 | 11,669 | 11,737 | 11,820 | 11,891 | 11,976 | 12,048 | 12,121 | 12,210 | 12,285 | 12,361 |
| 3,3 | 12,438 | 12,516 | 12,594 | 12,674 | 12,755 | 12,837 | 12,920 | 13,004 | 13,089 | 13,158 |
| 3,4 | 13,245 | 13,333 | 13,405 | 13,477 | 13,569 | 13,643 | 13,717 | 13,812 | 13,889 | 13,966 |
| 3,5 | 14,045 | 14,124 | 14,205 | 14,286 | 14,377 | 14,450 | 14,514 | 14,577 | 14,663 | 14,728 |
| 3,6 | 14,815 | | | | | | | | | |

Indudablemente que estos resultados experimentales deben ajustarse al comportamiento de una estructura real: 1) Posibilidad de desviaciones aleatorias de las acciones y por tanto de sus valores representativos; 2) Inexactitud con

CONVENCION EUROPEA DE LA CONSTRUCCION METALICA / DIN 18800

respecto a la realidad física de los modelos usados para describir las acciones en los cálculos de diseño; 3) Inexactitud con respecto al modelo mecánico usado para la condición del estado límite; 4) Las aleatorias incertidumbres asociadas con la ecuación de estado límite (por ejemplo: Falta de consideración de la correlación entre variables básicas). Es por ello que la carga crítica o tensión crítica debe ser disminuida. A raíz de esto la reglamentación alemana toma un coeficiente $\gamma_M = 1,1$ que disminuye la tensión crítica quedando finalmente:

$$(58a) N_K = \frac{N_A \sigma_E}{\gamma_M}$$

$$(59a) \bar{\sigma}_K = \frac{N_A \sigma_F}{\gamma_M}$$

y las restantes vendrán:

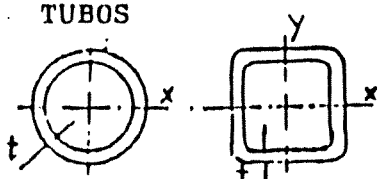
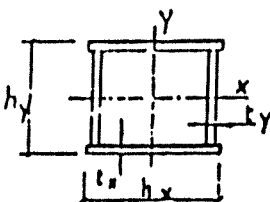
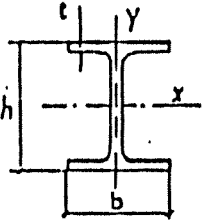
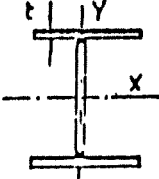
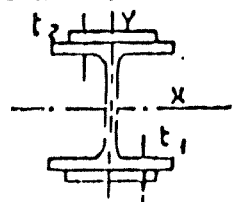
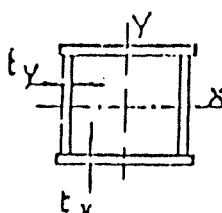
$$(60a) \gamma_N \leq \frac{N_A \sigma_E}{\gamma_M} = N_K$$

y en caso de seguir con el método ω :

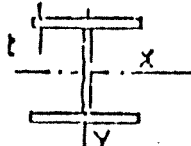
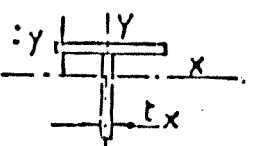
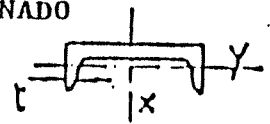
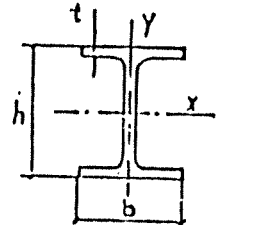
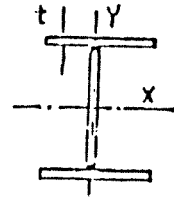
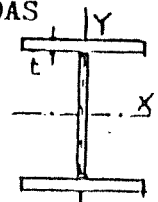
$$(61a) \frac{\gamma_N \gamma_M}{A_N} \leq \sigma_F$$

$$(62a) \frac{\gamma_N \gamma_M}{A} \omega \leq \sigma_F$$

Tabla XV:

| Sección | Pandeo | Curva | Tensión de fluencia |
|--|--|------------------|--|
| TUBOS  | según eje x-x e y-y Tubos laminados Tubos soldados (terminados en caliente) | a a | σ_F $0,94 \sigma_F$ |
| CAJON SOLDADA  | según eje: x-x : h_x, t_x y-y : h_y, t_y No válido para soldadura gruesa (penetración total) cuando $h/t < 30$ | b | $0,94 \sigma_F$ |
| I y H LAMINADOS  | según eje x-x $h/b > 1,2$ $h/b \leq 1,2$ según eje y-y $h/b > 1,2$ $h/b \leq 1,2$ | a b b c | σ_F σ_F σ_F σ_F |
| I y H SOLDADOS  | según eje x-x a) alas oxicortadas b) alas de chapa laminada según eje y-y a) alas oxicortadas b) alas de chapa laminada | b b b c | $0,94 \sigma_F$ $0,94 \sigma_F$ $0,94 \sigma_F$ $0,94 \sigma_F$ |
| I y H CON SOLDADURA EN ANGULO DE ALAS Y PLACA  | según eje y-y según eje x-x $t = t_i \text{ max}$ | a b | $0,94 \sigma_F$ $0,94 \sigma_F$ |
| CAJON CON TRATAMIENTO TERMICO  | según ejes x-x ; $t = t_x$ y-y ; $t = t_y$ | a | σ_F |

(continuación de Tabla XV)

| S e c c i ó n | P a n d e o | Curva | Tensión de fluencia |
|--|---|--------|--------------------------------------|
| I y H CON TRATAMIENTO TERMICO  | segun eje x-x segun eje y-y | a b | $\bar{\sigma}_F$ $\bar{\sigma}_F$ |
| T o MEDIO I  | segun ejes x-x ; t = t_x y-y ; t = t_y | c | $\bar{\sigma}_F$ |
| U LAMINADO  | segun eje y-y segun eje x-x | e e | $\bar{\sigma}_F$ |
| I y H LAMINADOS  | segun eje x-x segun eje y-y $t > 40\text{mm}$ | d d | $\bar{\sigma}_F$ $\bar{\sigma}_F$ |
| I y H CONSTRUIDOS CON CHAPAS LAMINADAS SOLDADAS  | segun eje x-x segun eje y-y $t > 40\text{mm}$ | c d | $\bar{\sigma}_F$ $\bar{\sigma}_F$ |
| I y H CONSTRUIDOS CON CHAPAS OXICORTADAS Y SOLDADAS  | segun eje x-x segun eje y-y $t > 40\text{mm}$ | c | $\bar{\sigma}_F$ |

3.3.-Modificaciones recientes:

Actualmente la reglamentación europea, ha realizado algunos cambios con respecto a la de 1978, y es en lo concerniente a secciones laminadas I en los cuales el espesor de sus elementos componentes sobrepasan los 40mm. Los numerosos ensayos que continuaron realizándose desde 1976 a la fecha, demuestran que la carga crítica en este tipo de perfiles es mayor que la que se consigue con la curva "d" y por lo tanto deben tomarse otros escalones superiores, mientras no se sobrepongan los 80 mm quedando la curva "d" para espesores $t > 80$ mm, como se ve en la Figura 29.-

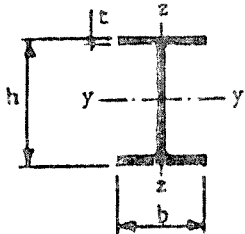
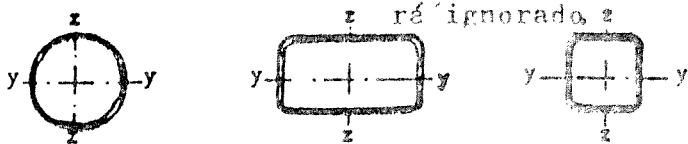
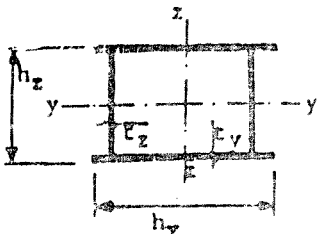
| I y H laminados | $\frac{h}{b} > 1.2$; $t \leq 40$ mm | $y = y$ | a (γ_0) |
|---|--|--------------------|------------------|
|  | $y = z$ | b (a) | |
| | $\frac{h}{b} > 1.2$; $40 < t \leq 80$ mm and $\frac{h}{b} \leq 1.2$; $t \leq 80$ mm | $y = y$ $z = z$ | b (a) c (b) |
| | $t > 80$ mm | $y = y$ $z = z$ | d d |

Figura 29: Las letras con paréntesis corresponden a aceros con $G_F \geq 4300$ kg/cm².-

Las secciones U, T, L y las que son sólidas pertenecen a la curva c, como puede verse en la Tabla XVI, según EUROCODE.-

Tabla XVI: Elección de las curvas de pandeo según las secciones: [EUROCODE] 1984.-

| Sección | Pandeo perpendicular al eje | Curva de Pandeo |
|---|--|-----------------|
| Sección anular - Cualquier incremento de la tensión de fluencia, causado por procesos en frío, se considera ignorado. | $y = y$ $z = z$ | a |
|  | | |
| Sección cajón soldada | $y = y$ $z = z$ | b |
|  | Soldadura gruesa $E_y / t_y \geq 30$ $h_z / t_z \geq 10$ | c |